# ZEITSCHRIFT \*\*\* PHYSIKALISCHE CHEMIE

REGRUNDET VON

WILH. OSTWALD UND J. H. VAN 'T HOFF

HERAUSGEGEBEN VON

M. BODENSTEIN . K. F. BONHOEFFER . G. JOOS . K. L. WOLF

ABTEILUNG A:
CHEMISCHE THERMODYNAMIK - KINETIK
ELEKTROCHEMIE - EIGENSCHAFTSLEHRE



174. BAND

HEFT 2

SEPTEMBER 1935

AKADEMISCHE VERLAGSGESELLSCHAFT M.B.H., LEIPZIG

Der Abennementspreis beträgt pro Band RM. 26.80

# Inhalt

A. Stern und Hans Wenderlein, Über die Lichtsbeorption der Porphy	rino. IL Selte
(Mit 10 Figuren im Text.) (Eingegangen am 17. 7. 35)  G. Becker und W. A. Roth, Die Verdünnungswirme von Salpetersin  2 Figuren im Text.) (Eingegangen am 24 g. 22)	
Manfred von Ardenne und Breen Bess Ithan it 20.1.80)	104
2 Figuren im Text.) (Eingegangen am 10 7 25)	eit. (Mit
6 Figuren im Text.) (Eingegungen en 11 7 en	le. (Mit
ihre gegenseitige Löglichkeitsbesießen Akalichloride, insbe	esondere
16 Figuren im Text.) (Eingegangen am 26, 8, 35)	Mit 135
Bücherschen	
HOLLUYA, J., Die technischen Anwendungen der physikalischen Chemie v. Engel, A. und Synandou, M., Elektrische Gasentladungen, ihre Physik und Techni Colloidal Electrolytes. A General Discussion held by the Faraday Society Eingegangene Rüchen.	lt. IL Bd. 157
Eingegangene Bücher	160
Bei der Schriftleitung eingegangene Arbeiter	
Peter A. Thieseen und Jürgen v. Klenck (mit Versuchen von Hilde Good Joachim Stauf), Temperaturen und Wärmetönungen der genoty wandlung von Alkalisalzen langkettiger Petrologie	kowiack und
Text.) (Eingegangen am 24. 6. 35.)  M. Straumenie und N. Brakie, Der Aufbau des Zink — Cadmium B. (Eingegangen am 10. 2.3K.)	TO STATE OF THE PARTY OF THE PA
K. Ablesoers und S. Roginsky, Über eine Promotorwirkung von Ges Hydrierungsketalysatoren. (Mit 4 Figuren im Text.) (Einge 16. 8. 35.)	gangan am
4. Sieverte und G. Zopf, Die Löslichkeit von Deuterium und von Wafestem Palladium. (Mit 1 Figur im Text.) (Eingegangen am 3	
B. Zinki und K. Loosen, Siliciumdlaulfid, ein organischer Fascratoff a molekülen. (Mit 8 Figuren im Text.) (Eingegangen am 18. 2.	
To Come und W. Manche Kur Wrang work der mit	
1. Sieverte und H. Brilling, Der elektrische Widerich	
Esem und O. Matanzen, Elektrodenpolariestion hel des Ababita	
Lösungen der komplexen Gyanida Offit & Riversen im The Charles	g aus den

# Über die Lichtabsorption der Porphyrine. II¹).

Von

### A. Stern und Hans Wenderlein.

(Mit 10 Figuren im Text.)

(Eingegangen am 17. 7. 35.)

Die Absorptionsspektra einiger Porphyrine wurden in Dioxan untersucht. Es wurde weiterhin der Einfluss einiger Substituenten auf die Lage der Bandenmaxima diskutiert, besonders der des isocyclischen Ringes. Als besonderer Fall von Isomerie wurden die Absorptionsspektra von einigen Porphyrinen und den entsprechenden Chlorinen gemessen. Die in letzteren, bereits aus chemischen Untersuchungen gefolgerte Veränderung im Porphingerüst wird auch auf Grund der Untersuchung der Absorptionsspektra gefordert. Es zeigte sich, dass die Körper, denen ein solches "Dihydroporphin" zugrunde liegt, weitgehend ähnliche Spektra im Sichtbaren aufweisen, z. B. Chlorine, Pyrophäophorbid a und Methylphäophorbid a. Mit der Diskussion verschiedenartiger Substitution im Dihydroporphin wurde begonnen. Ausserdem wurden noch vier wichtige Uroporphyrine verglichen, von denen drei sich als spektroskopisch identisch erwiesen (Uroporphyrin Petry und Pteria, sowie 1,3,5,7-Tetramethylporphin-2,4,6,8-tetrabernsteinsäure-oktamethylester), ferner wurde reinstes Hämin in Dioxan gemessen.

### 1. Einleitung.

In der Absicht, die Lichtabsorption einer grossen Anzahl von Porphyrinen und Pyrrolfarbstoffen zunächst in ein und demselben Lösungsmittel zu bestimmen, haben wir die Messungen weiterer verschiedener Porphyrine in Dioxan fortgesetzt. Dieselben wurden ebenfalls wieder mittels des Spektrophotometers von König und Martens ausgeführt. Über die Einzelheiten bei den Messungen verweisen wir auf die 1. Mitteilung<sup>2</sup>). Die untersuchten Präparate wurden ganz besonders durch oftmaliges Umkristallisieren gereinigt, so dass dieselben als reinste Präparate zu betrachten sind. Stets wurde die Reinheit durch vollständige Analyse kontrolliert und vor allem darauf geachtet, dass die Präparate vollkommen halogen- und aschefrei waren<sup>3</sup>). Die Gültigkeit des Beerschen Gesetzes für die Lösungen der hier beschriebenen Porphyrine in Dioxan konnte gezeigt werden.

<sup>1) 1.</sup> Mitteilung: Z. physik. Chem. (A) 170 (1934) 337; weiterhin kurz als 1. Mitteilung bezeichnet. 2) Siehe auch Dissertation: WENDERLEIN, H., Technische Hochschule. München 1935. 3) Bezüglich der Reindarstellung siehe auch: Stern, A. und Klebs, G., Liebigs Ann. Chem. 505 (1933) 297.

### 2. Messergebnisse.

In der 1. Mitteilung wurde zunächst der Einfluss verschiedenartiger Substitution im "Porphin" auf die Lichtabsorption, hinsichtlich der Lage der Banden, als auch der molaren Extinktionskoeffizienten untersucht. Wir konnten dabei zeigen, dass der Einfluss verschiedener Gruppen auf die Lage der Maxima nur sehr gering ist, und dass die Lage derselben in Dioxan nur dann wesentlich verschoben wird, wenn ungesättigte Substituenten (z. B. Vinylgruppen wie im Protoporphyrin) vorhanden sind, ohne jedoch dabei den Typ der Absorptionskurve zu verändern (Ätiotyp). Einen besonderen Effekt übt eine Carbomethoxygruppe direkt an einen Pyrrolkern des Porphins gebunden aus, wobei nicht nur starke Rotverschiebung eintritt, sondern auch der ganze Typ des Absorptionsspektrums geändert wird (Rhodotyp).

In der Tabelle 1 sind nun die neuerdings gemessenen Porphyrine, die Lage der Bandenmaxima und deren molare Extinktionskoeffizienten, in der Tabelle 2 die Lage der Bandenminima und deren molare Extinktionskoeffizienten angegeben. Bezüglich der bei der Beschreibung der Konstitution der Porphyrine angewendeten Nomenklatur und Angabe der Stellung der Substituenten verweisen wir aus Gründen der Platzersparnis auf die Fig. 1 der 1. Mitteilung, S. 341).

Mesoporphyrin-IX-dimethylester (1, 3, 5, 8-tetramethyl-2, 4-diäthylporphin-6, 7-dipropionsäuremethylester) kann man einmal als hydriertes Protoporphyrin auffassen und demgemäss ist die Lage der Maxima der Absorptionskurve desselben gegenüber Protoporphyrindimethylester (Nr. 10 der Tabelle 2 der 1. Mitteilung) stark nach Blau verschoben, Bande I um 10 m $\mu$ , Bande II um 9 m $\mu$ , Bande III um 9 m $\mu$  und Bande IV um 7 m $\mu$ .

Andererseits kann man Mesoporphyrin-IX-dimethylester als Pyrroporphyrin-XV-monomethylester (Nr. 8, Tabelle 2, 1. Mitteilung) auffassen, in dem in die freie 6-Stellung eine Propionsäuremethylestergruppe eingeführt worden ist. Ein Vergleich der Absorptionskurven zeigt, dass die Einführung einer Propionsäuremethylestergruppe fast keinen Einfluss, sowohl auf die Lage der Banden, als auch auf die molaren Extinktionskoeffizienten der Bandenmaxima und -minima ausübt. Lediglich die Banden II und III sind hier um je 1 m $\mu$  nach Rot verschoben.

Es ist also auch hier wieder zu sehen, wie gering der Einfluss solcher Gruppen auf die Lichtabsorption ist, was weiterhin noch aus enitfierid
en
m
er
et

(1.3	Substanz	Ms	I Maximum	-	M	Ia Maximum	M	II Maximum	M	III Maximum	N	IV Maximum	
N	THE PARTY OF THE P	in mµ	9		in mµ	3	in mµ	49	in mµ	40	inma	4	
4 1	Mesoporphyrin-IX-dimethylester .	620	0.541 . 104	101	594	0.133 . 104 567	4 567	0.659 . 104	528	0.982.104	496	1.424 . 104	104
	ester	627	0.153.104	104	1	1	573.5	0.607.104	533.5	0.206.104	4 502	1.598 . 104	104
91	Formylpyrroporphyrin-XV- monomethylester	635.5	0.186.10	10	1	1	576.5	0.950 . 104	552	1.674 . 104	4 511	0.982.10	104
17	Benzoylpyrroporphyrin-XV- monomethylester	627	0.155.104	104	1	1	571	0.825 . 104	541	1.389 . 104	4 504	1.148.104	104
20 0	2-Desathyl-2-acetyl-rhodo- porphyrin-XV-dimethylester	637	0.221 . 104	104	-	1	583	1.044 . 105	557.5	1.953 . 104	4 515	0.816.10	101
13	Uroporphyrin-oktamethylester (Pteria)	624	0.393.104	104	596	0.139 . 104	1 569	0.699.104	531	0.926 . 10 4	1 499	1.525 . 10	101
20	Uroporphyrin-oktamethylester (Petry)	624	0.412.104	104	596	0.137.10	1 569	0.711 . 104	532	0.957 . 10	499	1.567 - 104	104
21	Chloroporphyrin-e,-dimethylester.	631	0.089 . 104	104	1	1	579	0.609 . 104	545	0.731 . 104	1 508	1.276 . 104	104
22	Chloroporphyrin-e,-trimethylester.	659	01170.104	104	1		576	0.673.104	543	0.809.104	1 506	1.263 . 10	104
3	Desoxyphylloerythrin-mono- methylester	615	0.654 . 104	101	589	0.131.104	564	0.629.104	530	0.356 . 104	496	1.667.10	101
24	Phylloerythrin-monomethylester .	634	0.230 . 104	104	-	1	581.5	1.021 . 104		1.594 . 104	4 517.5	1.051 . 104	104
25	Phäoporphyrin-a <sub>s</sub> -monomethyl- ester	634	0.188.10	101	1	1	583	1.261 . 104	562	1.606 . 104	1 521	0.939 . 104	104
-		;	1	1	;	п		Ш		IV		Λ	
		Ma	Maximum		Ma	Maximum	M	Maximum	M	Maximum	W	Maximum	
		in m <sub>µ</sub>	4		in m	ş	h min	Q	inm	9	2, in mµ	9	
26	Chlorin-e <sub>4</sub> -dimethylester	662.5	4'941 . 104 607 5'325 . 104 610	104	607	$0.502 \cdot 10^4$ $0.409 \cdot 10^4$	555	$\begin{array}{c} 0.217.104 \\ 0.200.104 \end{array}$	530	0.522 . 104 0.521 . 104	500	1.324 · 104	104
82 82 82	Fyrophaophorbid-a-mono- methylester. Methylphäophorbid a	667.5 666 635.5	5.178 . 104 609 5.276 . 104 610 0.536 . 104 538	104	609 610 538°5	0.772 . 104 0.777 . 104 0.850 . 104	559	0.282 . 104 0.284 . 104 0.906 . 104	535.5	0.940 .104	507	1'180 · 104 1'104 · 104	104

1) Wir setzen hier die Numerierung der von uns untersuchten Körper fort. Beginn der Numerierung 1. Mitteilung, Tabelle 2, S. 345.

Nr.	Substanz	N	I Minimum		II Minimum	2	III Minimum	~	IV Minimum
		λ in mμ	9	λ in mμ	8	λ in mμ	9	λ in mμ	43
14	Mesoporphyrin-IX-dimethylester	802	0.078 . 104	590	0.115.104	549	0.119.104	515.5	0.306 . 104
15	$\gamma$ -Phylloporphyrin-monomethylester . Formylpyrroporphyrin-XV-mono-	611	0.021 . 104	554	0.110.104	523	0.290 . 104		
17	methylester	616	0.063.104	2992	0.560 . 104	529	0.465 . 104		
œ	methylester	809	0.065.104	629	0.396 . 104	522	$0.439 \cdot 10^{4}$		
	porphyrin(XV)-dimethylester	619	0.081.104	573	0.863.104	531	0.397.104		
19	Uroporphyrin-oktamethylester	100		-	00000	1			
00	(Fleefig)	000	0074 - 10		0.128 . 10*	100	0.141.10	810	0.334 . 10*
21	Chloroporphyrin-cdimethylester	619	0.065.104	569	0.395.104	599	0.154 . 104	919	0.353 - 10
22	Chloroporphyrin-ea-trimethylester	614	0.088 . 104	561	0.361 . 104	527	0.430 . 104		
23	Desoxyphylloerythrin-monomethyl-								
	ester	298	0.080 . 104	586	0.124.104	546	0.110 . 104	619	0.237.104
24	Phylloerythrin-monomethylester	617	0.059 . 104	569.5	0.553 . 104	537	0.455 . 104		
25	Phäoporphyrin-as-monomethylester .	619.2	0.087.104	571.5	0.928 . 104	541	0.516.104		
56	Chlorin-e4-dimethylester	626	0.319.104	585	0.127.104	548	0.204 . 104	520	0.372.104
28	Chlorin-e <sub>s</sub> -trimethylester Pyrophäophorbid-a-monomethyl-	625	0.334 . 104	581	0.120.104	248	0165.104	619	0.327 . 104
	ester	659	0.390 . 104	581	0.164 . 104	551	0.252.104	523.5	0.430 . 104
58	Methylphäophorbid-a	634	0.398 . 104	581	0.162.104	551	0.237.104	521	0.416 . 104
30	Hämin	909	0.309 . 104	524	0.826 . 104				

der Gegenüberstellung der Absorptionskurve des Mesoporphyrin-IXdimethylesters mit der des Ätioporphyrins hervorgeht, wobei nur eine Verschiebung für jede Bande um 1 mu festzustellen ist 1). Grössere Abweichungen zeigen sich, wie zu erwarten, nur in den molaren Extinktionskoeffizienten.

Besonders interessant ist die Substitution an der y-Methinbrücke des Porphins bei sonst gleichbleibender Substitution.

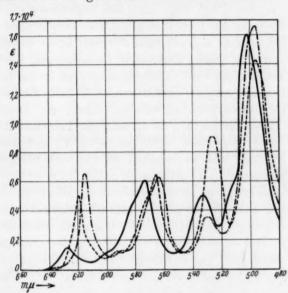


Fig. 1.

Pyrroporphyrin - XV-monomethylester

y-Phylloporphyrin-monomethylester

Desoxyphylloerythrin-monomethylester

in Dioxan.

γ-Phylloporphyrin-monomethylester (γ-Methyl-1, 3, 5, 8-tetramethyl-2, 4-diathylporphin-7-propionsauremethylester) besitzt die gleiche Konstitution wie Pyrroporphyrin-XV-monomethylester, in dem nur das Wasserstoffatom an der y-Methinbrücke durch eine Methylgruppe ersetzt ist. Während, wie am Beispiel des Ätioporphyrins und Oktaäthylporphins gezeigt wurde<sup>2</sup>), eine derartige Sub-

<sup>1)</sup> Siehe auch: CONANT, J. B. und CAMERLING, S. E., J. Amer. chem. Soc. 53 (1931) 3522. Ähnliche Verhältnisse zeigen sich auch bei den Fluorescenzspektra über die wir demnächst mit H. Molvig berichten. 2) 1. Mitteilung (S. 342); siehe auch Tabelle 2 Nr. 1 und 3 der 1. Mitteilung.

stitution in den Stellungen 1 bis 8 des Porphins keinerlei Einfluss auf die Lage der Absorptionsmaxima und -minima ausübt, ist hier ein bedeutender Einfluss zu bemerken (Fig. 1).

Der Typ der Absorptionskurve des  $\gamma$ -Phylloporphyrin-monomethylesters weicht sowohl vom "Ätiotyp", als auch vom "Rhodotyp" ab¹). Bande IV ist am höchsten, dann folgen Bande II, Bande III und I hinsichtlich der Höhe derselben. Die Lage der Bandenmaxima ist durchweg um  $7 \text{ m}\mu$  nach Rot verschoben.

Die Messungen der Lichtabsorption von Porphyrinen mit noch anderen Substituenten am  $\gamma$ -Kohlenstoffatom ist in Arbeit, so dass erst später auf eine nähere Diskussion<sup>2</sup>) eingegangen werden kann.

Durch Einführung einer Carbomethoxgruppe in die freie 6-Stellung des Pyrroporphyrin-XV-monomethylesters kann man sich Rhodoporphyrin-XV-dimethylester entstanden denken, und damit wird die Absorption stark verändert<sup>3</sup>), es findet eine beträchtliche Rotverschiebung statt gegenüber Pyrroporphyrin-XV-monomethylester. Ausserdem wird das Bild der Absorptionskurve vollständig verändert; es entsteht ein neuer Typ, "Rhodotyp".

Es war von Interesse, zu zeigen, ob durch Substitution der freien 6-Stellung des Pyrroporphyrin-XV-monomethylesters mit anderen, eine Carbonylgruppe enthaltenden Substituenten, ebenfalls "Rhodotyp" auftritt, eine so auffallende Veränderung des Absorptionsspektrums also durch eine Carbonylgruppe hervorgerufen wird.

Formylpyrroporphyrin-XV-monomethylester (1,3,5,8-Tetramethyl-2,4-diäthyl-6-formylporphin-7-propionsäuremethylester) stellt einen Pyrroporphyrinmonomethylester dar, der an Stelle der freien Methingruppe in 6-Stellung eine Formylgruppe trägt. Durch diese Formylgruppe wird nun ebenfalls wieder gegenüber Pyrroporphyrin-XV-monomethylester ein "Rhodotyp" erzeugt. Die Lage der Bandenmaxima ist hier noch mehr gegenüber Pyrroporphyrin-XV-monomethylester nach Rot verschoben, wie dies bei Rhodoporphyrin-XV-dimethylester, also durch Einführung einer Carbomethoxygruppe, der Fall ist, und zwar Bande I um 15'5 m $\mu$ , Bande III um 10'5 m $\mu$ , Bande III um sogar 25 m $\mu$  und Bande IV um 15 m $\mu$ . Dabei ist

<sup>1) 1.</sup> Mitteilung (S. 348).
2) Es sei an dieser Stelle bemerkt, dass wir erst, wenn die Lichtabsorption einer noch grösseren Anzahl von Porphyrinen, vor allem auch im Ultraviolett gemessen ist, in einer gesonderten Arbeit auf die Gesetzmässigkeiten hinsichtlich der Höhe der Banden und der Frequenzabstände näher eingehen.
3) 1. Mitteilung (S. 343).

Bande III wieder am höchsten, Bande IV jedoch nur wenig höher als Bande II.

188

er

0.

0-

le

n-

h

88

n.

1-

e

-

.

n

Durch Einführung einer Benzoylgruppe in die freie 6-Stellung des Pyrroporphyrin-XV-monomethylesters entsteht Benzoylpyrroporphyrin-XV-monomethylester (1, 3, 5, 8-Tetramethyl-2, 4-diathyl-6benzovlporphin-7-propionsäuremethylester). Die Absorption dieses Porphins ist ebenfalls wieder stark nach Rot verschoben, verursacht durch die Carbonylgruppe des Benzoylrestes, wenn auch zu bemerken ist, dass hier die Rotverschiebung gegenüber Pyrroporphyrin-XVmonomethylester nicht mehr so gross ist, wie die, hervorgerufen durch die Formylgruppe. Bande I ist um 7 mµ, Bande II um 5 mµ, Bande III um 10 m $\mu$  und Bande IV um 8 m $\mu$  verschoben. Die Absorptionskurve weist ausgesprochenen "Rhodotyp" auf.

Weiter wurde die Absorption des 2-Desäthyl-2-acetyl-rhodoporphyrindimethylesters (1, 3, 5, 8- Tetramethyl-4-äthyl-2-acetylporphin-6carbonsäuremethylester-7-propionsäuremethylester) gemessen. Dieses Porphyrin kann man einerseits als Pyrroporphyrin-XV-monomethylester auffassen, der in der freien 6-Stellung einen Carbomethoxyrest trägt und dessen Äthylgruppe in 2-Stellung durch eine Acetylgruppe ersetzt ist. Es sind also formal zwei Carbonylgruppen enthaltende Substituenten in den Pyrroporphyrin-XV-monomethylester eingefügt worden.

Ein Vergleich der Absorptionskurve des 2-Desäthyl-2-acetylrhodoporphyrin-XV-dimethylesters mit der des Pyrroporphyrin-XVmonomethylesters zeigt eine noch bedeutend grössere Rotverschiebung der Absorptionsmaxima und -minima, als dies durch einen, eine Carbonylgruppe enthaltenden Substituenten, der Fall ist. So ist die Bande I um 17 m $\mu$ , Bande II um 17 m $\mu$ , Bande III um 30 m $\mu$  und Bande IV um 19 mµ gegenüber der entsprechenden des Pyrroporphyrin-XV-monomethylesters verschoben. Die Absorptionskurve zeigt "Rhodotyp" mit der Abweichung, dass Bande IV bedeutend niederer ist, als Bande II, jedoch ist Bande III wieder am höchsten.

Andererseits ist 2-Desäthyl-2-acetyl-rhodoporphyrin-XV-dimethylester als Rhodoporphyrin-XV-dimethylester aufzufassen, dessen Athylgruppe in 2-Stellung durch eine Acetylgruppe ersetzt ist. Gegenüber Rhodoporphyrin-XV-dimethylester ist, in Übereinstimmung mit der bisher gemachten Erfahrung, die Lage der Absorptionsmaxima ebenfalls nach Rot verschoben, und zwar Bande I um 5 mμ, Bande II

um 10 mµ, Bande III um 12.5 mµ und Bande IV um 9 mµ.

Durch Einführung einer Carbonylgruppe in  $\beta$ -Stellung des Porphins wird also der normale Typ der Absorptionskurve geändert und es tritt ausserdem eine sehr starke Rotverschiebung ein, die grösser ist als die, hervorgerufen durch andere ungesättigte Gruppen, z. B. Vinylgruppen<sup>1</sup>). Dabei ist die Bande III der Absorptionskurven der

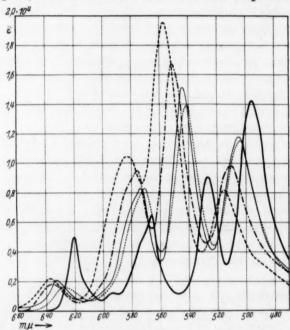
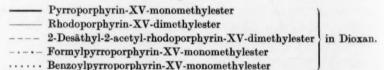


Fig. 2.



betreffenden Porphyrine besonders zu beachten. Sie fällt ja im "Rhodotyp" gegenüber dem normalen "Ätiotyp" besonders heraus, und zwar nimmt die Rotverschiebung der Lage des Maximums und die Grösse des molaren Extinktionskoeffizienten desselben, ausgehend

<sup>&</sup>lt;sup>1)</sup> Die Messung des Absorptionsspektrums eines Porphins, das an der  $\gamma$ -Methinbrücke eine Carbomethoxygruppe besitzt, die Rhodoporphyrin- $\gamma$ -carbonsäure ist in Arbeit. Ebenso Chloroporphyrin- $\epsilon_5$ -dimethylester, der an der  $\gamma$ -Methinbrücke eine Formylgruppe trägt.

vom Pyrroporphyrin-XV-monomethylester, von Benzoylgruppe ( $\lambda = 541 \text{ m}\mu$ ,  $\varepsilon = 1^{\circ}389 \cdot 10^{4}$ ) über die Carbomethoxygruppe ( $\lambda = 545 \text{ m}\mu$ ,  $\varepsilon = 1^{\circ}520 \cdot 10^{4}$ ) zur Formylgruppe ( $\lambda = 552 \text{ m}\mu$ ,  $\varepsilon = 1^{\circ}674 \cdot 10^{4}$ ) zu (siehe Fig. 2).

Von besonderem Interesse sind nun solche Porphyrine, die einen isocyclischen Ring zwischen der 6-Stellung und dem Kohlenstoffatom der  $\gamma$ -Methinbrücke tragen, da ein isocyclischer Ring auch im Chlorophyll a und Chlorophyll b und dessen Derivate von H. Fischer 1) nachgewiesen worden ist. Diese Körper besitzen an sich noch Porphyrinstruktur,  $\gamma$ -Kohlenstoffatom und 6-Stellung sind jedoch mit einem Äthanrest, also durch zwei Methylengruppen verbunden, deren

Wasserstoffatome wiederum verschiedenartig substituiert sein können (Fig. 3).

or-

ind

ser B.

der

Um den Einfluss des isocyclischen Ringes auf die Lichtabsorption zu studieren, wurde zunächst der Desoxyphylloerythrin-monomethylester (1, 3, 5, 8-Tetramethyl-2, 4-diäthylporphin-6- $\gamma$ -äthan-7-

propionsäuremethylester) untersucht, ein Porphin, das genau die gleiche Konstitution besitzt, wie Pyrroporphyrin-XV-monomethylester, nur zwischen 6-Stellung und  $\gamma$ -Methinbrücke eine Äthangruppe trägt. An Kohlenstoff 9 und 10 (Fig. 3) des isocyclischen Ringes befinden sich demnach je zwei Wasserstoffatome. Dieses Porphin wurde von H. FISCHER und J. RIEDMAIR 2) synthetisiert und in seiner Konstitution vollständig aufgeklärt.

Vergleicht man die Absorptionskurve des Desoxyphylloerythrinmonomethylesters mit der des Pyrroporphyrin-XV-monomethylesters, so zeigt sich, dass beide noch vier Banden besitzen und die kleine Bande Ia. Bezüglich der Höhe der Banden tritt eine Änderung gegenüber dem normalen "Ätiotyp" des Pyrroporphyrin-XV-monomethylesters ein, dergestalt, dass Bande IV zwar noch die höchste ist, Banden II und besonders III niederer sind, als Bande I und Bande IV (Fig. 1). Ausserdem ist Bande I um 5 m $\mu$  nach Blau, Bande II um  $2 \text{ m} \mu$  und Bande III um 3 m $\mu$  nach Rot verschoben, während Bande IV

FISCHER, H., HENDSCHEL, A. und Nüssler, L., Liebigs Ann. Chem. 506 (1933) 83. FISCHER, H. und MOLDENHAUER, O. und Süss, O., Liebigs Ann. Chem. 485 (1931) 8.
 FISCHER, H. und RIEDMAIR, J., Liebigs Ann. Chem. 490 (1931) 91.

B

sowohl als auch Bande Ia an gleicher Stelle sich befinden. Eine bedeutende Änderung des molaren Extinktionskoeffizienten findet sich nur beim Bandenmaximum der Bande III (von  $\varepsilon=0.897\cdot10^4$  beim Pyrroporphyrin-XV-monomethylester zu  $\varepsilon=0.356\cdot10^4$  bei Desoxyphylloerythrin-monomethylester).

Es zeigt sich also, dass der Einfluss eines solchen eingebauten isocyclischen Ringes, der sonst weiter keine Substituenten trägt, auf die Lichtabsorption bei sonst gleichartiger Substitution im Porphin relativ klein ist.

Verglichen mit  $\gamma$ -Phylloporphyrin-monomethylester, der an der  $\gamma$ -Methinbrücke, wie bereits erläutert, ja eine Methylgruppe besitzt, zeigt sich, dass Bande I um 12 m $\mu$ , Bande II um 10 m $\mu$ , Bande III um 3 5 m $\mu$  und Bande IV um 5 m $\mu$  nach Blau verschoben ist. Grössere Unterschiede der molaren Extinktionskoeffizienten zeigen sich nur im Bandenmaximum der Banden I und III.

Aus diesem Vergleich ist weiter zu sehen, dass der Einfluss auf die Absorption durch Einführung einer Methylgruppe an das  $\gamma$ -Kohlenstoffatom des Pyrroporphyrin-XV-monomethylesters grösser ist als der, durch Einführung des isocyclischen Ringes hervorgerufene.

Phylloerythrin - monomethylester (1, 3, 5, 8 - Tetramethyl-2, 4 - diäthylporphin-6- $\gamma$ -äthanon(9)-7-propionsäuremethylester) ist genau so gebaut wie Desoxyphylloerythrin-monomethylester, nur befindet sich am Kohlenstoff 9 ein Sauerstoffatom, also an Stelle 9 eine Carbonylgruppe. Es ist daher Phylloerythrin-monomethylester als ein Pyrroporphyrin-XV-monomethylester aufzufassen, der zwischen 6-Stellung und  $\gamma$ -Methinbrücke einen isocyclischen Ring, und zwar einen Äthanonrest besitzt. Wir haben demnach wieder eine Carbonyl enthaltende Gruppe, aber noch mit Ringbildung am  $\gamma$ -Kohlenstoffatom.

Durch die Synthese von H. FISCHER und J. RIEDMAIR<sup>1</sup>) wurde die Konstitution und Lage des isocyclischen Ringes auch hier vollständig aufgeklärt.

Die Absorptionskurve des Phylloerythrin-monomethylesters besitzt wieder entsprechend des allgemein beobachteten Einflusses einer Carbonylgruppe sehr ausgeprägten "Rhodotyp", wobei jedoch zu bemerken ist, dass Bande IV nicht höher ist als Bande II, sondern beide Bandenmaxima die gleichen molaren Extinktionskoeffizienten haben. Die Absorptionsmaxima sind stark nach Rot gegenüber Pyrroporphyrin-XV-monomethylester verschoben, Bande I um  $14 \, \mathrm{m}\mu$ ,

<sup>1)</sup> FISCHER, H. und RIEDMAIR, J., Liebigs Ann. Chem. 497 (1932) 181.

Bande II um 15.5 m $\mu$ , Bande III um 30.5 m $\mu$  und Bande IV um 21.5 m $\mu$ .

beich

im

CV-

en

uf

ler

zt, II

ere

uf

er ie.

li-

so eh

71-

0-1g

n-

le

le

1-

9-

er

9-

n

)-

1,

Während wie gezeigt, der normale isocyclische Ring ohne jede Substitution nur einen kleinen Einfluss auf das Absorptionsspektrum ausübt, wird durch Einfügung einer Carbonylgruppe in denselben wiederum eine bedeutende Veränderung hervorgerufen, die auch hier als durch die Carbonylgruppe verursacht betrachtet werden kann.

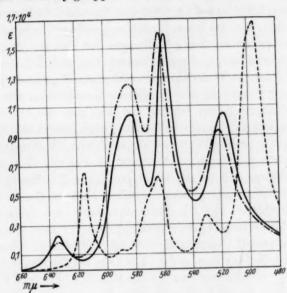


Fig. 4.

- Desoxyphylloerythrin-monomethylester Phylloerythrin-monomethylester in Dioxan. - Phäoporphyrin- $a_5$ -dimethylester

Phäoporphyrin -  $a_5$  - dimethylester (1, 3, 5, 8-Tetramethyl-2, 4-diäthylporphin - 6 -  $\gamma$  - äthanon (9) - 10 - carbonsäuremethylester - 7-propionsäuremethylester) ist ein Porphin, das wie Phylloerythrin-monomethylester gebaut ist, bei dem am Kohlenstoff 10 des isocyclischen Ringes ein Wasserstoffatom durch eine Carbomethoxygruppe ersetzt ist. Es befinden sich also im isocyclischen Ring zwei Carbonylgruppen.

Die Absorptionskurve dieses Porphins besitzt ebenfalls einen "Rhodotyp", Bande III ist wiederum am höchsten, jedoch ist Bande II bedeutend höher als Bande IV, worin sich wahrscheinlich die Anwesenheit der Carbomethoxygruppe in 10 ausdrückt.

Betrachtet man die Absorptionskurve mit der des Phylloery. thrin-monomethylesters, so zeigt sich, dass eine Rotverschiebung der Bande II um 1'5 m $\mu$ , der Bande III um 4'5 m $\mu$  und der Bande IV um 2'5 m $\mu$  besteht und eine Erhöhung der molaren Extinktionskoeffizienten der Bandenmaxima der Banden II und III eingetreten ist, während Bande IV absinkt.

B

d

Durch Einführung einer Carbomethoxygruppe in den isocyclischen Ring am Kohlenstoff 10 wird also eine ähnliche Rotverschiebung hervorgerufen, wie dies durch Einführung anderer Carbonyl enthaltenden Substituenten an den  $\beta$ -Stellungen der Fall ist (Fig. 4).

Chloroporphyrin -  $e_4$  - dimethylester ( $\gamma$ -Methyl-1, 3, 5, 8-tetramethyl-2, 4-diäthylporphin - 6-carbonsäuremethylester - 7-propionsäuremethylester) ist ein Porphyrin, das die gleiche Konstitution wie Rhodoporphyrin-XV-dimethylester besitzt, bei dem nur das Wasserstoff am  $\gamma$ -Methinkohlenstoff durch eine Methylgruppe ersetzt ist. Mit anderen Worten stellt es einen  $\gamma$ -Methyl-rhodoporphyrin-XV-dimethylester dar.

Vergleicht man nun die Absorptionskurve des Chloroporphyrin- $e_4$ -dimethylesters mit der des Rhodoporphyrin-XV-dimethylesters, so findet man einen ganz bemerkenswerten Einfluss der Methylgruppe an der  $\gamma$ -Methinbrücke. Die Absorptionskurve des Chloroporphyrin- $e_4$ -dimethylesters besitzt ganz normalen "Ätiotyp", der "Rhodotyp" des Rhodoporphyrin-XV-dimethylesters ist vollkommen verschwunden. Bande I ist jedoch extrem nieder. Die Lage der Bandenmaxima selbst ist nicht sehr verschieden von der des Rhodoporphyrin-XV-dimethylesters. Bande I ist um 1 m $\mu$  nach Blau, Bande II um 6 m $\mu$  und Bande IV um 2 m $\mu$  nach Rot verschoben, während das Maximum der Bande III bemerkenswerterweise an der gleichen Stelle sich befindet (Fig. 5).

Während also die Einführung einer Methylgruppe an das Kohlenstoffatom der  $\gamma$ -Methinbrücke des Pyrroporphyrin-XV-monomethylesters (wobei  $\gamma$ -Phyllopophyrin-XV-monomethlyester entsteht) eine beachtliche Rotverschiebung (um durchweg etwa 7 m $\mu$ ) der vier Bandenmaxima des Absorptionsspektrums bewirkt, ist hier bei der Einführung einer Methylgruppe an die  $\gamma$ -Methinbrücke eine geringere und veränderte Verschiebung der Bandenmaxima festzustellen.

Betrachtet man Chloroporphyrin- $e_4$ -dimethylester als einen  $\gamma$ -Phylloporphyrin-XV-monomethylester in den in 6-Stellung eine Carbomethoxygruppe eingeführt wurde, so zeigt der Vergleich der Absorptionskurven der beiden Porphyrine, dass dadurch zwar eine starke Rotverschiebung der Bandenmaxima eintritt, Bande I um

ry-

der

IV

ns-

ten

cli-

ing

en-

yl-

yl-

or-

en ar.

inso

pe in-

les

en. est

de de

5).

n-

1-

ne

er

er

re

1-

e

er

e

n

 $4\,\mathrm{m}\mu$ , Bande II um 5.5  $\mathrm{m}\mu$ , Bande III um 11.5  $\mathrm{m}\mu$  und Bande IV um 6  $\mathrm{m}\mu$ , der Typ des Spektrums, also die Reihenfolge der Höhe der Banden, sich jedoch nicht ändert. In diesem Punkte unterscheidet sich hier die Wirkung der Einführung einer Carbomethoxygruppe auf die Absorption grundsätzlich von der, bei der Einführung einer Carbonyl enthaltenden Gruppe in Porphinen, die an der  $\gamma$ -Methinbrücke unsubstituiert sind und bei denen ja dabei, ausser beträchtlicher Rotverschiebung, noch "Rhodotyp" hervorgerufen wird.

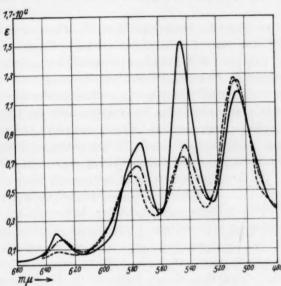


Fig. 5.

Rhodoporphyrin-XV-dimethylester

- - - Chloroporphyrin- $e_4$ -dimethylester

- - - Chloroporphyrin- $e_6$ -trimethylester

Das gleiche ist der Fall, wenn man in den Rhodoporphyrin-XV-dimethylester formal den Wasserstoff der  $\gamma$ -Methinbrücke durch eine Essigsäuremethylestergruppe ersetzt. Man kommt auf diese Weise zu Chloroporphyrin- $e_6$ -trimethylester( $\gamma$ -Essigsäuremethylester-1, 3, 5, 8-tetramethyl-2, 4-diäthylporphin-6-carbonsäuremethylester-7-propionsäuremethylester).

Die Absorptionskurve des Chloroporphyrin- $e_6$ -trimethylesters unterscheidet sich nun ebenfalls wesentlich von der des Rhodoporphyrin-XV-dimethylesters dadurch, dass sie keinen "Rhodotyp" be-

sitzt, sondern "Ätiotyp", bei dem die Bande I sehr nieder ist. Die Lage der Bandenmaxima wird in ähnlicher Weise verschoben, wie bei Rhodoporphyrin-XV-dimethylester und Chloroporphyrin- $e_4$ -dimethylester und zwar Bande I um 3 m $\mu$  nach Blau, Bande II um 3 m $\mu$  nach Rot, Bande III um 2 m $\mu$  nach Blau, während Bande IV sich an gleicher Stelle befindet (Fig. 5).

Der Einfluss der Einführung einer Essigsäuremethylestergruppe an der  $\gamma$ -Methinbrücke auf die Lage der Absorptionsmaxima ist ebenfalls gering.

Es ist nochmals zu bemerken, dass die allgemeine Regel, dass durch Einführung einer Carbonyl enthaltenden Gruppe ins Porphin "Rhodotyp" erzeugt wird, durchbrochen wird, wenn Substitution an der  $\gamma$ -Methinbrücke besteht, die Rotverschiebung bleibt jedoch bestehen. Wir werden diese Erscheinung noch des näheren untersuchen.

Vergleicht man endlich die Absorptionskurve des Chloroporphyrin- $e_4$ -dimethylester mit der des Chloroporphyrin- $e_5$ -trimethylesters, so sieht man, dass der Einfluss der Verlängerung der Kette am  $\gamma$ -Kohlenstoffatom durch eine Carbomethoxygruppe, von der  $\gamma$ -Methylgruppe im Chloroporphyrin- $e_4$ -dimethylester zur  $\gamma$ -Essigsäuremethylestergruppe im Chloroporphyrin- $e_6$ -trimethylester nicht sehr gross ist. Es findet durchweg Blauverschiebung der Absorptionsmaxima statt und eine Erhöhung der molaren Extinktionskoeffizienten.

Die bis jetzt untersuchten Porphyrine waren solche, denen ein normales Porphyringerüst, wie in der 1. Mitteilung, S. 341, angegeben, zugrunde liegt, das also durch fortlaufende konjugierte Doppelbindungen im Ringsystem ausgezeichnet ist. Selbst wenn ein isocyclischer Ring sich zwischen 6-Stellung und  $\gamma$ -Methinbrücke befindet, ändert sich nichts an der Konjugation der Doppelbindungen, wie aus der Fig. 3 zu ersehen ist.

Diese Porphyrine besitzen nun alle im Sichtbaren ein vierbandiges Spektrum. Ein Teil von ihnen besitzt noch eine kleine Bande, die wir als Bande Ia bezeichnen<sup>1</sup>). Wie weiter aus der 1. Mitteilung und

<sup>1)</sup> Es sei an dieser Stelle allgemein bemerkt, dass die in Arbeiten von H. FISCHER und seinen Schülern angegebenen visuell bestimmten Banden der Porphyrine, sowohl hinsichtlich der Lage der Maxima, als auch der Anzahl im Sichtbaren, nicht immer mit denen der hier quantitativ beschriebenen Absorptionsspektra übereinstimmen. Die Verschiedenheit der Lage der Bandenmaxima ist in der Hauptsache auf den Einfluss der verschiedenartigen Lösungsmittel zurückzuführen. Die Änderung der Anzahl der Banden bzw. das Vorhandensein von Vorschatten

Die

bei ıyl-

ach

her

ppe

en-

ass hin

an be-

en.

IV-

rs,

2-

vl-

yl-

st.

tt

in

n,

el-

0-

et,

us

es ie

d

ER

e.

n,

ra

n.

n

dieser Arbeit hervorgeht, ändert verschiedenartige Substitution in diesem Porphingerüst nichts am Gesamtbild der Absorptionskurven im Sichtbaren. Es werden lediglich die Lagen der Bandenmaxima und Minima nach allgemeinen Regeln verschoben und die Höhe der molaren Extinktionskoeffizienten, also der Typ des Spektrums, verändert. Eine Änderung des Gesamtbildes der Absorptionskurven tritt auch dann nicht ein, wenn die  $\gamma$ -Methinbrücke durch Substitution belastet ist, oder sich ein isocyclischer Ring zwischen  $\gamma$ -Methinbrücke und 6-Stellung befindet 1).

Es gibt nun eine Reihe von Porphyrinen, die ein ganz verändertes Absorptionsspektrum besitzen. Dieses zeigt im Sichtbaren sechs Banden, von denen diejenigen im Rot und Violett sich durch ganz besonders hohe molare Extinktionskoeffizienten auszeichnen. Die mittleren Banden sind nieder und ziemlich breit.

Ein Teil dieser Porphyrine hat ein derartig verändertes Absorptionsspektrum und ist isomer mit normalen Porphyrinen, die ein vierbandiges Spektrum aufweisen. Da aber, wie gezeigt, selbst weitgehend veränderte Substitution den normalen vierbandigen Absorptionstyp nicht zu verändern vermag, so muss eine grundlegende Änderung im Porphingerüst stattgefunden haben.

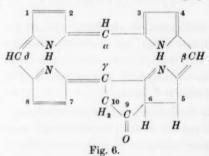
Eine Änderung im Porphyringerüst wurde von H. FISCHER schon des öfteren diskutiert und neuerdings von H. FISCHER und H. MEDICK<sup>2</sup>) durch den Nachweis einer Vinylgruppe in 2-Stellung dieser Porphine mittels Diazoessigesterreaktion festgestellt. Denn, da die Chlorine und Porphyrine isomer sind, so müssen die zwei Wasserstoffatome der Äthylgruppe in 2-Stellung der normalen Porphine bei den Chlorinen in den Porphinkern gewandert sein, unter Bildung eines Dihydroporphins, wobei verschiedene Möglichkeiten der Stellung der Wasserstoffatome gegeben sind.

und Nebenbanden beruht bei solchen visuellen Messungen, wie F. Weigert (Ber. dtsch. chem. Ges. 49 (1916) 1499) zeigte, auf der Möglichkeit der Existenz scheinbarer Banden, sogenannter "Kontrast- und physiologische Banden", die durch das Empfindlichkeitsspektrum gegeben sind. Der qualitative visuelle Vergleich der verschiedenen Spektra z. B. zum Zwecke der Feststellung der Identität wird durch diese Erscheinungen natürlich in keiner Weise beeinträchtigt, da derselbe ja stets unter gleichen Bedingungen erfolgt.

Eine weitere Anzahl von Porphyrinen mit verschiedener Substitution an der γ-Methinbrücke und 6-Stellung wird zur Zeit untersucht.
 FISCHER, H. und MEDICK, H., Liebigs Ann. Chem. 517 (1935) 245.

Durch den Nachweis asymmetrischer Kohlenstoffatome im Chlorophyll bzw. in den Chlorinen von H. FISCHER und A. STERN¹) wurden die von H. FISCHER und H. MEDICK diskutierten Möglichkeiten widerlegt. Die Wanderung der Wasserstoffatome muss so erfolgen, dass an einem der vier Pyrrolkerne im Porphin asymmetrische Kohlenstoffatome entstehen.

Die Veränderung im Spektrum ist also ohne weiteres zu verstehen, da demnach diesen Porphyrinen ein "Dihydroporphin"-Gerüst



(Fig. 6) zugrunde liegt, wobei die in Fig. 6 gezeigte Anordnung zunächst am wahrscheinlichsten ist<sup>1</sup>).

Es ist nun weiter von Interesse zu sehen, wie gross der Einfluss verschiedenartigster Substitution in einem solchen Dihydroporphin auf die Lichtabsorption ist und ob ähnliche Erscheinungen

auftreten, wie die, bei der Betrachtung der verschiedenen Substitutionen im normalen Porphin.

Chlorin- $e_4$ -dimethylester hat die gleiche Bruttoformel und ist analog gebaut wie Chloroporphyrin- $e_4$ -dimethylester, nur dass bei ersterem zwei Wasserstoffe der Äthylgruppe der 2-Stellung des Chloroporphyrin- $e_4$ -dimethylesters in den Porphinkern gewandert sind unter Bildung eines Dihydroporphins und der Vinylgruppe in 2-Stellung. Dem Chlorin- $e_4$ -dimethylester liegt also ein Dihydroporphin zugrunde.

Beide Körper sind isomer. Wir haben hier also einen anderen Fall von Isomerie in der Porphinreihe, der durch den Übergang des Porphins in ein Dihydroporphin verursacht ist. Wie wir in der 1. Mitteilung näher gezeigt haben, haben die Porphyrine, deren Isomerie durch die verschiedene Stellung der gleichen Gruppen im sonst gleichbleibenden Porphin hervorgerufen ist, die gleiche Lage der Absorptionsmaxima. Unterschiede treten nur in den molaren Extinktionskoeffizienten auf, wodurch eine Unterscheidung in verschiedenen Fällen möglich ist.

<sup>1)</sup> FISCHER, H. und STERN, A., Liebigs Ann. Chem. 519 (1935) 61. Zu einem ähnlichen Ergebnis kamen Conant, J. B. und Camerling, S. E., J. Amer. chem. Soc. 53 (1931) 3522. Siehe auch FISCHER u. STERN, Liebigs Ann. Chem. im Druck.

Hier tritt nun eine vollkommene Änderung der Absorptionskurve ein. Betrachtet man die Absorptionskurve von Chloroporphyrin- $e_4$ -dimethylester und die des Chlorin- $e_4$ -dimethylesters miteinander (Fig. 7), so sieht man noch eine gewisse Ähnlichkeit der Ab-

ro-

len

er-

ass

en-

er-

ist

lie

ng

en

er-

n-

ti-

0-

on

en

b-

st

ei

0-

er

g.

e.

n

es

t-

ie

1-

)-

S-

n

m

ζ.

5,0.104

ε

4,6

42

3,8

34

30

sorptionskurve des Porphins mit der des Chlorins, jedoch ist ein Teil der Maxima des letzteren nach Rot, ein anderer zum Teil nach Blau verschoben. Die rote Bande I ist extrem hoch.

Bei den bis jetzt gemessenen Porphyrinen, denen ein Dihydroporphin zugrunde liegt, befindet sich im Violett (etwa 406 bis 410 m $\mu$ ) noch eine ganz ausserordentliche hohe Bande. Diese ist in der Tabelle der molaren Extinktionskoeffizienten nicht angegeben, da sie mit dem König-Martensschen Spektrophotometer nicht mehr ausgemessen werden konnte. Die Ausmessung derselben in Verbindung mit der Ultraviolettabsorption ist in Arbeit.

Die gleichen Verhältnisse finden sich beim Chlorin-e<sub>6</sub>-trimethylester. Dieser hat wieder die gleiche Bruttoformel wie der Chloroporphyrin-e<sub>6</sub>-

trimethylester und ist mit diesem isomer. Er ist ausserdem dem Chlorine<sub>4</sub>-dimethylester gleich gebaut, nur dass an Stelle einer Methylgruppe am Kohlenstoff der  $\gamma$ -Methinbrücke,hier ein Essigsäuremethylesterrest sitzt. Vergleicht man die

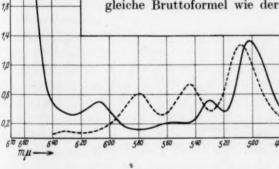


Fig. 7.

--- Chloroporphyrin-e<sub>4</sub>-dimethylester in Dioxan.

Absorptionskurve des Chlorin- $e_6$ -trimethylesters mit der des Chlorin- $e_4$ -dimethylesters, so zeigt sich weitgehende Ähnlichkeit, sowohl hinsichtlich der Lage, als auch der molaren Extinktionskoeffizienten der Absorptionsmaxima und -minima (Fig. 8).

Die Veränderung am Kohlenstoff der  $\gamma$ -Methinbrücke einmal durch Methyl- das andere Mal durch den Essigsäuremethylesterrest,

5.4.104

hat also einen relativ geringen Einfluss auf die Lichtabsorption, wie dies in ähnlicher Weise beim Übergang Chloroporphyrin- $e_4$ -dimethylester zu Chloroporphyrin- $e_6$ -trimethylester der Fall ist.

Pyrophäophorbid-a-monomethylester ist mit
Phylloerythrin-monomethylester isomer. Es liegt
aber im Gegensatz zu diesem dem Pyrophäophorbida-monomethylester ein Dihydroporphingerüst zugrunde und in 2-Stellung ist an Stelle der Äthylgruppe im Phylloerythrin-monomethylester eine
Vinylgruppe getreten. Es stellt also ein Dihydroporphin dar, das zwischen der 6-Stellung und γ-Methinkohlenstoff einen isocyclischen Ring trägt.

Betrachtet man die Absorptionskurve des

Betrachtet man die Absorptionskurve des Phylloerythrin-monomethylesters (Fig. 4) mit der des Pyrophäophorbid-a-monomethylesters (Fig. 8), so zeigt sich wieder die ganz analoge totale Veränderung der Absorptionskurve durch die Isomerisation des Porphingerüstes.

Die Absorptionskurve des Chlorin-e<sub>4</sub>-dimethylesters und die des Chlorin-e<sub>6</sub>-trimethylesters ver-

glichen mit der des Pyrophäophorbida-monomethylesters (Fig. 8), zeigt weitgehende Ähnlichkeit im Gesamtbild der Kurve. Die Bandenmaxima und -minima sind verschoben und die molaren Extinktionskoeffizienten mitunter sehr verdi

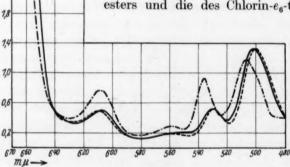


Fig. 8.

Chlorin-e <sub>4</sub> -dimethylester	1
 Chlorin-e <sub>6</sub> -trimethylester	in Dioxan.
 ${\bf Pyroph\"{a}ophorbid-}a\text{-}monomethyle ster}$	)

schieden, wie es normalerweise durch die Verschiedenartigkeit der Substitution zu erwarten ist.

Methylphäophorbid a ist als Pyrophäophorbid-a-monomethylester aufzufassen, dessen eines Wasserstoffatom am Kohlenstoff 10 des isocyclischen Ringes durch eine Carbomethoxygruppe ersetzt ist,

wie dies bei Phylloerythrin-monomethylester und Phäoporphyrin- $a_5$ -dimethylester der Fall ist.

wie

yl-

nit

egt

id-

u-

vl-

ne

0-

le-

er

3).

e-

11

1-

r-

38

Ì-

e

n

r

e

Die Gegenüberstellung der Absorptionskurve des Methylphäophorbid-a mit der des Pyrophäophorbid-a-monomethylesters zeigt, dass beide ausserordentlich ähnlich sind, so dass bei graphischer Darstellung der Kurven dieselben nahezu zusammenfallen. Der Einfluss einer Carbomethoxygruppe am Kohlenstoff 10 des isocyclischen Ringes ist demnach sehr gering. Bande I ist um 15 m $\mu$  nach Blau, Bande II und Bande III um je 1m $\mu$  nach Rot und Bande IV wieder um 1m $\mu$  nach Blau verschoben.

Auch hinsichtlich der molaren Extinktionskoeffizienten zeigt sich weitgehendste Ähnlichkeit, nur Bande I und IV sind verschieden.

Es ist auch daraus ersichtlich, dass die beiden Porphine die gleiche Dihydroporphinstruktur besitzen. Der Einfluss der Carbomethoxygruppe ist hier geringer als beim normalen Porphinsystem im Falle des Phylloerythrin-monomethylesters und des Phäoporphyrin- $a_5$ -dimethylesters.

Vergleicht man die Absorptionskurve des Methylphäophorbid a mit der des Phäoporphyrin- $a_5$ -dimethylesters, so sieht man auch hier wieder die grosse Veränderung, hervorgerufen durch das Dihydroporphinsystem<sup>1</sup>).

Im Verlauf der Untersuchung der Lichtabsorption normaler isomerer Porphyrine konnten wir in der 1. Mitteilung zeigen, dass bei verschiedenen Isomeren deutliche, ausserhalb der Fehlergrenze der Messungen liegende Unterschiede bestehen können. So können Ätioporphyrin I und II in Dioxan spektroskopisch einwandfrei unterschieden werden; ebenso Koproporphyrin-I-tetramethylester und Koproporphyrin-II-tetramethylester in wässeriger Salzsäure. Auch Koproporphyrin-II-tetramethylester und Koproporphyrin-IV-tetramethylester lassen sich in wässeriger Salzsäure ohne weiteres unterscheiden.

Eine Einschränkung erfährt zunächst die Möglichkeit der Unterscheidung derartiger Isomerer dadurch, dass bei manchen die Absorptionskurven zusammenfallen<sup>2</sup>), man also infolge der Gleichheit

¹) Auf die Veränderung bzw. die Gesetzmässigkeiten bei der Umwandlung Porphin-Dihydroporphinsystem hinsichtlich der Frequenzabstände werden wir später eingehen. Besonders interessant wird hier die Lösungsmittelabhängigkeit der Absorption sein, vor allem die in Salzsäure.
²) Die Untersuchung der Porphyrine in verschiedenen Lösungsmitteln, ist, wie in der 1. Mitteilung bereits

der Absorption natürlich weder auf Verschiedenheit noch auf Identität der entsprechenden Porphine schliessen kann.

Wir haben weiterhin die reinsten Präparate von zwei wichtigen Uroporphyrinen gemessen. Von H. Fischer¹) wurde zuerst bei dem Falle "Petry" ein Uroporphyrin aus Harn isoliert, das durch Decarboxylierung Koproporphyrin-I ergab. Ein zweites Uroporphyrin wurde aus Muschelschalen (Pteria radiata) von H. Fischer und E. Hare²) isoliert, das ebenso bei der Decarboxylierung Koproporphyrin-I ergab. Beide gehören also dem Porphyrintyp I an. Der Mischschmelzpunkt der beiden Körper ergab ebenfalls keine Depression, so dass die beiden als identisch zu betrachten sind.

1 r . . dorsolben fiir einige

Ein Vergleich der Absorptionsdaten der beiden Uroporphyrine (Petry und Pteria) (Tabelle 3) zeigt, dass diese auch spektroskopisch identisch sind. Die Lage der Maxima und Minima stimmen vollkommen überein. Die molaren Extinktionskoeffizienten sind innerhalb der Fehlergrenzen gleich.

Es war von Interesse diese beiden identischen Porphyrine, deren Seitenketten in den Stellungen 2,4,6,8 noch nicht ganz sicher sind, mit anderen Isomeren zu vergleichen, und zwar vor allem mit 1,3,5,7-Tetramethyl-porphin-2,4,6,8-tetrabernsteinsäureoktamethylester³) und noch mit Isouroporphyrin-II-oktamethylester(1,4,5,8-Tetramethylporphin-2,3,6,7-tetramethylmalonsäure-oktamethylester).

Aus Tabelle 3 ist zu ersehen, dass die Absorptionsdaten des 1,3, 5,7-Tetramethylporphin-2,4,6,8-tetrabernsteinsäure-oktamethylesters mit denen des Uroporphyrin Petry und Uroporphyrin Pteria angenähert übereinstimmen, was in Hinblick auf die, von H. FISCHER und A. STERN aufgefundene, optische Aktivität des Uroporphyrin (Pteria) besonders bemerkenswert ist, da man danach Bernsteinsäurereste im Uroporphyrin anzunehmen hätte.

Isouroporphyrin-II-oktamethylester fällt vollkommen heraus (Fig. 9), was wieder ein Beispiel für die Möglichkeit der Unterscheidung isomerer Porphyrine auf spektroskopischem Wege bietet.

erwähnt, in Arbeit. Es wird sich zeigen, ob nicht eventuell durch Variation des Lösungsmittels bei allen Porphyrinen Unterschiede festgestellt werden können. Ausserdem werden möglicherweise bei den in Arbeit befindlichen Messungen im Ultraviolett noch grössere deutliche Unterschiede auftreten.

FISCHER, H., Hoppe-Seylers Z. physiol. Chem, 95 (1915) 39.
 FISCHER, H. und HAARER, E., Hoppe-Seylers Z. physiol. Ch. 204 (1931) 101.
 FISCHER, H. und ZISCHLER, J., Unveröffentlicht; siehe auch Dissertation ZISCHLER, J., Technische Hochschule. München 1935.

Tabelle 3. Molare Extinktionskoeffizienten der Maxima und Minima und Lage derselben für einige Uroporphyrine in Dioxan.

en-

gen em Derin nd ro-Der es-

ne ch ll-

en d, 3, 3)

3, s -d ) e

8

		-		1		-		ш		W	
100	Me	Maximum	Ma	Ia Maximum	Me	Maximum	Ma	Maximum	Me	Maximum	
ZIIBASANA	h in mµ	9	λ in mμ	43	λ in mμ	ω	λ in mμ	40	λ in mμ	49	
a) Isouroporphyrin-II- oktamethylester	623	0.499.104	596	0.134 . 104	568	0.655 . 104	530	0.923 . 104 498	498	1.435 . 104	104
ester (Pteria)	624	0.393.104	596	0.139 . 104	569	0.699 . 104	531	0.926 . 104	499	1.525 . 104	10,
e) Uroporphyrin oktametnylester (Petry) d) 1, 3, 5, 7-Tetramethyl-	624	0.412 . 104	296	01137 . 104	569	0.711 . 104	532	0.927 · 104	499	1.567 . 104	10.
porphin-2, 4, 6, 8-tetra- bernsteinsäure-okta-							-				
methylester	624	0.345 . 104	596	0.132 . 104	220	0.650 . 104	531	0.912.104	200	1.541 · 10	10.
	M	I Minimum	W	II Minimum	M	III Minimum	M	IV Minimum			
	λ in mμ	45	λ in m <sub>μ</sub>	9	λ in mμ	ω	λ in mμ	۲			
a)	605	0.068 . 104	592	0.114 . 104	550	0.104.104	517	0.294 . 104			
(q	605	0.074 . 104	593	$0.128 \cdot 10^{4}$	551	0.141.204	518	0.334 . 104			
(0	909	0.070 . 104	593	$0.130 \cdot 104$	551	$0.154 \cdot 10^{4}$	519	0.358 . 104	-		
ਰਿ	607	0.073 . 104	592	0.126 . 104	553	0127 . 104	518	0.319 . 104	,		

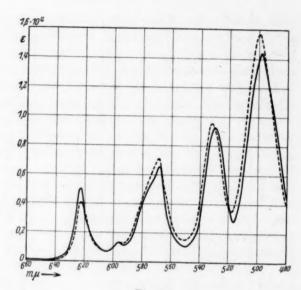


Fig. 9.

Isouroporphyrin-II-oktamethylester Uroporphyrin-oktamethylester (Petry) in Dioxan.

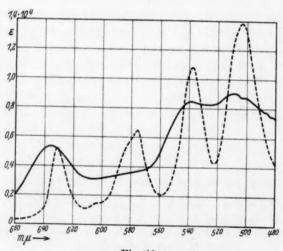


Fig. 10.

---- Protoporphyrin in Dioxan.

1

Zum Schlusse wurde noch die Absorption von Hämin, das auf das sorgfältigste durch sechsmaliges Umkristallisieren gereinigt wurde, gemessen. Der Vergleich mit dem zugrunde liegenden Porphyrin, dem Protoporphyrin, ist in Fig. 10 gegeben 1).

Der Justus-Liebig-Gesellschaft zur Förderung des chemischen Unterrichts möchten wir für ein dem einen von uns (H. W.) gewährtes Stipendium ergebenst danken.

<sup>1)</sup> Mit Messungen der Lichtabsorption der Metallkomplexsalze der Porphyrine sind wir beschäftigt.

München, Organisch-chemisches Institut der Technischen Hochschule.

# Die Verdünnungswärme von Salpetersäure.

Von

G. Becker und W. A. Roth.

(Mit 2 Figuren im Text.)

(Eingegangen am 25. 7. 35.)

Nachdem wir die Bildungswärme einer verdünnten Salpetersäure aus Stickstoff, Sauerstoff und Wasser kürzlich nach einer neuen Methode bestimmt haben, musste bei der starken Streuung der Angaben über die Verdünnungswärme eine neue genaue Messung erfolgen. Wir haben mit 25 Thermoelementen die Verdünnungswärme von  $HNO_3$  4·5  $H_2O$  bis  $HNO_3$  3800  $H_2O$  bei 20° C gemessen. Praktisch spielt die Verdünnungswärme keine Rolle: man kann in der Bombencalorimetrie mit dem konstanten Wert 14·8 $_5$  cal/Millimol Salpetersäure rechnen. Der Verlauf der Verdünnungswärme ist kompliziert und zeigt, dass sich beim Verdünnen drei Vorgänge mit verschiedenen Vorzeichen überlagern.

### Einleitung.

Da die Bildungswärme von HNO<sub>3</sub>, aq in verschiedenen Konzentrationen als Korrektur in jede Bestimmung einer Verbrennungswärme eingeht, ist es notwendig, einen einwandfreien Verlauf der Verdünnungswärme der Salpetersäure zu kennen. Kürzlich haben wir<sup>1</sup>) nach einer neuen Methode die Bildungswärme von HNO<sub>3</sub> 1079 H<sub>2</sub>O aus Stickstoff, Sauerstoff und Wasser bei etwa 20° zu + 14'84 kcal bestimmt. Über die Verdünnungswärmen von Salpetersäure liegen an älterem Material Zahlen von Berthelot und Thomsen vor, und zwar bis zu einer Verdünnung von N=320; bei der Kleinheit der Grösse schwankt selbst das Vorzeichen, so dass wir diese Zahlen nicht zu diskutieren brauchen. In neuerer Zeit haben TH. W. RICHARDS und A. W. Rowe<sup>2</sup>) bei 20° die Verdünnungswärmen von HNO<sub>3</sub> 10 H<sub>2</sub>O auf 25, 50, 100, 200 und 400 H<sub>2</sub>O bestimmt, und zwar mit einem Beckmann-Thermometer. Ihre Zahlen sind den unseren ähnlich, aber nicht gleich; z. B. finden Th. W. RICHARDS und A. W. Rowe für  $N_1 = 10 \rightarrow N_2 = 25 \ 160 \ \text{cal/Mol}$ , wir +178, für  $N_1 = 10 \rightarrow N_2$ = 200 + 119, wir 100. Zwei unveröffentlichte Messungen von W. A. ROTH<sup>3</sup>) können nicht sehr genau sein, da sich die kleinen Verdünnungswärmen mit einem Beckmann-Thermometer nicht mehr genau messen

BECKER, G. und ROTH, W. A., Z. Elektrochem. 12 (1934) 836.
 RICHARDS,
 TH. W. und ROWE, A. W., J. Amer. chem. Soc. 43 (1923) 779.
 L.-B,-R.-S.,
 E. 1, S. 847.

lassen, doch ist das Vorzeichen (kleine negative Verdünnungswärme) richtig. Schliesslich hat S. M. NAUDɹ) bei  $18^{\circ}$  verdünnte Lösungen ( $N_1 = 54, 109, 165, 553$ ) bei der Verdünnung auf das 50 fache Volumen mit Thermoelementen untersucht. Seine Werte sind durchweg höher als die unsrigen. Der Grund dürfte der sein, dass er sich nicht vor der Einwirkung des Alkalis aus dem Thüringer Glas seines Calorimeters geschützt hat, sich also über die Verdünnungswärme positive Neutralisationswärme überlagert²). Diese Zusammenstellung zeigt, dass eine systematische Neubestimmung notwendig war.

### Konzentrationsgrenzen.

1e

r

Zunächst galt es die Grenzen der Konzentrationen festzusetzen, die bei Bombenverbrennungen auftreten können. Die Salpetersäure kondensiert sich zum Teil mit dem bei der Verbrennung entstehenden Wasser an der Wand und auf dem Deckel der Bombe, ein anderer Teil löst sich in dem in der Bombe einpipettiertem Wasser ("sentina"). Neuerdings pipettiert man nur 1 cm<sup>3</sup> Wasser ein, während man früher 5 bis 10 cm<sup>3</sup> anwandte. Spült man die Bombe mit Sauerstoff aus, so ist die entstehende Menge Salpetersäure gering. Wir haben in die mit Luft gefüllte Bombe Sauerstoff bis zu 38 Atm. Gesamtdruck eingelassen, um die höchsten Konzentrationen zu finden, die praktisch auftreten. Die Menge Salpetersäure hängt letzten Endes von der Maximaltemperatur und der Grösse der Flamme ab, also spielt die Verbrennungsgeschwindigkeit eine merkbare Rolle. Wir stellten qualitative Versuche mit schnellverbrennendem Paraffinöl und etwas langsamer verbrennender fester Benzoesäure an und titrierten die "sentina" und die Wandsäure getrennt. An der Wand schlug sich 90 bis 94 % der Salpetersäure nieder. Nimmt man an, dass sich alles bei der Verbrennung entstehende Wasser an der Wand niederschlägt, wobei die Formel des Paraffinöls als  $(CH_2)_n$  angenommen wurde, so hatte die Salpetersäure bei Versuchen mit Paraffinöl die ungefähre Zusammensetzung  $HNO_3$  60  $H_2O$ , bei denen mit Benzoesäure HNO<sub>3</sub> 28 H<sub>2</sub>O, unabhängig von der Menge des Verbrennungsgutes. Die Konzentration der "sentina" schwankte zwischen HNO3 800 und HNO<sub>3</sub> 2000 H<sub>2</sub>O. Streng genommen besteht also innerhalb der Bombe während der Nachperiode kein thermodynamisches Gleich-

NAUDÉ, S. M., Z. physik. Chem. 135 (1928) 209.
 Vgl. dieselben Erscheinungen bei Schwefelsäure: Grau, R. und Roth, W. A., Z. anorg. allg. Chem. 188 (1930) 196.

gewicht, sondern wird sich ein langsamer Ausgleich der Konzentrationen über die Dampfphase abspielen. Wie wir sehen werden, ist der thermische Effekt gering. Aber selbst wenn er wie beim Auftreten von grösseren Mengen Schwefelsäure wesentlich grösser ist, wird der Ausgleich so langsam sein, dass seine thermische Wirkung zu vernachlässigen ist. — Die praktisch vorkommenden Konzentrationsgrenzen für die Salpetersäure sind also nach unseren Versuchen N=28 bis N=2000. Zur Vervollständigung haben wir unseren Messbereich bis auf N=5 und N=3800 ausgedehnt.

Als Endkonzentration wurde zunächst  $N\!=\!1079$  gewählt, als diejenige, für welche die Bildungswärme bestimmt war; später wurde diese Säure noch weiter verdünnt, doch ergaben sich keine sicher messbaren Verdünnungswärmen mehr. Vorversuche zeigten, dass selbst ein gutes Beckmann-Thermometer nicht genügend genau arbeitete, also musste die Messung mit Thermoelementen erfolgen. Bei den kleinen Temperaturdifferenzen musste darauf geachtet werden, dass Zimmertemperatur und die Temperaturen von Wassermantel und Calorimeter ganz nahe beieinander lagen. Ferner musste jede Störung durch Alkali aus dem Glase vermieden werden. Zu dem Zwecke liessen wir das gläserne Calorimetergefäss ständig mit Salpetersäure gefüllt stehen und spülten es nur vor jedem Versuch mit Leitfähigkeitswasser aus.

## Apparatur.

Als Calorimetergefäss benutzten wir ein Glasgefäss von etwa 400 cm³ Inhalt, das auf Korkschneiden in einem zweiten Glasgefässe stand mit einem Luftraum von etwa 0.5 cm Abstand. Das Wassermantelgefäss (etwa 30 Liter Inhalt) war eine Wanne aus Glas, so dass im Calorimeter der Einbau und der Reaktionsvorgang beobachtet werden konnte. Zur Temperaturmessung benutzten wir eine Serie von 25 Thermoelementpaaren aus Konstantan und Kupfer, die, mit Glaskapillaren umgeben, integrierend nach der Höhe in zwei Bündeln in das Calorimeter eingebaut wurden. Die zweiten Lötstellen tauchten in gleicher Anordnung in den Wassermantel (Temperatur 19.7°). Bei 2.5° Temperaturdifferenz und 20° Versuchstemperatur war die Thermokraft pro Thermoelement 41°03°10-6 Volt. E war wie üblich  $\Delta t$  nicht ganz streng proportional. Der Thermostrom wurde nicht durch Kompensation gemessen, sondern direkt als Ausschlag eines auf 2·10-8 A empfindlichen Spiegelgalvanometers der Firma Hartmann & Braun A.-G., Frankfurt a. M. abgelesen, unter Einschaltung eines dazu gehörigen Widerstandes zur aperiodischen Dämpfung. Der Ausschlag wurde durch Reflektion eines beleuchteten Fadens auf eine 60 cm lange in Millimeter geteilte Glasskala, die sich in etwa 1.5 m Abstand vom Spiegel befand, so sichtbar gemacht, dass eine Ablesegenauigkeit von 0.01 cm mit Bestimmtheit zu erreichen war. Sämtliche Zuleitungsdrähte waren

bifilar gewickelt, die Kontaktstellen waren mit einem Wattebausch gegen äussere Luftströmung geschützt. Spiegelgalvanometer und Glasskala waren genau fixiert.

Die Temperatur des Wassermantels war während der Versuchszeit nicht absolut konstant. Es ergab sich als beste Versuchsanordnung eine kräftige Rührung 10 Minuten vor dem Versuch und während des ganzen Versuches. Alsdann stieg die Temperatur der zweiten Lötstellen infolge der Rührwärme während eines Versuches um etwa 0'0004°, etwa 0'2 mm Ausschlag entsprechend. Diese Änderung wurde nicht berücksichtigt, da sie bei den Eichungen in gleicher Weise auftrat und bei der Rechnung so gut wie ganz herausfiel. Wurde in der angegebenen Weise gerührt, so waren die Gänge der Vor- und Nachperiode ganz regelmässig und die spezifische Gangänderung (Newtonsche Abkühlungskonstante) trotz der Kleinheit der Ausschläge sehr gut konstant.

Bei den Verdünnungsversuchen besteht das Calorimeter aus zwei Teilen, dem zur Verdünnung dienenden Wasser, dessen Temperatur infolge der Calorimeterrührung homogen ist und in dem sich die Thermoelemente befinden, und der zu verdünnenden Säure, die sich in einem dünnwandigen Glasgefäss befindet und nicht gerührt wird: hier hinkt die Temperatur etwas nach. Um diesen Faktor zu verringern, wurde das Calorimeterwasser vor jedem Versuch 10 Minuten durchgerührt, dann die Rührung für 3 Minuten unterbrochen und zu Beginn des Versuches wieder aufgenommen.

### Eichung.

Um den Galvanometerausschlag direkt in cal eichen zu können, muss der Wasserwert bei jedem Versuch genau der gleiche sein. Das liess sich leicht erreichen, da die spezifischen Wärmen der Salpetersäuren verschiedener Konzentration genügend genau bekannt sind und so die einzuwägende Menge Wasser für jeden Versuch berechnet werden konnte. Für positive Wärmetönungen ergab sich die Eichmethode von selbst: elektrische Beheizung mit konstantem Widerstand, genauer Messung der Spannung und der Zeit. Einige Kontrollversuche mit der Verdünnung von Schwefelsäure (nach R. Grau und W. A. Roth)) ergaben genau die gleichen Eichwerte.

Um zu erkennen, ob die Dauer des Versuches den Eichwert merklich beeinflusst, wurden drei Versuchsreihen mit je 60, 180, 300 Sekunden Heizzeit, einer Hauptperiode von 6, 9, 13 Intervallen à  $^{1}/_{2}$  Minuten entsprechend, und verschiedene Spannungen angestellt. Die cal/cm waren bei gleichem Ausschlag (bis zu 8 cm) so gut wie unabhängig von der Dauer des Versuches, wohl aber nahm die Empfindlichkeit mit der Grösse des Ausschlages langsam ab (siehe Tabelle 1).

Um die Empfindlichkeit bei Temperaturabnahme zu finden, wurde reines Kochsalz im Calorimeterwasser gelöst. Da die neuen

<sup>1)</sup> GRAU, R. und ROTH, W. A., Z. anorg. allg. Chem. 188 (1930) 196.

Tabelle 1. Eichungen durch elektrische Heizung.

Nr.	Intervalle Haupt- periode	cm Ausschlag korr. für Wärmeaustausch	cal durch Heizung	cal/em
		a) 60 Sekunden Hei	zzeit	
1	6	+1.45	10.13	6.99
2	6	+2.21	17:35	6.91
3	6	+2.57	17.93	6.98
4	6	+3.81	26.69	6.99
5	6	+4.69	32.31	6.89
6	6	+5.48	37.36	6.82
7	6	+8.83	59.52	6.74
8	6	+8.91	59.71	6.70
9	7	+9.67	64.06	6.62
	b	) 180 Sekunden Hei	izzeit	
10	8	+1.87	13.09	6.98
11	10	+1.91	13.05	6.83
12	9	+1.91	12.99	6.81
13	10	+1.92	13.29	6.92
14	9	+4.01	27.67	6.90
15	9	+4.41	29.86	6.77
16	9	+5.78	39.31	6.80
17	9	+7.46	50.77	6.81
18	9	+7.60	51.08	6.72
19	9	+7.74	51.55	6.66
20	9	+8.00	54.03	6.75
21	9	+8.31	56.66	6.82
	C	e) 300 Sekunden Hei	zzeit	
22	13	+1.92	13.09	6.82
23	13	+ 2.10	14.55	6.93
24	13	+2.97	20.65	6.95
25	13	+3.11	21.22	6.82
26	13	+3.20	24.57	7.02
27	13	+6.53	43.03	6.91
28	13	+6.47	43.26	6.69
29	13	+6.73	44.62	6.63
30	13	+7.27	49.48	6.81
31	13	+7.28	49.32	6.78

Literaturangaben über die Lösungswärmen von [NaCl] zu sehr verdünnten Lösungen merklich auseinander gehen, bestimmten wir eine Reihe von Lösungswärmen unter der Anwendung von kleiner elektrischer Überkompensation und Benutzung der Eichwerte von Tabelle 1 neu. Durch vorsichtiges Eintragen des festen Salzes konnte erreicht werden, dass der Ausschlag stets klein, positiv und fast konstant blieb. Zwischen N=634 und 1516 war die molare Lösungswärme bei 19'7° innerhalb der Versuchsfehler konstant  $-1'166\pm0'001$  kcal (vgl. Tabelle 2).

Tabelle 2. [NaCl] + aq = NaCl, aq (Wassermenge 296'1 g) (mit Überkompensation bei 19'7°).

Nr.	g Einwaage $NaCl$	NaCl NH <sub>2</sub> O	Inter- valle	Mess- temperatur ° C	em Ausschlag korr. für Wärmeaustausch
1 2 3	1.5156 1.2896	634 745	16 11	19.7 19.7	+0°16 +0°17
3	$0.9328 \\ 0.7522$	1030 1277	13	19.8 19.5	$+0.38 \\ +0.23$
4 5	0.6337	1516	10	19.6	+0.53
Nr.	$\begin{array}{c} {\rm Gesamtca} \\ {\rm (cal/cm} = 6 \end{array}$	durch	wärn	Lösungs- ne NaCl	kcal pro Mol NaCl
1	+1.12	+31.38		30.26	-1.162
2 3	+1.18	+26.90		25.72	-1.166
3 4 5	$+2.65 \\ +1.60$	$+21.23 \\ +16.63$	_	18.28 12.03	$-1.16_{4} \\ -1.16_{8}$
5	+1.60	+14.21	_		$-1^{\circ}16_{3}$ el $-1^{\circ}16_{6} \pm 0^{\circ}00_{1}$ ;

m.A.v.M. 0'002 keal/Mol

Nach den genauesten Bestimmungen der Verdünnungswärme sollte man einen kleinen Anstieg der negativen Lösungswärme um etwa 0.01 kcal erwarten. Bei den nicht unerheblichen Temperaturkoeffizienten der Lösungswärme sind hiermit nur Werte vergleichbar, die ebenfalls bei etwa 20° und ähnlichen Verdünnungen gemessen worden sind. Der nach ganz anderer Methode erhaltene Wert von S. G. LIPSETT, F. M. G. JOHNSTON und O. MAASS 1) für 20° und N = 1472 - 1.162 ist mit unserem Wert identisch, während die ähnlich ausgeführten Messungen von J. A. ASKEW, E. BULLOCK, H. F. SMITH, R. K. TINKLER, O. GATTY und J. H. WOLFENDEN<sup>2</sup>) etwas kleinere und schwankende Werte ergaben.

Für die kleinen negativen Ausschläge, die bei unseren Verdünnungsversuchen mit Salpetersäure auftraten, war die Empfindlichkeit die gleiche, wie bei den kleinsten positiven Ausschlägen (höchstens -0.75 cm); im Mittel 6.99 cal/cm (siehe Tabelle 3).

<sup>1)</sup> LIPSETT, S. G., JOHNSTON, F. M. G. und Maass, O., J. Amer. chem. Soc. 49 2) ASKEW, J. A., BULLOCK, E., SMITH, H. F., TINKLER, R. K., GATTY, O. und WOLFENDER, J. H., J. chem. Soc. London 1934, 1368.

Tabelle 3. Eichung durch Lösungswärme von NaCl.

et

Nr.	Inter- valle	cm Ausschlag korr. für Wärmeaustausch	cal berechnet aus Lösungswärme von NaCl	cal/cm
1	5	-1.74	-12.29	-7.06
-		2.02	(N=1580)	
2	6	-2.05	-14.16	-7.01
3	8	-2.12	$(N=1371) \\ -14.50$	-6.74
			(N = 1339)	
4	9	-2.69	-18.22	-6.77
			(N = 1066)	
5	9	-3.12	-21.60	-6.85
			(N = 899)	
6	9	-3.83	-26.21	-6.84
			(N = 741)	
7	6	-4.33	-29.97	-6.95
			(N = 648)	

### Versuchsmaterial und Titration.

Reinste konzentrierte Salpetersäure von Kahlbaum wurde nach dem Fortkochen der Stickoxyde mit Leitfähigkeitswasser auf 14·42 bzw. 43·78% ige Säure  $(HNO_3\ 20^{\circ}76\ bzw.\ 4\cdot49\ H_2\ O)$  verdünnt. Alle Titrationen wurden mit kohlensäurefreier 0·1 norm. KOH in Gewichtsbüretten ausgeführt, wobei nie unter 100 g verwendet wurden. Die Einstellung der Lauge geschah mit reinster Benzoesäure; als Indicator diente stets Phenolphthalein. Die Mittelwerte dürften auf 0·2 bis 0·30/ $_{00}$  genau sein. Da die Verdünnungswärmen nicht auf 10/ $_{00}$  genau zu messen sind, wurde die Reduktion auf den luftleeren Raum weder bei Benzoesäure, noch bei den Salpetersäurelösungen angebracht.

### Experimentelles.

Die zu verdünnende Ausgangslösung befand sich in einem dünnwandigen Glasgefäss, dessen Gestalt so gewählt war, dass der freie Raum zwischen Thermoelementen und Rührer voll ausgenutzt wurde; die grosse Oberfläche bewirkte einen schnellen Temperaturausgleich. Der Verschluss war eine dünne Platte aus festem Paraffin von etwa 5 mm Durchmesser, die mit einem Glasstab durchstossen wurde. Besondere Versuche zeigten, dass das Durchstossen keinen Leereffekt ergab. Nach dem Durchstossen wurde in gleichen Abständen neunmal gehoben, wobei zum Schluss im Aufnahmegefäss keine Schlieren mehr zu bemerken waren. Bei den elektrischen Eichversuchen wurde ganz analog gearbeitet, nur enthielt das Aufnahmegefäss Leitvermögenswasser. Bei einigen willkürlich herausgegriffenen Versuchen wurde auch die Endlösung titriert, der so gefundene  $HNO_3$ -Gehalt stimmte innerhalb von 0.05% mit dem berechneten überein. Eine Einwirkung von Alkali aus dem Glase hatte nicht stattgefunden.

In das Aufnahmegefäss konnten 25 cm³ Ausgangslösung eingefüllt werden, ohne dass das Niveau den Wasserspiegel des Calorimeters erreichte. Von  $N_1 = 4^{\circ}49$  bis  $N_1 = 92^{\circ}95$  auf  $N_2 = 1078$  konnte die Verdünnungswärme direkt gemessen werden. Bei verdünnteren Ausgangslösungen musste in zwei Etappen gearbeitet werden, wobei der erste Schritt aus der kurvenmässigen Darstellung der direkten Messung

sehr genau interpoliert werden konnte. Der "Gang" war höchstens  $\pm 0.02$  cm pro  $^{1}/_{2}$  Minute, die spezifische Gangänderung schwankte bei 1 cm Ausschlag ( $\Delta t$  etwa 0.02° und mehr) nur zwischen 0.0056 und 0.0070, d. h. um nur etwa 12%.

Tabelle 4. Verdünnungswärme  $HNO_3$  bei etwa 19'8°.

Nr.	Mess- tempe- ratur in Grad	$HNO_3 N_1 H_2 O \ \mathrm{dünnt}$ auf	$HNO_3N_2H_2O$	Mol Ein- waage	em Ausschlag korr. für Wärme- austausch	cal für Verdün- nungs- wärme	keal/Mol
1	19.5	4.49	→ 1077	0.01241	+ 2.22	+15.47	+ 1.004
2	19.5	5'36	1078	0.01240	+1.59	+11.11	+ 0.72
3	19.7	6.37	1079	0.01238	+1.13	+ 7.91	+ 0.51
4	20.1	8.15	1078	0.01240	+ 0.66	+ 4.62	+ 0.59
5	19.8	9.89	1079	0.01239	+0.30	+ 2.10	+ 0.13
6	20.2	11.72	1079	0.01238	+0.18	+ 1.26	$+0.08^{5}$
7	19.9	13.74	1076	0.01542	+ 0.06	+ 0.42	+ 0.02
8	19.7	15.36	1080	0.01537	- 0.01	- 0.07	- 0.002
9	20.0	18.89	1077	0.01245	-0.06	- 0.42	- 0.02
10	19.4	20.76	1078	0.01241	- 0.10	- 0.70	- 0.04
11	19.9	20.76	1078	0.01240	- 0.10	- 0.70	- 0.04
12	20.0	20.76	1079	0.01439	-0.08	- 0.56	- 0.03
13	20.1	22.52	1078	0.01540	- 0.09	- 0.63	- 0.04
14	19.8	30.55	1079	0.01539	- 0.07	- 0.49	- 0.03
15	19.7	38.65	1078	0.01542	- 0.02	- 0.35	- 0.05
16	19.7	38.64	1080	0.01537	- 0.02	- 0.35	- 0.02
17	19.4	56.67	1078	0.01539	- 0.05	- 0.14	- 0.00
18	19.7	74.63	1077	0.01541	+ 0.01	+ 0.07	+ 0.00
19	19.7	92.53	1078	0.01540	+ 0.02	+ 0.14	+ 0.00
20	20.2	92.95	1080	0.01537	+ 0.03	+ 0.21	+ 0.014
21	20.1	8.69	122.4	0.13233	+ 3.86	+26.71	+ 0.50
22	19.9	8.70	122.6	0.13500	+ 3.75	+25.99	+0.19
23	19.7	11.23	145.3	0.11150	+ 0.83	+ 5.81	$+0.02^{5}$
24	20.0	11.23	145.8	0.11160		+ 6.65	+ 0.000
25	19.6	13.92	185.4	0.08838	- 0.54	- 1.67	-0.01
26	20.3	20.76	251.3	0.06533	- 0.76	- 5.27	- 0.080
27	19.5	20.76	251.5	0.06530	- 0.29	- 4.10	$-0.06^{3}$
28	19.6	20.76	272.4	0.06035	- 0.23	- 3.68	$-0.06^{1}$
29	19'8	20.76	335.4	0.04914	- 0.34	- 2.36	-0.048
30	19.5	20.76	444'7	0.03711	- 0.53	- 1.60	- 0.043
31	20.3	20.76	447.8	0.03680		- 118	- 0.03
32	19.7	20.76	530.3	0.03120		- 1.39	- 0.042
33	19.8	20.76	533.0	0.03103	-0.17	- 1.18	- 0.03
34	20.0	20.76	670.6	0.02470		- 0.77	$-0.03^{1}$
35	19.6	20.76	671.9	0.02465	-0.15	- 1.04	- 0.04
36	19.9	20.76	811.4	0.02043	-0.10	- 0.70	- 0.034
37	19.6	20.76	814.8	0.05038		- 0.90	- 0.044
38	19.7	20.76	986.1	0.01683		- 0.70	-0'041
39	19.7	20.76	986.4	0.01685	-0.11	- 0.77	- 0.04
40	20.6	20.76	1899	0.00876		- 0.35	- 0.04
41	19.6	77.33	2654	0.00622	+ 0.01	+ 0.07	+ 0.01
42	19.9	84.28	3757	0.00443	1	+ 0.02	+ 0.01
43	20.0	94.81	3839	0.00433	+0.01	+ 0.07	+ 0.01

Tabelle 5.

Nr.		$HNO_3$ $1078 H_2O$ oliert nach rig. 1) kcal	HNO <sub>3</sub> N <sub>1</sub> H <sub>2</sub> O	→ HNO <sub>3</sub> 1078 H <sub>2</sub> O	keal/Mol	Interpoliert aus Fig. 1 und 2	Differenz
1	Marana	Antibolism	4.49 -	→ 1078	+ 1.00	+ 1'004	0
2	****	Window	5.36	1078	+0.72	+ 0.72	0
3	_		6.37	1078	+ 0.21	+ 0.21	+ 0.00
4	- market	-	8.15	1078	+ 0.29	+ 0.59	0
5	-	-	9.89	1078	+0.13	+ 0.14	- 0.01
6	Weten		11.72	1078	$+0.08^{5}$	+ 0.07	- 0.00
7	-	_	13.74	1078	+0.02	+ 0.02	+ 0.00
8	-	minima	15.36	1078	$-0.00^{9}$	$-0.00^{3}$	- 0.00
9	-	********	18.89	1078	$-0.05^{\circ}$	- 0.03	+ 0.00
10	-	-	20.76	1078	- 0.04	$-0.03^{8}$	- 0.00,
11	-	******	20.76	1078	- 0.04 <sup>2</sup>	$-0.03^{8}$	- 0.00
2	cleans	-	20.76	1078	$-0.03^{6}$	$-0.03^{8}$	+ 0.00
3	-		22.25	1078	$-0.04^{\circ}$	$-0.04^{\circ}$	$-0.00^{\circ}$
4	-	-	30.55	1078	$-0.03^{5}$	$-0.03^{3}$	+ 0.00
5	minum	**********	38.65	1078	$-0.05^{\circ}$	- 0.024	$+0.00^{\circ}$
6	-	***************************************	38.64	1078	$-0.05^{9}$	$-0.05^{4}$	$+0.00^{1}$
7	- Calmanus	_	56.67	1078	$-0.00^{6}$	- 0.00	0
8 9		-	74.63	1078	$+0.00^{2}$	$+0.00^{6}$	$-0.00^{1}$
		transfer	92.53	1078	$+0.00^{6}$	$+0.01^{8}$	$-0.00^{\circ}$
20	-	_	92.95	1078	$+0.01^{4}$	$+0.01^{8}$	$-0.00^{4}$
21	8.69 -	→ 1078					
		=+0.24	122.4	1078	+ 0.04	+ 0.03	+ 0.00
22	8.70	+ 0.24	122.6	1078	+ 0.04	+ 0.03	$+0.00^{\circ}$
23	11.23	$+0.09^{\circ}$	145.3	1078	+ 0.04	+ 0.04	0 009
24	11.53	$+0.09^{\circ}$	145'8	1078	+ 0.03	+ 0.04	- 0.00
25	13.92	$+0.05^{\circ}$	185.4	1078	$+0.03^{6}$	+ 0.04	$-0.00^{\circ}$
6	20.76	- 0.03	251.3	1078	+ 0.04	+ 0.03	1 0.01
7	20.76	- 0.03	251.5	1078	$+0.05^{2}$	$+0.03^{\circ}$	$+0.01^{5}$
8	20.76	- 0.03	272.4	1078	$+0.02^{2}$	$+0.03_{0} + 0.02_{5}$	$-0.00^{2}$
9	20.76	- 0.03°	335.4	1078	$+0.01^{0}$	+0.01	$-0.00^{5}$
0	20.76	- 0.03°	444.7	1078	$+0.00^{2}$	0	$+0.00^{\circ}$
1	20.76	- 0.03	447.8	1078	- 0.000	0	$-0.00^{\circ}$
2	20.76	- 0.03°	530.3	1078	$+0.00^{\circ}$	0	+ 0.00
3	20.76	- 0.03°	533.0	1078	0	0	0
4	20.76	- 0.03°	670.6	1078	- 0.00	0	- 0.00
5	20.76	- 0.03°	671.9	1078	+ 0.00	0	+ 0.00
6	20.76	$-0.03^{8}$	811.4	1078	- 0.00	0	- 0.00
7	20.76	- 0.03°	814.8	1078	+ 0.00	0	+ 0.00
8	20.76	- 0.03°	986.1	1078	+ 0.00	0	$+0.00^{\circ}$
9	20.76	- 0.03°	986.4	1078	- 0.00	0	+ 0.00
				HNO <sub>a</sub>		m. A. v.	M. 0.004
				$N_yH_2O$			
0	20.76	- 0.03°	1078	→ 1899	- 0.00	Verdünnu	nawärm
1	77.33	+ 0.00	1078	2654	$+0.00^{7}$	HNO <sub>3</sub> von	
2	84.58	+ 0.01	1078	3757	$+0.00^{5}$	H <sub>2</sub> O prakt	
3	94.81	+ 0.01	1078	3839	$-0.00^{3}$		ill!

Tabelle 4 enthält die direkten Versuchsergebnisse. In Tabelle 5 sind im ersten Teil alle Verdünnungen auf die Endkonzentrationen N=1078  $H_2O$  umgerechnet und die Abweichung gegen die Kurve Fig. 1 und 2 tabelliert. Im zweiten Teil findet man die Daten über die weitere Verdünnung von  $HNO_3$ , von N=1078 weiter verdünnt.

1Z

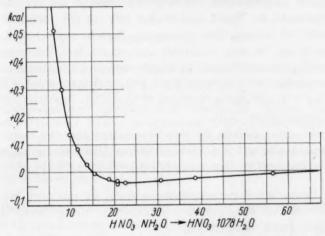


Fig. 1. Verdünnungswärme  $HNO_3$  (4.49—65)  $H_2O \rightarrow 1078 \ H_2O$  bei 19.8° C.

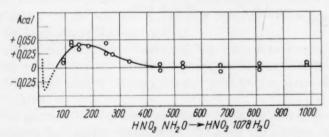


Fig. 2. Verdünnungswärme  $HNO_3$  (65—1000  $H_2O$ )  $\rightarrow$  1078  $H_2O$  bei 19'8° C.

Man sieht, dass mit 25 Thermoelementen und der Empfindlichkeit unseres Galvanometers von  $N=450\ H_2O$  an keine Verdünnungswärme mehr nachzuweisen ist. Die Ergebnisse sind in Fig. 1 bis N=65 und in Fig. 2 bis N=1000 graphisch dargestellt. Die Verdünnungswärme wird bei N=15 und N=67 und ab N=450 Null. Es überlagern sich also mehrere Vorgänge mit verschiedenen Vorzeichen (Umwandlung der Pseudosäure in die wahre Säure, Dissoziation der wahren Säure, Hydratation der Ionen). Eine quantitative

Ausdeutung scheint uns verfrüht, ehe nicht durch genauere Messung festgestellt ist, wie die Verhältnisse in noch verdünnteren Lösungen liegen.

Bei der Kleinheit der Verdünnungswärme kann man für die praktische Bombencalorimetrie ohne weiteres mit der Zahl  $+14^{\circ}8_{\circ}$  cal pro Millimol Salpetersäure rechnen und braucht die verschiedenen Konzentrationen an Wand und Deckel bzw. in der "sentina" nicht in Betracht zu ziehen. Bei genauester Berechnung schwanken die Bildungswärmen in dem praktisch vorkommenden Konzentrationsbereich zwischen 14 80 und 14 88 cal, während die Mittelzahl um 0 07 cal unsicher ist. Löst man 3 571 g  $Na_2CO_3$  oder 9 641 g  $Na_2CO_3$  10  $H_2O$  zu 1 Liter auf, so entspricht innerhalb der Versuchsfehler 1 cm³ Lösung genau 1 cal.

Der im ersten Bericht der ständigen internationalen Kommission für Thermochemie auf S. 17 der deutschen Übersetzung angegebene Wert von  $14^{\circ}55 \text{ cal}/15^{\circ}$  ist dementsprechend zu berichtigen.

Der Deutschen Forschungsgemeinschaft, die uns auch bei dieser Arbeit unterstützt hat, möchten wir auch an dieser Stelle unseren aufrichtigen Dank aussprechen.

Braunschweig, Institut für physikalische Chemie und Elektrochemie. 12. Juli 1935.

# Über eine Methode zur Messung von Lichtabsorption bei kleiner Lichtintensität und kurzer Einstellzeit.

ng en

lie cal

en

ht lie

IS-

m

03

er

on

ne

er

en

Von

#### Manfred v. Ardenne und Erwin Haas.

(Mit 2 Figuren im Text.)

(Eingegangen am 19. 7. 35.)

Über eine Anordnung wird berichtet, die Lichtintensitäten von  $7 \cdot 10^{-11}\,\mathrm{cal/sec}$  bei  $\pm 1$ % Messgenauigkeit und einer Einstellzeit von 1 Sekunde zu messen gestattet. Benutzt wird eine Photozelle, deren Ströme an einem sehr grossen (>108 Ohm) Ankopplungswiderstand Spannungsabfälle hervorrufen, die über einen nachgeschalteten Verstärker (Spannungsverstärkung > 106) normale Zeigermessinstrumente betätigen. Durch Einführung einer Trägerfrequenz (etwa 20 Hertz), die durch periodische Unterbrechung des Lichtstromes erzeugt wird, kann ein Wechselstromverstärker zur Anwendung kommen, der auch bei den notwendigen hohen Verstärkungsziffern völlig stabil bleibt.

Die Pigmente der Sauerstoffübertragung liegen in lebenden Zellen nur in kleiner Konzentration vor. Zur Messung ihrer Lichtabsorption sind daher dichte Bakteriensuspensionen erforderlich. Infolge der grossen Lichtverluste durch Streuung und allgemeine Absorption der Zellsubstanz ist die an der Rückwand des Absorptionstroges austretende Lichtmenge äusserst gering.

Ausserdem erfolgt die Änderung der Fermentabsorption in der Atmung relativ schnell, so dass für reaktionskinetische Messungen eine hochempfindliche Messapparatur mit kurzer Einstellzeit erforderlich ist.

Wir glauben, dass dieses Problem — Messung sehr kleiner Lichtintensitäten bei kurzer Einstellzeit — auch für andere Aufgaben interessiert und beschreiben im folgenden eine Apparatur, die den erwähnten Anforderungen entspricht.

#### Methode.

Das bekannte Verfahren mit Photozelle und Elektrometer erwies sich für Arbeiten in der oben angedeuteten Richtung als ungeeignet wegen viel zu langer Einstellzeiten. Die Kombination der Photozelle mit einem Gleichstromverstärker wurde wieder aufgegeben, weil bei der verlangten hohen Empfindlichkeit die erforderlichen Verstärkungsgrade nicht mit ausreichender Stabilität zu verwirklichen waren.

Bei der von uns benutzten Apparatur werden die Verstärkungsschwierigkeiten durch Einführung einer Trägerfrequenz¹) weitgehend ausgeschaltet. Durch die bekannte Methode der Trägerfrequenz wird es möglich, die sehr viel weniger störanfälligen Wechselstromverstärker anzuwenden. Betriebssichere Wechselstromverstärker mit extrem hohen Verstärkungsgraden sind für die Aufgaben der Fernsehsendetechnik von einem von uns entwickelt worden und konnten mit geringen Änderungen für die vorliegende Aufgabe nutzbringend eingesetzt werden.

Unter den verschiedenen Möglichkeiten zur Einführung der Trägerfrequenz wurde diejenige ausgewählt, bei der eine periodische Unterbrechung des auf die Photozelle fallenden Lichtes eintritt. Unsere Methode hat eine gewisse Ähnlichkeit mit einer etwa gleichzeitig²) mit uns entwickelten Photometeranordnung³). Jedoch wurde von uns eine etwa 350 fach grössere Empfindlichkeit erzielt.

### Beschreibung der gewählten Anordnung.

Das Licht einer Wolfram-Fadenlampe (10 A, 11 Volt) wurde durch einen Monochromator, Öffnung 1:8'5, zerlegt und der Absorptionstrog mit den Bakterien monochromatisch bestrahlt. An einer Stelle des Strahlenganges wurde ein rotierender Lichtunterbrecher E eingeschaltet, auf den wir noch zurückkommen werden. Die gesamte benutzte Anordnung ist schematisch in Fig. 1 dargestellt. Unmittelbar hinter dem Absorptionstrog befindet sich die völlig abgeschirmte und vom Hauptverstärker getrennte Photozelle mit der ersten Verstärkerstufe. Die konstruktive Trennung der Eingangsstufe vom Hauptverstärker geschah mit Rücksicht auf die hierdurch gegebene grössere Beweglichkeit. Die Trennung hat sich auch insofern gut bewährt, als es durch sie leicht möglich war, eine Anpassung auch des elektrischen Teiles an die Messaufgabe durchzuführen. Die im Anodenkreis der ersten Verstärkerstufe bei Belichtung der Photozelle entstehende Wechselspannung wird in einem fünfstufigen Niederfrequenzverstärker auf ausreichende Amplitude bebracht. Die beiden letzten Stufen wurden aus dem Lichtnetz getrieben, während die vier Vorstufen im Interesse eines möglichst

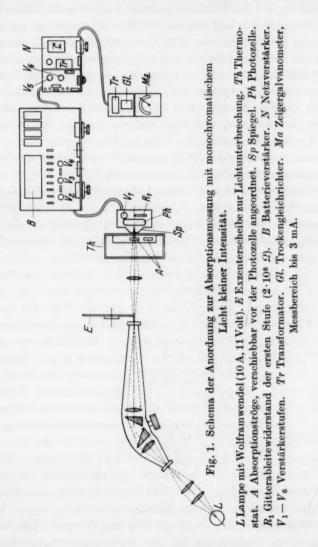
Schröter, F., Handbuch der Bildtelegraphie und des Fernsehens. Berlin: Julius Springer 1932. S. 292.
 Die vorliegende Arbeit wurde im Frühjahr 1934 ausgeführt.
 Brauer, G., Ein lichtelektrische Photometer für reaktionskinetische Messungen. Z. physik. Chem. (B) 26 (1934) 71 bis 80.

niedrigen Störpegels aus Batterien gespeist wurden. Die Endstufe ist etwas kräftiger gehalten, um mit üblichen technischen Wechselstrominstrumenten auszukommen. Die Messung der Ausgangs-

d

e

9



amplitude erfolgt durch das Milliamperemeter (Ma in Fig. 1) nach Herabtransformation der Spannung durch den Transformator (Tr) sowie Gleichrichtung durch den Trockengleichrichter (Gl).

### Dimensionierung.

Die Lichtunterbrechung erfolgt unmittelbar hinter dem Austrittsspalt des Monochromators durch eine exzentrisch rotierende Kreisscheibe, die im Interesse ruhigen Laufes ausgewuchtet wurde. Durch diese Art der Lichtunterbrechung ergibt sich bei sinngemässer Anordnung der Scheibe vor dem Austrittsspalt ein gut sinusförmiger Verlauf der Lichtmodulation und eine langsame Trägerfrequenz (bei unseren Arbeiten 23 Hertz). Gegenüber den sonst häufig zur Anwendung kommenden Scheiben mit mehreren Löchern hat diese Anordnung den weiteren Vorteil, dass keine Verschiedenheiten aufeinanderfolgender Amplituden entstehen können, die bei Mehrlochscheiben infolge kleiner Unterschiede in der Lochanordnung fast immer gegeben sind. Dieser Fehler ist besonders dann sehr störend, wenn die Spannungsmessung nicht durch ein gedämpftes Anzeigeinstrument, sondern beispielsweise trägheitslos durch eine Braunsche Röhre erfolgt.

Von ausserordentlicher Bedeutung für die Empfindlichkeit der Apparatur ist die Dimensionierung und Ausgestaltung der Einheit Photozelle — erste Verstärkerstufe. Als Photozelle diente die Cäso-Press-Riesenzelle von Pressler, Leipzig, mit Argonfüllung, deren

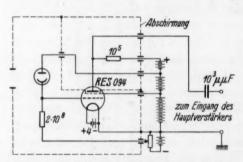


Fig. 2. Schaltung von Photozelle und Eingangsstufe.  $E_a=200~{
m Volt},~E_z=110~{
m Volt},~E_s=70~{
m Volt},~E_g=-1^{\circ}5~{
m Volt}.$ 

lichtempfindliche Fläche ausreichend gross ist, um einen grossen Teil des gestreuten Lichtes aufzunehmen. II

ol

lu

g

V

k

3

Die Zelle ist, wie das Schema Fig. 2 zeigt, galvanisch mit der Eingangsröhre gekoppelt. Die Empfindlichkeit der Apparatur hängt fast ausschliesslich davon ab, welchen Wert der Photozellen-Ableitungswiderstand dynamisch besitzt. Es ist grosse

Sorgfalt darauf zu legen, dass alle Ohmschen oder auch Blindwiderstände, die parallel zu den Koppelungswiderständen liegen, möglichst hohe Werte aufweisen. Je höher der resultierende Kombinationswiderstand des Eingangskreises ist, desto höher kann der Photozellen-Ankoppelungswiderstand gewählt werden, und zwar soll der letztere im Interesse definierter Empfindlichkeit grundsätzlich kleiner sein als der Kombinationswiderstand der übrigen parallel liegenden

Widerstände. Experimentell kann man sich leicht davon überzeugen, ob diese Bedingung erfüllt ist, indem der Wert des Ohmschen Koppelungswiderstandes verändert wird. Der Widerstand darf so lange gesteigert werden, als die Ausgangswechselspannung linear mit seiner Vergrösserung zunimmt. Als Widerstände, die die Höhe des Ankoppelungswiderstandes begrenzen, sind zu erwähnen: 1. der Isolationswiderstand vom Gitterkreis gegen Kathode, 2. der durch die Kapazität Gitterkreis gegen Kathode gebildete Blindwiderstand, 3. der dynamisch infolge der Rückwirkung über die Teilkapazität Gitteranode gegebene scheinbare Rückwirkungswiderstand, der bei der getroffenen Schaltung aus einer Ohmschen und einer kapazitiven Komponente bestehen kann. Unter den verschiedenen zu beobachtenden Widerständen ist besonders der Rückwirkungswiderstand<sup>1</sup>) schädlich. Auch schon bei dem niedrigen Wert der von uns benutzten Trägerfrequenz ist der Rückwirkungswiderstand, wenn normale Eingitterröhren benutzt werden, so niedrig, dass selbst bei Auswahl solcher Röhrentypen, die geringe Gitteranodenkapazität aufweisen, nur Photozellen-Ankoppelungswiderstände von 107 Ohm angewendet werden können. In der Erkenntnis der hohen Bedeutung der Rückwirkungswiderstände für die Gesamtempfindlichkeit der Apparatur wurde in der ersten Stufe eine Schirmgitterröhre verwendet und der Anodenkreis dieser Röhre zur Vermeidung auch der äusseren Teilkapazitäten völlig gegen den Gitterkreis abgeschirmt. Auf diese Weise gelang es, den Rückwirkungswiderstand so weit heraufzusetzen, dass er nicht mehr störte. Nunmehr war die Empfindlichkeit praktisch durch die Grösse des Blindwiderstandes der statischen Gitterkreiskapazität gegen Erde bedingt. Diese wurde, soweit bei der Grösse der Photozeile möglich, durch Anwendung kurzer Verbindungsleitungen und möglichst kapazitätsarmer Anordnung aller mit dem Gitter verbundenen Schaltungsteile möglichst niedrig gehalten. Bei der Trägerfrequenz von 23 Hertz durfte der Ohmsche Photozellen-Ableitungswiderstand auf den sonst bei Wechselstromverstärkern ungewöhnlich hohen Wert von 2·108 Ohm gebracht werden.

Zur Einstellung des günstigsten Arbeitspunktes der ersten Stufe diente der gezeichnete Potentiometerwiderstand. Bei der Wahl der Photozellenspannung besteht ein deutliches Optimum. Bei zunehmen-

<sup>1)</sup> Eine genaue Berechnung über die Grösse dieses Widerstandes befindet sich bei M. v. Ardenne und W. Stoff: Die Berechnung der Scheinkapazität bei Widerstandsverstärkern. Z. Hochfrequenztechn. 30 (1927) 86.

der Spannung steigt die Empfindlichkeit, doch nehmen schliesslich die Schwankungserscheinungen durch die ungleichmässige Ionisierung schneller zu als die Empfindlichkeit.

Neben dem durch die Photozelle bewirkten Schwankungsanteil besteht ein unvermeidlicher Schwankungsanteil, der durch die erste Verstärkerstufe hervorgerufen wird. Dieser Störpegel, bedingt durch Schwankungen der Emissionszentren auf der Kathode und durch die statistischen Schwankungen der Elektronenemission, entspricht einer Wechselspannung von etwa 10<sup>-6</sup> Volt am Eingangsgitter. Um mit guter Genauigkeit zu messen, muss der durch den Photostrom an dem Widerstand von 2·108 Ohm hervorgerufene Spannungsabfall mindestens 10<sup>-5</sup> bis 10<sup>-4</sup> Volt sein. Aufgabe des nachgeschalteten fünfstufigen Verstärkers ist es, diese Spannung auf eine gut messbare Amplitude zu bringen. Wird beispielsweise von einer Eingangsspannung von 10<sup>-5</sup> Volt verlangt, ein Wechselstrominstrument mit dem Messbereich von 100 Volt durchzusteuern, so ist 107 fache Spannungsverstärkung notwendig. Diese Verstärkung wurde mit guter Konstanz durch die Reihenschaltung der hier beschriebenen Eingangsstufe mit zwei früher besprochenen Verstärkeranordnungen<sup>1</sup>) erzielt.

Im Interesse hoher Empfindlichkeit und Messgenauigkeit ist durch geeignete Photozellenspannung, Gittervorspannung der ersten Stufe und günstige Ausgestaltung der optischen Verhältnisse ein möglichst grosser Wert des Quotienten Messspannung anzustreben. Mit Rücksicht auf Maximalempfindlichkeit der Anlage wurde davon abgesehen, im Photozellenkreis eine Widerstand-Kondensatorkombination einzufügen. Daher ist stärkeres Streulicht zu vermeiden, da sonst der Arbeitspunkt der ersten Stufe verschoben wird. Die Erfüllung dieser Forderung ist auch insofern vorteilhaft, als die Vorbelichtung der Zelle durch kontinuierliches Licht eine Zunahme des Photozellenstörpegels zur Folge hätte<sup>2</sup>).

Um den Störanteil durch den Mikrophoneffekt unter den besprochenen Pegel herabzusetzen, wurde der Verstärker mechanisch getrennt von der rotierenden Unterbrecherscheibe montiert.

<sup>1)</sup> v. Ardenne, M., Die Kathodenstrahlröhre. Schaltung Abb. 160 in Kombination mit Schaltung Abb. 154. Berlin: Julius Springer 1933. 2) Eine ausführliche Untersuchung der Schwankungserscheinungen einer Photozellenstufe findet sich bei F. v. Orban, Schroteffekt und Wärmegeräusch im Photozellenverstärker. Z. techn. Physik 13 (1932) H. 9; 14 (1933) H. 4.

### Empfindlichkeit der Methode.

ch

19

il

te

h

ie

it

n

11

n

e

-

n |-

t

Die beschriebene Apparatur wurde bolometrisch geeicht. Die Quecksilberlinie  $\lambda$  578 wurde isoliert und absolut gemessen<sup>1</sup>). Intensität =  $4.5 \cdot 10^{-5}$  cal/sec. Dieses Licht wurde durch zwischengeschaltete Rauchgläser 1:640000 geschwächt und gab dann, mit der beschriebenen Apparatur gemessen, den Vollausschlag des Milliamperemeters von 100 Skalenteilen.

Die absolute Empfindlichkeit ist:  $7\cdot 10^{-11}$  cal/sec — bei  $\pm 1\,\%$  Messgenauigkeit.

Diese Empfindlichkeit ist ausreichend, um mit einem Spektralbezirk von 580 bis 585 m $\mu$  (isoliert aus dem Kontinuum einer Wolframlampe) nach Schwächung durch 1 cm 50 Volumproz. Bäckerhefe, noch 100 Skalenteile Ausschlag zu erzielen. Die Einstellzeit hatte den durch die Trägheit des Anzeigeinstrumentes bedingten Wert von etwa 1 Sekunde.

WARBURG, O. und NEGELEIN, E., Z. physik. Chem. 106 (1923) 191, insbesondere 215.

## Stabilität der Silberjodidsole.

SHC

um

die

he

Sta

So St

W

io

pf

SO

V

ü

Z

L

I

Von

Georg N. Gorochowsky und J. R. Protass.

(Mit 6 Figuren im Text.)

(Eingegangen am 11. 7. 35.)

Es wurde die Intensität des von Silberjodidsolen gestreuten Lichtes untersucht, bei Konzentrationen der dispersen Phase von  $5-10^{-3}$  m bis  $5-10^{-5}$  m AgJ, und es wurden daraus gewisse Schlüsse über die Stabilität der genannten Sole gezogen. Es wurde der Zusammenhang der Stabilität mit der Konzentration des überschüssigen Ions untersucht; als dieses wurde stets das eine der Ionen des Kristallgitters genommen  $(Ag^+$  bzw.  $J^-$ ). Die Lage des isoelektrischen Punktes der Sole  $(6\cdot 10^{-5}-3\cdot 10^{-6}$  m des überschüssigen Silbers) bzw. die Lagen der Stabilitätsmaxima, welche beiderseits des isoelektrischen Punktes auftreten  $(3-10^{-3}$  bis  $3\cdot 10^{-4}$  m  $Ag^+$  und  $2\cdot 10^{-3}-1\cdot 10^{-3}$  m  $J^-$ ), wurden festgestellt. Ferner wurde der Einfluss von Elektrolyten mit Kationen verschiedener Valenz (dieselben genügten nicht der Regel von Paneth-Fajans) auf die Stabilität von Solen mit überschüssigen Mengen von Jod- oder Silberionen untersucht. Es wurden gleichzeitig die  $\zeta$ -Potentiale gemessen. Das  $Th^{4+}$ -Ion zeigte die Fähigkeit, dem AgJ positive Ladung zu erteilen.

Die gefundenen Tatsachen werden vom Adsorptionsstandpunkt erklärt.

## § 1. Einleitung.

Unter den verschiedenen Objekten, welche in der Kolloidchemie zur wiederholten und systematischen Untersuchung kommen, gebührt den Silberhalogeniden eine besondere Stelle. Silberhalogenide haben in kolloidalen Lösungen gut ausgeprägte kristallinische Struktur, wobei das Kristallgitter aus Ionen, gerade so, wie dasjenige des Chlornatriums, besteht. Als Komponenten, aus welchen Silberhalogenid ausgeschieden wird, erscheinen starke Elektrolyte AgNO3 und KHal, so dass wir hier mit einer reinen Ionenreaktion zwischen Ag<sup>+</sup> und Hal- zu tun haben. Adsorptionserscheinungen, welche auftreten, wenn die Reaktionskomponenten in nichtäquivalenten Mengen genommen werden (AgNO<sub>3</sub> bzw. KHal im Überschuss) oder wenn in der Lösung ein fremder starker Elektrolyt anwesend ist, betreffen ebenfalls Ionen. Darum muss die Erforschung der Eigenschaften der Silberhalogenide besonders viel Auskünfte geben über die Struktur der elektrischen Doppelschicht, über den Zusammenhang zwischen den kristallinischen bzw. den kolloidalen Eigenschaften usw.

Der Kolloidchemie der Silberhalogenide sind mehrere Untersuchungen gewidmet. Unter denselben stehen an erster Stelle die umfangreichen Untersuchungen von LOTTERMOSER und Mitarbeitern, diejenige von den Laboratorien von Fajans bzw. von Kruyt. Wie die genannten, so haben auch andere Forscher eingehend eine der hervorragendsten Eigenschaften der Kolloide, namentlich deren Stabilität, untersucht. Dabei wurden folgende Tatsachen festgestellt. Solen, welche Silberionen im Überschuss enthalten, kommt geringere Stabilität zu als denjenigen, die Halogenionen in Überschuss aufweisen, was man einer geringeren Adsorptionsfähigkeit der Silberionen, verglichen mit derjenigen der Halogenionen, zuzuschreiben pflegt. Wächst der Überschuss der Halogen- bzw. der Silberionen, so gelangt man zu einem gewissen Stabilitätsmaximum. Die einen Verfasser bringen diese Erscheinung mit wachsender Adsorption der überschüssigen Ionen bzw. mit der wachsenden Teilchenladung in Zusammenhang: die anderen schreiben sie einer Verminderung der Löslichkeit des Silberhalogenids zu, bzw. einer Verminderung der Umkristallisierungsgeschwindigkeit der kleineren Kriställchen von AqHal in grössere.

Wir haben die Stabilität von Solen mit verschiedenen Konzentrationen der dispergierten Phase bzw. mit sehr verschiedenen Konzentrationen der überschüssigen Silber- bzw. Halogenionen untersucht. Es wurden insbesondere Sole mit sehr geringen Ionenüberschüssen studiert (10<sup>-4</sup> bis 10<sup>-6</sup> m), was uns die Auffindung eines Stabilitätsminimums ermöglichen musste. Ferner untersuchten wir den Einfluss von Kationen von verschiedener Valenz, wobei wir Ionen wählten, welche der Regel von Paneth-Fajans nicht genügten.

Unter den Silberhalogeniden wählten wir das Jodid, wegen seiner minimalen Löslichkeit, die es zum Studium der Adsorption am geeignetsten erscheinen lässt.

# § 2. Experimentelles.

Als Mass der Stabilität der Sole wurde die Veränderung der relativen mittleren Abmessungen der Teilchen gewählt; die letzteren wurden durch die Intensität des vom Sol gestreuten Lichtes gekennzeichnet, d. h. durch seine Trübheit. Media mit sehr geringen Teilchen gehorchen dem Gesetz von RAYLEIGH, demgemäss die Intensität des gestreuten Lichtes bei gegebener Konzentration der dispersen Phase dem mittleren Volumen der Teilchen proportional und der

kar

Än

Me

So

wä

m

wi di

vierten Potenz der Wellenlänge umgekehrt proportional wächst. Die Teilchen des AgJ-Sols haben zwar ultramikroskopische, aber doch zu grosse Abmessungen, um ins Gebiet der Gültigkeit des Gesetzes von Rayleigh zu fallen; das folgt daraus, dass das von ihnen gestreute Licht weiss erscheint, was auf ein anderes Streuungsgesetz als das Rayleighsche hinweist; es bleibt aber auch hier die Intensität des gestreuten Lichtes eine wachsende Funktion der Teilchenabmessungen<sup>1</sup>).

Das Sol wurde in ein planparalleles Gefäss hineingebracht; mittels eines Martensschen Polarisationsphotometers wurde die Lichtintensität ermittelt, welche senkrecht zum einfallenden Lichtbündel gestreut wurde. Um den Einfluss der Absorption zu vermindern, welche das abgelenkte Licht durch das Medium erleiden konnte, wurde die Messung in unmittelbarer Nachbarschaft von der Vorderwand des Gefässes durchgeführt. Als Vergleichsfläche diente eine berusste Platte von Magnesiumoxyd, die von derselben Lichtquelle wie das obengenannte Gefäss beleuchtet wurde.

Die Sole wurden bei gelber Beleuchtung in besonderen Gläsern mit eingeschliffenen Stopfen hergestellt. Die Mischung der Lösungen geschah in der Weise, dass der überschüssige Elektrolyt im Voraus eingegossen wurde, wonach er bis 15 cm³ mit Wasser verdünnt wurde; der zweite Elektrolyt wurde mittels einer Pipette (5 cm³) im Laufe von 1 5 Sekunden eingegossen; darauf wurde das Sol 30 Sekunden lang geschüttelt. Zur Herstellung der Sole diente dreimal destilliertes Wasser; die letzte Destillation geschah in einem Quarzkühler.

Für eine Zahl typischer Sole wurde die Abhängigkeit der Trübheit von der Lebensdauer des Sols gemessen, und es wurden die Änderungsgeschwindigkeiten der Trübheit  $(dI/d\log t)$  berechnet; dieselben könnten die Kinetik der Abmessungsveränderlichkeit der Solteilchen, d. h. die Stabilität des Sols zahlenmässig charakterisieren. Es zeigte sich, dass bei Solen einer gegebenen Konzentration von AgJ und bei verschiedenen Konzentrationen des überschüssigen Ions die Trübheit im Intervalle der Lebensdauer von 10 bis 60 Minuten in demselben Sinne sich ändert, wie die obengenannte Grösse  $dI/d\log t$ , obgleich hier von einer einfachen Proportionalität keine Rede sein

<sup>1)</sup> Die Theorie weist eine Möglichkeit eines Streuungsmaximums bei noch grösserem Teilchendurchmesser auf, aber so grosse Teilchen kommen in kolloidalen Lösungen überhaupt nicht vor.

Die

zu

von

ute

das

des

es-

els engehe lie les

as

en us

ıt

m

r.

e

kann. Es konnte somit die etwas umständliche Bestimmung der Änderungsgeschwindigkeit der Trübheit des Sols durch eine einzige Messung der letzten ersetzt werden. Da bei geringerer Stabilität die Sole, insbesondere die konzentrierten, recht schnell koagulieren, so wählten wir als Mass der (Un-) Stabilität, die Trübheit eines zehnminutigen Sols. Die Tabellen 1 bis 3 könnten als Beispiel dienen, wieweit die erwähnte Parallelität zwischen der Änderungsgeschwindigkeit der Trübheit und der Grösse der zehnminutigen Trübheit geht.

Tabelle 1.			Tabelle 2.			
Positi	ve Sole A	$dI/d\log t$		Negative $pAg$	Sole $AgJ$ $I_{10}$	$M/400$ . $dI/d\log t$
1.2 3.0	1.00 0.35	0.48 0.23		1.2 3.0	0.57 0.31	0.63 0.055
4.0	0.61	0.37		4.0	0.34	0.060

Tabelle 3. Positive Sole AgJ M/4000.

pAg	$I_{10}$	$dI/d\log t$	
1.2	0.172	0.37	
2.2	0.022	0.14	
4.0	0.047	0.21	

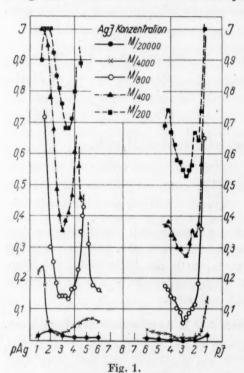
Da die Sole meist nicht ganz zureichend reproduzierbar hergestellt werden konnten, wurden stets drei oder vier Sole gleicher Beschaffenheit hergestellt und es wurde der Mittelwert ihrer Trübheiten berechnet. Bei solcher Versuchsmethodik wurde die Versuchsgenauigkeit bis auf 10 bis 12% gebracht.

# § 3. Die Stabilität der Sole von AgJ in Anwesenheit von Eigenionen.

Es wurde die Stabilität von Solen mit AgJ-Gehalt M/20000, M/4000, M/800, M/400 und M/200 gemessen. Bei geringerer Konzentration von AgJ werden Sole von verschwindend kleiner Trübheit erzielt; wuchs hingegen die Konzentration über M/200, so wurde eine Koagulation in hohem Masse beschleunigt. Die Sole wurden bei Überschuss an Silberionen sowie an Jodionen studiert. Die maximale Konzentration des überschüssigen Elektrolyten betrug  $1^{\circ}10^{-1}$  m; bei grösseren Konzentrationen konnte man eine Lösung der dispergierten Phase mit entsprechender Komplexbildung beobachten. Die kleinstmögliche Ionenkonzentration war  $1^{\circ}10^{-6}$  m für verdünnte, bzw.  $1^{\circ}10^{-4}$  m für konzentrierte Sole. Eine Ausdehnung der Beobachtungen zu noch geringeren Konzentrationen des überschüssigen

Elektrolyten wurde durch die Genauigkeitsgrenze volumetrischer Messungen verhindert.

Die Messungsbefunde werden auf Fig. 1 wiedergegeben. Es sind auf der Abszissenachse die negativen Logarithmen der Konzentrationen des überschüssigen Ions abgetragen; dieselben sind eigentlich Berechnungswerte, welche eine eintretende Adsorption vernachlässigen; sie werden konventionsweise pAg und pJ genannt. Auf der



Ordinatenachse sind die relativen Intensitäten des zerstreuten Lichtes eingetragen; einer Zunahme dieser Grössen entspricht ein Abfall der Stabilität.

V

tı

d

t

ľ

Werden die Trübheiten 5 Stunden nach der Solbereitung gemessen, so sind die Kurven denen der Fig. 1 völlig analog, nur dass sie viel höher liegen.

Wie aus der Fig. 1 ersichtlich, fällt der Punkt der minimalen Stabilität der Sole ins Gebiet des überschüssigen  $Ag^+$ . Wächst die Konzentration der dispersen Phase, so wandert das Stabilitätsminimum (meist von einer momentanen Koagulation gefolgt) von pAg = 5.5 (bei M/4000

AgJ) bis zu pAg=4.25 (bei M/200 AgJ). Dass der Punkt der minimalen Stabilität ins Gebiet überschüssiger Silberionen fällt, steht in vollem Einklang mit den Resultaten elektrokinetischer Versuche von Kruyt und van der Willigen<sup>1</sup>), von Lange und Crane<sup>2</sup>), von Basinski<sup>3</sup>) und von einem von uns<sup>4</sup>), die auch den

KRUYT, H. R. und VAN DER WILLIGEN, P. C., Z. physik. Chem. (A) 139 (1928) 53 bis 63.
 LANGE, E. und CRANE, P. W., Z. physik. Chem. (A) 144 (1929) 225 bis 248.
 BASINSKI, A., Kolloid-Beih. 36 (1932) 257 bis 349.
 GOROCHOWSKY, G. N., J. physic. Chem. 39 (1935) 465 bis 475.

her

ind

ra-

ich

eh-

ler

la-

er-

-9%

ser

b-

en

ol-

nd

1

ie

r-

t

er

P-

t

ļ-

n

isoelektrischen Punkt von AgJ in demselben Gebiet finden. Die Verschiebung des Punktes der minimalen Stabilität bei Konzentrationsänderung der dispersen Phase kann dadurch erklärt werden, dass dabei auch die Menge der aus der Lösung hinausgezogenen überschüssigen Ionen wächst; infolgedessen wird die effektive Konzentration des überschüssigen Ions im Vergleich mit der bei der Bereitung der Lösung genommenen beträchtlich vermindert.

Elektrophoretische Messungen des  $\zeta$ -Potentials, welche nach der ultramikroskopischen Methode durchgeführt wurden¹) zeigten, dass Sole mit gereingeren Konzentrationen von AgJ sich schwerer positiv laden, als konzentrierte; später konnten wir dieses Resultat auch nach der Methode der Grenzewanderung (nach Kruyt) durchaus bestätigen. Entsprechend wird bei wachsender Konzentration der dispersen Phase der isoelektrische Punkt in Richtung des Äquivalenzpunktes verschoben. Für das Sol M/4000 AgJ liegt der isoelektrische Punkt näherungsweise bei  $pAg=4^{\circ}5$ , während bei dem Sol M/400 AgJ wir ihn schon bei  $pAg=5^{\circ}2$  finden. Das stellt eine gewisse Diskrepanz dar zwischen den Ergebnissen der beiden Methoden, der direkten und der indirekten, der Bestimmung des isoelektrischen Punktes.

Entfernt man sich von dem Punkte der minimalen Stabilität, so wächst die letztere, bis sie ein Maximum (minimale Trübheit!) im Gebiete der überschüssigen Silberionen bei pAg=2.5 bis 3.25 erreicht; dasselbe geschieht auch im Gebiete der überschüssigen Jodionen, bei pJ=2.75 bis 3.0 (in Abhängigkeit von der Konzentration von AgJ). Bei grösseren Konzentrationen des Elektrolyten fängt die Stabilität wieder zu fallen an. Die Lage der maximalen Stabilität fällt zusammen mit den Ergebnissen von Basinski²) bzw. von Kruyt und Verwey³). betreffend das Sol M/1000 AgJ sowie mit denen von Schneller³), betreffend das Sol M/1000 AgJ.

Was die Grösse der minimalen Trübheiten in beiden Gebieten betrifft, so scheinen sie eine lineare Funktion der Konzentration der dispersen Phase darzustellen (Fig. 2).

Das Gebiet der minimalen Stabilität scheint einer minimalen Adsorption der Ionen  $Ag^+$  und  $J^-$  bzw. niedrigen Werten des  $\zeta$ -Potentials zu entsprechen. Wenn die Konzentration des überschüssigen Ions wächst, so wächst auch die Adsorption desselben,

GOROCHOWSKY, G., loc. cit.
 BASINSKI, A., loc. cit.
 VERWEY,
 J. W. und Kruyt, H. R., Z. physik. Chem. (A) 167 (1933) 137 bis 148.
 Schneller, H., Kolloid-Z. 71 (1935) 180 bis 184.

sowie die Grösse des  $\zeta$ -Potentials. Die Punkte der maximalen Stabilität entsprechen einer Sättigung der inneren Belegung der elektrischen Doppelschicht durch die Ionen  $Ag^+$  bzw.  $J^-$ . Ein weiteres Anwachsen der Konzentration des überschüssigen Elektrolyten könnte nicht mehr die innere Belegung ändern, dürfte aber wohl zu einer Verdichtung der diffusen Belegung der Doppelschicht durch die Gegenionen  $NO_3^-$  bzw.  $K^+$  führen. Dabei sollte das  $\zeta$ -Potential und infolgedessen auch die Stabilität fallen.

Ve

WE

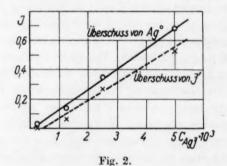
In

fli

m

d

Elektrophoretische Messungen haben in der Tat gezeigt, dass die Wanderungsgeschwindigkeit von den Punkten der minimalen Stabilität ab bis zu denjenigen der maximalen Stabilität zunimmt, was einem Anwachsen des absoluten Wertes des elektrokinetischen Potentials entspricht. Ein weiterer Abfall der Stabilität bei wachsender



Konzentration wird von keinem Abfall der elektrophoretischen Wanderungsgeschwindigkeit begleitet. Der Gedanke liegt nahe, dass dieser Umstand dadurch verursacht wird, dass bei höheren Konzentrationen des Elektrolyten in der Lösung die genannten Geschwindigkeiten der Grösse des  $\zeta$ -Potentials nicht mehr proportional ausfallen. Dafür könnte die Änderung der Dielektrizitätskonstante der Lösung verantwortlich sein, welche wir in der Gleichung von Debye und Hückel als wirklich konstant angenommen haben.

Aus den Fig. 1 und 2 ist ersichtlich, dass die Stabilität aller positiven Sole unter derjenigen der entsprechenden negativen liegt. Diese Erscheinung dürfte nicht nur durch die geringere Adsorptionsfähigkeit der  $Ag^+$ , sondern auch durch die entladende Wirkung der negativ geladenen Glaswände des Gefässes ihre Erklärung finden. Es wird tatsächlich auf den Wänden von Gefässen, die ein positiv geladenes Sol enthalten, eine beträchtliche Fällung von AgJ beobachtet.

# § 4. Die Stabilität der Sole von AgJ in Anwesenheit fremder Ionen.

Stabi.

lektri.

es An-

önnte

einer

h die

l und

s die

tabi-

Was

oten-

nder

en ass

n-

ig-

n.

ng

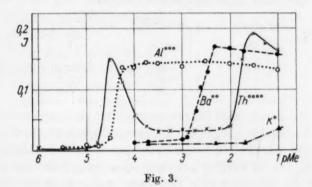
id

er t.

r

S

Von den Kationen wählten wir ein- bzw. zwei-, drei- und vierwertige Ionen, welche der Paneth-Fajansschen Regel nicht gehorchen, d. h. welche mit den Gitterkomponenten keine unlöslichen Verbindungen bilden; es kamen  $K^+$ ,  $Ba^{2+}$ ,  $Al^{3+}$  und  $Th^{4+}$  zur Verwendung. Als Anion diente in allen zugesetzten Elektrolyten  $NO_3^-$ . In dieser Weise wurde kein neues Ion eingeführt und dessen Einfluss auf ein Minimum gebracht. Für diese Versuche wurden Sole mit solchem Gehalt des überschüssigen Eigenions genommen, welcher dem Punkte der maximalen Stabilität entsprach; es würde demgemäss die innere Belegung der elektrischen Doppelschicht völlig gesättigt sein, wenn das Sol "rein" wäre. Der überschüssige Elektrolyt wurde vor der Bildung der dispersen Phase in die Lösung eingeführt.



Auf der Fig. 3 sind die Messungsresultate der Stabilität des Sols M/4000 AgJ angeführt; der entsprechende Überschuss von Jodionen ergab pJ=2.5. Auf der Abszissenachse sind die negativen Logarithmen der Äquivalenzkonzentration des zugesetzten Ions abgetragen (pK, pBa, pAl und pTh), auf der Ordinatenachse die Trübheiten.

Wie aus der Fig. 3 ersichtlich, übt das Kaliumion, in nicht allzu grossen Konzentrationen genommen, keinen Einfluss auf die Stabilität der Sole aus; unterhalb pK=1.5 beginnt ein leichter Abfall der Stabilität. Der letztere wird ebenso wie im Falle reiner Sole mit grosser Konzentration des überschüssigen Eigenions  $(Ag^+$  bzw.  $J^-$ ), von keiner Verminderung der elektrophoretischen Beweglichkeit begleitet (dieselbe wurde nach der Methode der Grenzewanderung ermittelt). Das  $\zeta$ -Potential (berechnet nach den üblichen Gleichungen

von Debye und Hückel, die DK = 81 angenommen) wächst hingegen ganz merklich (Tabelle 4).

Tabelle 4. M/4000 AgJ bei pJ = 2.5.

pK	ζ (mV)	I
3.6	- 80	0.011
2.9	- 70	0.011
1.2	-100	0.016

Das Bariumion wirkt in kleinen Konzentrationen auf die Stabilität des Sols so gut wie gar nicht; bei pBa=3.0 beginnt ein steiler Abfall der Stabilität (die Trübheit wächst); bei pBa=2.75 wird der Minimalwert erreicht, wonach bis zu pBa=1.0 die Stabilität wieder, aber sehr langsam, wächst. Die Werte des  $\zeta$ -Potentials für mehrere typische Sole sind in Tabelle 5 eingetragen.

Tabelle 5.  $M/4000 \ AgJ$ , bei pJ = 2.5.

pBa	ζ (mV)	I	
00	-80	0.011	
3.0	-45	0.018	
1.2	-30	0.162	

Wie ersichtlich, wird der Stabilitätsabfall von einem entsprechenden  $\zeta$ -Potentialabfall begleitet. In diesem Falle tritt ebenso wie bei Anwesenheit von Th-Ionen merkwürdigerweise die Veränderung der Trübheitsgrösse im Vergleich zu derjenigen des  $\zeta$ -Potentials in eigenartiger Weise verspätet auf. Es kommt z. B. ein beträchtlicher  $\zeta$ -Potentialabfall schon bei pBa=30 zum Vorschein, während die Stabilität erst bei pBa=29 einen merklichen Abfall aufzuweisen beginnt.

Das Aluminiumion erniedrigt sehr ausgeprägt die Stabilität des Sols von pAl=45 ab; im Gebiete von pAl=40 bis pAl=20 wird eine merkliche Koagulation beobachtet. Das  $\zeta$ -Potential ist in diesem Gebiet von Null wenig verschieden; die Messung desselben wird in hohem Masse durch die geringe Koagulation erschwert.

Das Thoriumion ergibt zwei gut ausgesprochene Stabilitätsminima bei pTh=4.5 bzw. bei pTh=1.5. Das erstere ist, wie im Falle von  $Ba^{2+}$  und  $Al^{3+}$ , von einer beträchtlichen Erniedrigung des  $\zeta$ -Potentials begleitet. Bei weiterem Anwachsen der Konzentration des  $Th^{4+}$  wird eine Umladung des negativen Sols in ein positives beobachtet; die Grösse des positiven  $\zeta$ -Potentials wächst entsprechend

bis auf das Gebiet des zweiten Minimums der Stabilität. Die entsprechenden Werte sind in der Tabelle 6 gegeben.

Tabelle 6. M/4000 AgJ, bei  $pJ = 2^{\circ}5$ .

pTh	ζ (mV)	I	
6.0	-80	0.004	
4.75	+20	0.013	
4.25	+50	0.115	
3.0	+85	0.034	
1.75	+75	0.148	

Es sei darauf hingewiesen, dass der Wert, den das  $\zeta$ -Potential bei pTh=4.75 annimmt, dafür spricht, dass auch hier, wie im Falle des  $Ba^{2+}$ , eine gewisse Verspätung der Stabilitätsänderung gegen die des  $\zeta$ -Potentials eintritt. Bei hoher  $Th^{4+}$ -Konzentration (pTh=1.75) fällt der berechnete Wert des  $\zeta$ -Potentials ebenso wie in den übrigen

Solen grosser Elektrolytkonzentration zu hoch aus.

egen

tabieiler

der

eder,

rere

ien-

bei

der

en-

: 5-

die

sen

des

ird

em

in

ts-

im

les

on

res

nd

Auf der Fig. 4 sind die Stabilitätskurven des Sols M/400~AgJ bei überschüssigen Jodionen (pJ=2.75) gegeben. Das allgemeine Aussehen der Kurven ist demnach denen des Sols M/4000~AgJ durchaus ähnlich.

Für eine Erklärung der vorhergehenden Resultate wollen wir aus einer bestimmten Vorstellung über

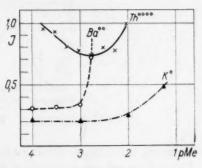


Fig. 4.

die Wirkung ausgehen, welche auf das Sol ein hypothetischer Elektrolyt von unbegrenzt möglicher ionaler Konzentration ausübt. Die einzige Bedingung, welcher der genannte Elektrolyt genügen muss, besteht darin, dass dessen Kation beträchtlich höhere Adsorptionsfähigkeit als das Anion aufweisen muss.

Betrachten wir den Fall, welcher demjenigen der Fig. 3 und 4 entspricht. Hier handelt es sich um den Einfluss unseres hypothetischen Elektrolyten auf das Sol AgJ, welches überschüssige Jodionen in einer Menge enthält, die dem Stabilitätsmaximum des reinen Sols entspricht. Wenn die ionale Konzentration eines solchen Elektrolyten gleich Null ist, so haben wir es mit einem "reinen" Sol zu tun, in welchem die innere Belegung der Doppelschicht jedes Teilchens mit  $J^-$  gesättigt ist. Die diffuse Belegung besteht aus  $K^+$ .

Bereiten wir jetzt ein eben solches Sol, welches aber kleine ionale Konzentrationen des hypothetischen Elektrolyten enthielte. Dann besteht die diffuse Schicht nicht nur aus  $K^+$ , sondern auch aus einer gewissen Menge von Kationen des zugesetzten Elektrolyten. Die Folge davon wird sein, dass eine Verdichtung der diffusen Schicht bzw. eine Verminderung des Teilchenpotentials stattfindet, was wieder die Fähigkeit der Teilchen vermindert, einer Aggregation zu widerstehen. Wächst die Konzentration des hypothetischen Elektrolyten, so kommen wir zu einer so hohen Verdichtung der diffusen Schicht, dass das Potential gleich Null wird; dabei ist die Menge der vom AgJ adsorbierten Ionen naturgemäss minimal.

Bei weiterem Anwachsen der ionalen Konzentration kommt dem Kation des Elektrolyten die Fähigkeit zu, auch seinerseits die innere

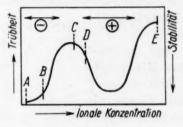


Fig. 5.

Belegung der Doppelschicht zu bilden, was dem Teilchen eine positive Ladung erteilt. Entsprechend wächst die Stabilität. Bei einer gewissen ionalen Konzentration wird ein Optimum der Stabilität erreicht. Dann ist die innere Belegung der Doppelschicht mit den Kationen des hypothetischen Elektrolyten gesättigt. Bei noch höheren Konzentrationen des Elektrolyten werden die Kationen nicht weiter adsorbiert, und der Einfluss des Elektrolyten führt nur zu einer wachsenden Verdichtung der diffusen Schicht, welche aus Anionen des Elektrolyten besteht. Es wird demgemäss das Potential der Teilchen vermindert bzw. die Stabilität fällt.

Dieser allgemeine Mechanismus ist auf der Fig. 5 graphisch dargestellt.

Die Wirkung von  $KNO_3$  entspricht auf der Figur dem Kurvenbezirk AB, diejenige von  $Ba(NO_3)_2$  dem Abschnitt ABC;  $Al(NO_3)_3$  bzw.  $Th(NO_3)_4$  werden durch den Abschnitt ABCD bzw. entsprechend durch die ganze Kurve ABCDE dargestellt.

Gehen wir jetzt zur Diskussion der Messungsresultate der Stabilität des Sols M/4000 AgJ, das mit überschüssigen Silberionen (pAq=3.0) und in Anwesenheit derselben Elektrolyte bereitet ist, über. Die Resultate finden sich in der Fig. 6, wo die Koordinaten dieselben sind wie auf der Fig. 3.

Es ist ersichtlich, dass die Trübheitskurven für die drei Ionen  $K^+$ ,  $Ba^{2+}$  und  $Th^{4+}$  sehr ähnlich ausfallen. Bei höheren Konzentrationen des Elektrolyten verlieren alle entsprechenden Sole ihre Stabilität; bei noch weiterem Ansteigen der Konzentration koagulieren sie. Die Stabilität eines Sols ist um so grösser, je höher die Wertigkeit des beigemengten Kations ist.

Im Fall positiv geladener Sole besteht der Einfluss der Fremdelektrolyte hauptsächlich in einer Wirkung der NO<sub>3</sub>-Anionen. Die-

selben verdichten die diffuse Schicht und erniedrigen dabei die Stabilität des Sols. Die verdichtende Wirkung wird aber von den in der Lösung anwesenden Kationen (den sogenannten Nebenionen) geschwächt, welche die Anionen aus der diffusen Schicht in die Lösung zurück herausziehen (Entlastungseffekt). Dieser Effekt wächst mit der Wertigkeit des Kations.

male

ann

einer

Die

nicht

eder

der-

ten.

icht.

vom

dem

nere

tive

ge-

er-

den

och

cht

zu

aus

tial

ar-

en-

 $(2)_3$ 

end

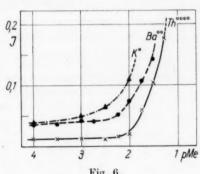


Fig. 6.

Wir untersuchten endlich, wie die Trübheit eines AgJ-Sols bei gegebener Konzentration eines der erwähnten Fremdelektrolyten (dieselben durften noch keine Koagulation verursachen) von der überschüssigen Konzentration von  $Ag^+$ bzw. von  $J^-$  abhängt. Die dabei gefundenen Trübheitskurven waren denjenigen der "reinen" AgJ-Solen recht ähnlich, wobei auch die Punkte der maximalen Stabilität der einen und der anderen Sole in ein nahes Gebiet fielen. Es sei noch darauf hingewiesen, dass eine Kurve dieser Art selbst für ein Sol erzielt wurde, welches durch Th 4+ positiv geladen war und  $J^-$  in verschiedenen Mengen enthielt.

### § 5. Schlussbemerkungen.

Der Einfluss der überschüssigen Eigenionen bzw. derjenige der Fremdionen auf die Stabilität der AgJ-Sole erweist eine weitgehende Ahnlichkeit. Dieser Umstand scheint unsere Annahme zu rechtfertigen, welche in dieser Arbeit gegeben wird und die Stabilitätserscheinungen auf reine Adsorption zurückführt; zwar wird dieselbe nicht völlig durch die elektrophoretischen Messungen bestätigt. Setzen wir einen anderen Mechanismus voraus: es sollen die Solteilchen, welche das eine der Ionen des AgJ-Gitters in Überschuss enthalten, Abmessungen haben, welche nur von der Löslichkeit des AgJ bzw. von der Umkristallisationsgeschwindigkeit abhängen. Wie könnten dann  $Ba(NO_3)_2$ ,  $Al(NO_3)_3$  und andere Elektrolyte solche Wirkungen hervorrufen, welche denen von AgNO3 oder KJ ähnlich sind bzw. sogar von beträchtlich höherer Intensität ausfallen, wie es im Falle von Th(NO<sub>3</sub>)<sub>4</sub> der Fall ist? Der Einfluss der Löslichkeit von AgJ auf die Teilchengrösse ist offenbar nicht zu leugnen; bei grossen  $Ag^+$ - bzw.  $J^-$ -Überschüssen muss der betreffende Einfluss sehr gross werden. Was aber die in dieser Arbeit beschriebenen Sole betrifft, so scheinen uns unsere experimentellen Befunde einen genügenden Grund für die Behauptung zu bilden, dass das Verhalten der Sole in erster Linie durch Adsorptionserscheinungen bestimmt wird.

Leningrad, Optisches Institut, Photographische Abteilung. Juli 1935.

# Über die Löslichkeit der Alkalichloride, insbesondere ihre gegenseitige Löslichkeitsbeeinflussung in flüssigem Ammoniak.

Von

#### G. Patscheke und C. Tanne.

(Aus dem Technisch-chemischen Institut der Technischen Hochschule Berlin.)

(Dissertation; Fakultät für Allg. Wissenschaften.)

(Mit 16 Figuren im Text.)

(Eingegangen am 26. 8. 35.)

- Die Löslichkeit der Chloride des Kaliums, Natriums und Ammoniums und ihre gegenseitige Beeinflussung wurde untersucht.
- 2. Das System  $KCl-NH_3$  wurde im Temperaturbereich von etwa  $-80^{\circ}$  C bis  $+50^{\circ}$  C untersucht. Die Löslichkeit des Kaliumchlorids in flüssigem Ammoniak ist sehr gering und nimmt mit steigender Temperatur ab; ihr Maximum liegt im Doppelbodenkörperpunkt bei  $-77^{\circ}2^{\circ}$  C mit 0°252%. Kristallverbindungen mit Ammoniak treten nicht auf. KCl kristallisiert aus  $NH_3$  in Würfeln, die bei schneller Kristallisation grösser ausgebildet werden als bei langsamer Ausscheidung.
- 3. Die Löslichkeit des Kaliumehlorids in flüssigem Ammoniak wird durch Zusätze von Kochsalz oder Ammoniumehlorid bis fast auf das Doppelte erhöht.
- 4. Die Löslichkeiten des Systems  $NaCl-NH_4\,Cl-NH_3$  wurden isotherm für  $-10^{\circ}\,\mathrm{C}$ ,  $\pm\,0^{\circ}\,\mathrm{C}$  und  $+\,10^{\circ}\,\mathrm{C}$  und für vier konstante Mischungsverhältnisse auch über ein grösseres Temperaturgebiet untersucht. Die Löslichkeit des Kochsalzes wird durch Zusätze von Ammonchlorid innerhalb eines weiten Bereiches zunächst vergrössert und erst bei sehr hohen Zusätzen erniedrigt; das Ammonchlorid dagegen wird durch Kochsalzzusätze nur wenig schlechter löslich. Diese Löslichkeitserhöhungen lassen sich mit Hilfe der elektrostatischen Theorie nach Schärer erklären.
- 5. Die von Kendall und Davidson angegebene Löslichkeitskurve des Ammonchlorids wurde nachgeprüft.
- 6. Das Natriumchlorid kristallisiert aus Lösungen in flüssigem Ammoniak, die Kalium- oder Ammoniumchlorid enthalten, in Form von Oktaedern, die durch Würfelflächen abgestumpft werden.
- 7. Auf die praktischen Verwendungsmöglichkeiten der vorliegenden Untersuchungen werden einige Hinweise gegeben.

Voraussetzung für die Durchführung und Untersuchung von Reaktionen in flüssigem Ammoniak ist, wie bei jedem Lösungsmittel, die genaue Kenntnis der Löslichkeiten der einzelnen Stoffe<sup>1</sup>). Von den in der Literatur bisher gemachten Angaben seien, von qualitativen Berichten abgesehen, hier genannt die Arbeiten von Kurilow<sup>2</sup>). RUFF<sup>3</sup>), KENDALL und DAVIDSON<sup>4</sup>), JÄNECKE<sup>5</sup>), SCHERER<sup>6</sup>). Untersuchungen bei einzelnen bestimmten Temperaturen liegen ferner für verschiedene Salze vor von Hunt?), LINHARD und STEPHAN8). SCHATTENSTEIN und Monossohn<sup>9</sup>), Johnson und Krumboltz<sup>10</sup>). Die Untersuchung des gesamten Löslichkeitsgebietes des Systems NaCl-NH<sub>3</sub> wurde von Patscheke<sup>11</sup>) durchgeführt. Auf Grund der Kenntnis der Löslichkeitsverhältnisse einer ganzen Reihe von Stoffen in flüssigem Ammoniak macht nun seine technische Verwendung mehr und mehr Fortschritte. Als Beispiele seien hier genannt die Reinigung von Steinsalz 12) auf Grund der Tatsache, dass die Verunreinigungen in Ammoniak unlöslich sind, sowie die Darstellung, von Kaliumearbamat aus Ammonearbamat und Kaliumehlorid durch flüssiges Ammoniak 13). Über neue Wege der industriellen Ausnutzung von flüssigem Ammoniak bei den verschiedensten chemischen Prozessen berichten G. I. Woimilowitsch, B. B. Wassiljew und M. A. Portnow<sup>14</sup>). Einen Überblick über die Arbeiten mit flüssigem Ammoniak im Jahre 1933 gibt G. W. WATT<sup>15</sup>).

Von den Alkalichloriden sind, wie oben erwähnt, die Löslichkeitsverhältnisse von Kochsalz (Patscheke) und von Ammonchlorid (Kendall und Davidson) untersucht und festgestellt worden. Ausführliche Angaben über die Löslichkeit des Kaliumchlorids sollen im folgenden mitgeteilt werden. Nachdem sodann die drei binären Systeme  $NaCl-NH_3$ ,  $KCl-NH_3$ ,  $NH_4Cl-NH_3$  festgelegt sind, ist

<sup>1)</sup> Betr. Literatur über flüssiges Ammoniak und andere anorganische Lösungsmittel sei hier auf die Zusammenstellung in der Arbeit von Patscheke (Z. physik. Chem. (A) 163 (1932) 340/41) verwiesen. 2) Kurilow, Z. physik, Chem. 25 (1898) 107. 3) Ruff, O., Ber. dtsch. chem. Ges. 39 (1906) 828. Z. anorg. allg. Chem. 70 (1911) 51. 4) Kendall und Davidson, J. Amer. chem. Soc. 42 5) JÄNECKE, Z. Elektrochem. 35 (1929) 716; 36 (1930) 645. (1920) 1141. 6) Scherer, J. Amer. chem. Soc. 53 (1931) 3694. 7) Hunt, J. Amer. chem. Soc. 54 (1932) 3509. 8) LINHARD und STEPHAN, Z. physik. Chem. (A) 163 (1933) 185. 9) SCHATTENSTEIN und Monossohn, Z. anorg. allg. Chem. 207 10) JOHNSON, W. C. und KRUMBOLTZ, O. F., Z. physik. Chem. (A) (1932) 204. 167 (1933) 249. 11) PATSCHEKE, Z. physik. Chem. (A) 163 (1932) 340. GARASU KABUSHIKI KAISHA: F. P. 757080 (Japan). 13) I. G. Farbenindustrie A.-G. DRP 600485. 14) Woimilowitsch, G. I., Wassiljew, B. B. und Port-Now, M. A., J. chem. Ind. Nr. 9 (1934) 43 bis 45 (russ.: Shurnal chiemitscheskoi Promyschlennosti). 15) WATT, G. W., J. chem. Educat. 11 (1934) 339 bis 343.

es notwendig, im Hinblick auf eine erweiterte Anwendung in der industriellen Praxis zu ermitteln, ob und in welcher Weise eine gegenseitige Beeinflussung der Löslichkeiten bei gleichzeitiger Gegenwart mehrerer Salze auftritt. Dies zu untersuchen war die Hauptaufgabe der vorliegenden Arbeit.

### System KCl-NH<sub>3</sub>.

Für das System  $KCl-NH_3$  sind bisher nur drei quantitative Angaben bekannt geworden, aus drei verschiedenen Quellen stammend und nach verschiedenen Verfahren ermittelt. LINHARD und STEPHAN

geben eine Löslichkeit von 0.132 % KCl in NH3 bei ±0.0° C an, Hunt eine solche von 0.04 % KCl bei  $+25^{\circ}$  C und Johnson und Krumboltz konnten bei -33'9° C 0'213 % KCl in flüssigem Ammoniak in Lösung bringen. Zum Zwecke einer systematischen Untersuchung im Temperaturbereich von etwa -80° C bis +50° C wurde von den drei üblichen und in der Literatur<sup>1</sup>) beschriebenen Verfahren der Löslichkeitsbestimmung die Arbeitsweise gewählt, nach der in widerstandsfähigen Glaskölbehen bestimmte Gemische von KCl und  $NH_3$  eingeschmolzen und die Temperaturen ermittelt werden, bei denen vollständige Lösung eintritt. Es wurden Glaskölbehen von etwa 11 bis 12 cm3 Inhalt und 15 bis 2 mm Wandstärke verwendet. Das Kaliumchlorid (Schering-Kahlbaum "Zur Analyse")

m

ľ-

ir

IS

n

3



Fig. 1. Schutzvorrichtung gegen Feuchtigkeitsaufnahme.

wurde vorerst feinst gepulvert und gut getrocknet. Das Ammoniak wurde einer Bombe gasförmig entnommen, mittels festen Kaliumhydroxyds getrocknet und bei etwa  $-70^{\circ}$  C kondensiert. Die Kölbehen waren während dieses Prozesses sowie während des darauffolgenden Zuschmelzens durch einen eigens hierzu gebauten, mit Chlorcalcium gefüllten Aufsatz gegen das Eindringen von Wasserdampf aus der Luft geschützt (Fig. 1). Der Gefässinhalt liess sich durch Wägung genau ermitteln. Der an der Lösung nicht beteiligte, dampfförmige Anteil des Ammoniaks, aus Dampfvolumen, Temperatur und Dampfspannung berechnet, war kleiner als 0'4% der gesamten Ammoniakmenge. Die Sättigungstemperaturen wurden zwischen  $-80^{\circ}$  C und

<sup>1)</sup> PATSCHEKE, Z. physik. Chem. (A) 163 (1932) 342.

 $-15^{\circ}$  C mit geeichten Pentanthermometern, oberhalb von  $-15^{\circ}$  C mit geeichten Quecksilberthermometern bestimmt. Als Wärme- bzw. Kältebad diente ein doppelwandiges Gefäss mit Alkohol. Durch Zu-

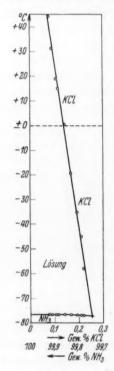


Fig. 2. Löslichkeitskurve von KCl in  $NH_3$ .

gabe von fester Kohlensäure in grossen bis kleinsten Mengen konnten die Temperaturen beliebig eingestellt, konstant gehalten oder verändert werden. Während der Messungen wurden die Kölbchen beständig von Hand geschüttelt, Die Temperaturveränderungen konnten nur äusserst langsam (etwa 1/2° in 30 Minuten) vorgenommen werden, besonders in der Nähe des zunächst einmal roh bestimmten Lösungspunktes. da die Lösungsgeschwindigkeit von KCl in NH<sub>3</sub> sehr klein ist. Das Salz musste hierzu in sehr feinkristalliner Form vorliegen. Dies wurde dadurch erreicht, dass der Bodenkörper (KCI) zunächst durch maschinelles Schütteln bei tiefer Temperatur in Lösung gebracht wurde; durch darauffolgendes schnelles Erwärmen konnte er in der erwünschten Feinheit erhalten werden. Zu dieser Wiederausscheidung des Bodenkörpers war stets ein sehr starkes Überhitzen (20° bis 30°) erforderlich. Nach Auflösung von KCl wurde durch Abkühlen unter -77'0° C festes Ammoniak ausgeschieden und auch dessen Lösungstemperatur bestimmt.

0

Die Messergebnisse sind in Tabelle 1 zusammengestellt und in Fig. 2 graphisch dargestellt.

Tabelle 1. Löslichkeit von Kaliumchlorid in flüssigem Ammoniak.

$ \begin{array}{c} \text{Gewichtsproz.} \\ \textbf{\textit{K}} Cl \end{array}$	Bodenkörper	Lösungstemp. <sup>o</sup> C	Boden- körper	Lösungstemp. <sup>o</sup> C
0.078	KCl	+44.5	$NH_3$	-76.6
0.088	KCl	+31.5	$NH_3$	-76.6
0.102	KCl	+18.9	$NH_3$	-76.6
0.112	KCl	+15.0	$NH_3$	-76.6
0.141	KCl	- 0.6	$NH_3$	-76.6
0.167	KCl	-19.4	$NH_3$	-76.7
0.193	KCl	-35.2	$NH_3$	<b>76.8</b>
0.509	KCl	$-45^{\circ}0$	$NH_3$	-76.9
0.519	KCl	-57.9	$NH_3$	-77.0
0.2521	$KCl+NH_3$	-77.2	$NH_3$	- Approx

<sup>1)</sup> Schnittpunkt (Doppelbodenkörper), interpoliert.

Die ermittelten Punkte der Sättigungstemperaturen, die gut reproduzierbar waren ( $\pm 0.2^{\circ}$  bis  $0.3^{\circ}$ ), liegen sehr genau auf einer Geraden, die bei 0.135% KCl die  $0^{\circ}$  C-Linie schneidet und damit den von Linhard und Stephan ermittelten Wert bestätigt. Es gelang dagegen bei  $+25^{\circ}$  C mehr als das Doppelte der von Hunt angegebenen Menge zu lösen, während die Auflösung der von Johnson und Krumboltz angegebenen KCl-Menge erst bei wesentlich tieferer Temperatur möglich war.

Die Löslichkeit des Kaliumchlorids in flüssigem Ammoniak ist eine sehr geringe und nimmt mit steigender Temperatur ab; KCl hat



° C

ZW.

Zu-

bis

be-

er-

len

elt.

ur

orles es,  $H_3$  hr de

1.

e

-

ig. 3. KCl-Kristalle durch Abschrecken ausgeschieden. Vergrösserung 27 fach.

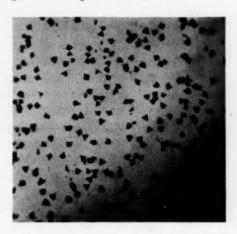


Fig. 4. KCl-Kristalle, durch langsame Ausscheidung erhalten. Vergrösserung 27fach.

in  $NH_3$  also eine positive Lösungswärme. Das Maximum der Löslichkeit liegt im Doppelbodenkörperpunkt bei  $-77^{\circ}2^{\circ}$  C mit 0°2525 % KCl. Der Verlauf der Kurve bestätigt die Beobachtung, dass das Kaliumchlorid im Gegensatz zu den beiden anderen Alkalichloriden, NaCl und  $NH_4Cl$ , keine Kristallverbindung mit dem Ammoniak eingeht.

Von den Kristallgebilden, die bei der Kristallisation von Kaliumchlorid aus flüssigem Ammoniak entstehen, wurden durch die Glaswand des Kölbehens hindurch die Mikroaufnahmen (Fig. 3 und 4) bei gewöhnlicher Temperatur gemacht. Es zeigen in 27 facher Vergrösserung Fig. 3 Kaliumchloridkristalle, die bei plötzlichem Abschrecken, d. h. also Erwärmen, aus flüssigem Ammoniak ausgeschieden werden, während Fig. 4 die Kristallformen erkennen lässt, die bei

ni

A

te

al

S

langsamer Erwärmung im Laufe mehrerer Stunden entstehen. Es handelt sich in beiden Fällen um dasselbe Kölbehen mit einer KCl-Konzentration von 0'209%. Die Identität der roh betrachtet sehr verschiedenen Erscheinungsformen des Kaliumchlorids wurde durch Vergleich ihrer übereinstimmenden Lösungstemperaturen bewiesen. Bei genauer Betrachtung unter stärkerer Vergrösserung sind auch die Kriställchen in Fig. 4 als kubisch zu erkennen; die eigenartigen Spitzen entstehen durch treppenförmigen Aufbau. Die Kriställchen haften fest an der Wand des Kölbchens. Auch in Fig. 3 haben Unebenheiten des Glases keimbildend gewirkt und die sonst dem kubischen System fremden Nadeln sind durch schnelles Wachsen ins Innere des Kölbchens entstanden, jedoch durch Umschütteln vor der Aufnahme abgebrochen und in die festgehaltene Lage gebracht worden. Die im allgemeinen nicht übliche Erscheinung, dass schnell ausgeschiedene Kristalle gross ausgebildet sind, findet wohl ihre Erklärung darin, dass in diesem Falle das Temperaturgebiet der Keimbildung sehr schnell durchschritten wurde, so dass nur wenige Keime sich bilden konnten, die dann zur Ausbildung grosser Kristalle führen mussten, während bei langsamer Erwärmung die Lösung lange im Keimbildungsbereich verweilte und die in grosser Zahl gebildeten Keime bei der relativ geringen Salzmenge nur kleine Kriställchen ergeben konnten.

### Löslichkeitsbeeinflussungen.

## 1. Die Systeme $KCl-NaCl-NH_3$ und $KCl-NH_4Cl-NH_3$ .

Da bei chemischen Umsetzungen in der Regel mehrere Salze beteiligt sind, so ist es für die Beurteilung des Reaktionsablaufes und die eventuelle Berechnung der Ausbeuten notwendig zu wissen, wie die bekannte Löslichkeit des einen Salzes durch Zugabe eines anderen verändert wird. Im folgenden sollen nun diese Untersuchungen beschrieben werden, die an den ternären Systemen ausgeführt wurden, welche man aus Ammoniak und den Alkalichloriden zu bilden vermag:  $KCl-NaCl-NH_3$ ,  $KCl-NH_4Cl-NH_3$ ,  $NaCl-NH_4Cl-NH_3$ .

Es wurde zunächst die Veränderung studiert, die die Löslichkeit des Kaliumchlorids erleidet bei Zusatz wachsender Mengen von Kochsalz oder Ammonchlorid. Die Untersuchungen wurden nach derselben Methode vorgenommen, wie sie für die Ermittlung der Löslichkeitskurve des reinen Kaliumchlorids in Ammoniak oben beschrieben worden ist. Die Salzpaare wurden in konstanten Mischungsverhält-

Es

CI-

hr

ch

n.

ch

en

en

n-

)i-

ns

er

ıt

11

r-

1-

e

n

n

n

n

nissen KCl: NaCl bzw. KCl: NH<sub>4</sub>Cl mit der berechneten Menge Ammoniak zusammen im Kölbchen eingeschmolzen und die Lösungstemperaturen der verschiedenen Bodenkörper bestimmt. Die Auswahl der zur Untersuchung gelangenden Salzmengen geschah jeweils an Hand einer graphischen Darstellung der Lösungskurven der reinen Salze in einem gemeinsamen Koordinatensystem. Diese Darstellungsweise hat sich für die Veranschaulichung solcher ternärer Systeme als sehr geeignet erwiesen und wird im folgenden öfters Verwendung finden. Alle Einwaagen mit einem konstanten Mischungsverhältnis der beiden Salze (z. B. KCl und NaCl) können durch je einen Punkt der Abszissenachse dargestellt werden, wenn man in Richtung der Abszissenachse sowohl den Prozentgehalt des einen wie des anderen Salzes aufträgt in Massstäben, die dem konstanten Mischungsverhältnis der beiden Salze umgekehrt proportional sind. Als Ordinaten werden die Lösungstemperaturen eingetragen. Um eine bequeme Vergleichsmöglichkeit von Lösungskurven verschiedener Mischungsverhältnisse zu erhalten, wählt man den Massstab für die Konzentration des einen Salzes (z. B. KCl im System KCl-NaCl-NH<sub>3</sub> bzw. KCl-NH<sub>4</sub>Cl-NH<sub>3</sub>) für alle untersuchten Mischungsverhältnisse zweckmässig konstant. Mit Hilfe dieser Kurvenbilder wurden die Salzmengen so gewählt, dass die Lösungstemperaturen der jeweiligen Bodenkörper möglichst weit auseinander lagen. Auf diese Weise wurden im System KCl-NaCl-NH<sub>3</sub> und KCl-NH<sub>4</sub>Cl-NH<sub>3</sub> für ein grösseres Temperaturgebiet zwei konstante Mischungsverhältnisse untersucht; die veränderten Lösungstemperaturen des Kaliumchlorids sind in Tabelle 2 und den Fig. 5 und 6 eingetragen.

Es stellen die punktierten Linien die Löslichkeitskurven der reinen Salze KCl, NaCl,  $NH_4Cl$ , eingetragen in dem vergleichbaren Massstab 3:100 bzw. 4:100, der angewendeten Mischungsverhältnisse dar. Die ausgezogenen Linien sind die Löslichkeitskurven der ternären Systeme. Man erkennt aus ihnen die Ausscheidungsgebiete der verschiedenen Bodenkörper NaCl, KCl,  $NaCl \cdot 5$   $NH_3$  und  $NH_4Cl \cdot 3$   $NH_3$  und die Veränderung der Löslichkeit des Kaliumchlorids.

Es zeigte sich, dass Zusätze von NaCl bzw.  $NH_4Cl$  eine Parallelverschiebung der KCl-Kurve ergeben, die um so stärker ist, je grösser die relative Menge der Zusätze ist. Zwar bleibt auch dann die Löslichkeit des Kaliumchlorids noch sehr klein, doch ist die relative Erhöhung ganz wesentlich; sie beträgt beispielsweise bei  $\pm 0^{\circ}$  C beim Zusatz von NaCl im Verhältnis 4:100 18%, im Verhältnis 3:100

Tabelle 2.

Ve de K

di

G

Tabelle 2.			
Gewichtsproz	Gewichtsproz.	Gewichtsproz.	Lösungstemp.
KCl	NaCl	$NH_4Cl$	von KCl in ° C
Mischung	gsverhältnis: KCl: N	aCl = 4:100 = K	Cl: NH <sub>4</sub> Cl.
0.130	3.25	-	+21.4
0.156	3.88		+ 6.3
0.191	4.76	-	-17.1
0.154		3.82	+17.4
0.182	_	4.23	+ 1.4
0.221		5.20	-27.3
	gsverhältnis: KCl: N		
0.176	5'84		+15.5
0.192	6.67		+ 3.1
0.227	7.56		-15.1
0.179	. 00	5.96	+43.0
0.504		6.83	+27.1
0.529		8.67	- 8.4
			0.1
+40		00	6
11		+40	
Ni lan			
+30 - 1		+30 - Wac	7
111:		1 11	KCI
+20		+20-	l'ince
111			1.4
+ 10 - \\ KCZ	I	+10	11.
141	1		114
±0 + 110		±0	Gew. % KCZ
0,1 \ 0,2	0,3 0,4 Gew. % KCI	0,1	0,3 0,3
-10-		11	
-10 - Lösung A	Cl	-10 Losun	1 100
11:			1-1
-20	II	-20	
Ut		/	1
-30	KCI	-30	KCT
/ /	-	/NaCl	5NH.
-40 - NaCI.5NH3	1	-40 / / /	1 / 1
/	1		NH4 CZ-3NH3
-50-/	NH M SNU	-50-/	1
	NH4 CZ-3NH3		V
-60	-	-60 /	
-70		-70	
11/11/1		-10	
0 25 50	7,5 10,0 12,5	0 5	10 15
Gew. % NaCl	7,5 10,0 12,5 1. bzm. NH4 Cl — >	Gew.	% NaCl bzw. NHaCl ->
	. 5.		ig. 6.
T 1g	. 0.	F	ig. o.

Fig. 5. Löslichkeitsbeeinflussung von KCl durch Zusätze von NaCl bzw.  $NH_4Cl$ .  $KCl:NaCl=4:100=KCl:NH_4Cl$ . Es ist I: Löslichkeitskurve von NaCl. II: Löslichkeitskurve von  $NaCl\cdot 5$   $NH_3$ . III: Löslichkeitskurve von  $NH_4Cl\cdot 3$   $NH_3$ . V: Löslichkeitskurve von KCl.

Fig. 6. Löslichkeitsbeeinflussung von KCl durch Zusätze von NaCl bzw.  $NH_4Cl$ .  $KCl: NaCl = 3:100 = KCl: NH_4Cl$ . Bedeutung von I, II, III, V siehe Fig. 5.

43% und beim Zusatz von  $NH_4Cl$  im Verhältnis  $4:100\ 29\%$  und im Verhältnis  $3:100\ sogar\ 79\%$ . Die Löslichkeiten des Kochsalzes und des Ammonchlorids werden durch den geringfügigen Zusatz von Kaliumchlorid überhaupt nicht verändert, wie die Nachprüfung an einigen Versuchskölbeha ergab.

Experimentelle Schwierigkeiten traten bei der Untersuchung des Systems  $KCl-NH_4Cl-NH_3$  dadurch auf, dass der Zusatz von  $NH_4Cl$  die Lösung besonders bei tieferen Temperaturen sehr zähflüssig macht.

Die Auflösung des zwar feinstgepulverten, im Gegensatz zu dem aus Ammoniak gefällten Kaliumchlorid aber noch immer grobkörnigen Salzes ist dann bei höheren Konzentrationen sehr erschwert. Zur Überwindung dieses Übelstandes wurde eine kleine Abänderung des Kölbchens vorgenommen, wie sie Fig. 7 zeigt. In Kölbchen A wurde das Kaliumchlorid eingefüllt und Ammoniak darauf kondensiert, während das Ammonchlorid in dem Anhang B untergebracht war. Es gelang nun leicht, durch Schütteln bei sehr tiefer Temperatur das Kaliumchlorid in Lösung zu bringen. Hierauf wurde auch das Ammonchlorid in Lösung gebracht und dann durch schnelles Erwärmen das Kaliumchlorid sehr feinkristallin ausgeschieden. Sodann konnten die Lösungstemperaturen leicht bestimmt werden.

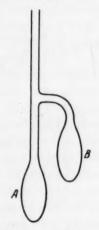


Fig. 7. Kölbchen zur Bestimmung von Löslichkeitsbeeinflussungen.

Es wurden ferner noch die in Tabelle 3 zusammengefassten Einzelversuche mit anderen Mischungsverhältnissen vorgenommen, die in allen Fällen eine Erhöhung der Löslichkeit des Kaliumchlorids ergaben. Dieses Ergebnis war um so weniger zu erwarten, als es sich hier ausschliesslich um gleichionige Salze handelt.

Tabelle 3. Löslichkeitserhöhung von KCl durch Zusätze von NaCl in verschiedenen Mischungsverhältnissen.

KCI %	NaCl %	Mischungs- verhältnis	Lösungstemp, des reinen KCl in ° C	Neue Lösungs- temperatur von KCl in ° C	Erhöhung der Lösungs- temp. in ° C
0.214	4.08	2.0:100	-53.0	-27.3	+25.7
0.530	11.92	2.0:100	-65.0	- 4'5	+60.5
0.199	7.97	2.5:100	-40.0	+ 7.5	+47.5
0.116	1.92	6.0:100	$+15^{\circ}0$	+19.8	+ 4.8
0.123	1.92	8.0:100	-10.0	- 8.0	+ 1.0

Wie die Löslichkeitskurven zeigen, treten die Komponenten nicht zu Mischkristallen oder komplexen Verbindungen zusammen. Die Löslichkeitserhöhungen lassen sich also nicht mit Hilfe des Massenwirkungsgesetzes, der alten klassischen Theorie der ionogenen Lösungen, erklären. Eine Möglichkeit der Erklärung bietet die elektrostatische Theorie nach Schärer<sup>1</sup>). Somit können diese Erscheinungen als eine neue Bestätigung des ionogenen Charakters dieser Salzlösungen in flüssigem Ammoniak angesehen werden.

#### 2. Das System NaCl-NH4Cl-NH2.

Eine eingehendere Untersuchung wurde mit dem System  $NaCl-NH_4Cl-NH_3$  vorgenommen; weil das Natriumchlorid bedeutend löslicher als Kaliumchlorid ist, konnte nur mit einer grösseren Anzahl

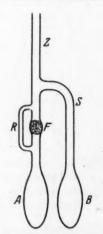


Fig. 8. Reaktionsgefäss zur Untersuchung von Löslichkeitsbeeinflussungen.

von Versuchen die gewünschte Aufklärung erhalten werden. So war es zweckmässig, die Isothermen der gegenseitigen Löslichkeitsbeeinflussung von Natriumchlorid und Ammoniumchlorid in flüssigem Ammoniak bei  $\pm 0^{\circ}$ ,  $-10^{\circ}$  und  $+10^{\circ}$  C festzulegen. Die Arbeitsweise bestand darin, dass Gemische der beiden Chloride, von denen immer eines im Überschuss vorhanden sein musste, mit konstanten Mengen Ammoniak geschüttelt wurden, bis gesättigte Lösungen gebildet waren. Diese waren vom Bodenkörper abzutrennen und zu analysieren. Es wurden für diesen Zweck Versuche mit verschieden gestalteten Gefässen vorgenommen; am besten haben sich bei den herrschenden Druckverhältnissen doppelschenklige Glasgefässe mit Wattefilter und Druckausgleichsröhrehen bewährt. Fig. 8 zeigt das Schema eines solchen Apparates in etwa ein Viertel natürlicher Grösse. Die beiden Kölbehen A und B hatten je etwa 12 cm<sup>3</sup> Inhalt. C

Die berechneten Salzmengen wurden in Kölbehen A eingefüllt, das Wattefilter F eingebracht und dann der Schenkel A in einem Dewar-Becher auf  $-70^{\circ}$  C abgekühlt, während B Zimmertemperatur behielt. Von oben wurde dann durch die Watte hindurch die erforderliche Menge Ammoniak einkondensiert, wobei wieder der oben erwähnte und skizzierte Chlorcalciumaufsatz vor Wasserkondensation schützte,

<sup>1)</sup> Schäber, in John Eggert, Lehrbuch der physikalischen Chemie (1931).

eht Die

en-

ıÖ-

roen

lz-

Cl

nd

hl

en

en

on

m

n.

er

r-

en

e-

en

n.

r-

m

k-

it

t.

es

n

t.

18

R-

le

e

e,

und endlich wurde durch Zuschmelzen bei Z das Rohr verschlossen. Die Sättigung wurde durch maschinelles isothermes Schütteln im Verlaufe von 7 Stunden herbeigeführt. Dabei wurde der Bodenkörper durch miteingeschmolzene, kleine Glasstäbchen beständig aufgewirbelt. Der Thermostat bestand aus einem doppelwandigen Gefäss mit Alkohol-Kohlensäuremischung. Nach erfolgter Sättigung wurde das Kölbehen in eine um etwas mehr als 90° gedrehte Stellung gebracht und unter strengster Konstanthaltung der Temperatur die gesättigte Lösung durch die Watte filtriert, wobei sich der Druck durch das Röhrchen R ausgleichen konnte. Nachdem so die gesättigte Lösung in den Schenkel B gebracht war, wurde das ganze Gefäss auf -70°C abgekühlt. Die Abkühlung erfolgte zur Vermeidung einer Rückkondensation von Lösungsmittel äusserst langsam und für alle Teile des Kölbehens gleichmässig unter beständigem Umrühren des Bades und Bewegung des Gefässes. Nach Einfrieren des Gefässinhaltes wurde bei S das Kölbehen B abgeschnitten. Das beim langsamen Erwärmen entweichende Ammoniak wurde in eine gemessene Menge 1 norm. Schwefelsäure geleitet, in der auch der übrigbleibende Salzrückstand aufgelöst wurde. Aus aliquoten Teilen der Lösung wurden dann nach den üblichen Analysenmethoden die Anteile Na,  $NH_4$ , Cl und  $NH_3$  bestimmt. Das im Gaszustand befindliche Ammoniak, das an der Lösung nicht beteiligt war und bei der Abkühlung zu einer Verdünnung führen konnte, wurde zu 1% der Gesamtammoniakmenge berechnet. Dieser Wert konnte durch einen Versuch bestätigt werden mit einem Gefäss, bei dem sich durch einen Hahn vor der Abkühlung der Gasraum abtrennen und dadurch die darin befindliche Ammoniakmenge analytisch bestimmen liess. Für eine allgemeine Verwendung haben sich solche Hahngefässe jedoch als unbrauchbar erwiesen. Der Fehler im Prozentgehalt des Natriumchlorids lässt sich auf weniger als 0'1% abschätzen.

Die nach dieser Methode ermittelten Werte für die drei Isothermen gibt Tabelle 4 an. Der Verlauf der Kurven ist aus Fig. 9 zu ersehen.

Es fällt auf, dass die Löslichkeit von Ammonchlorid durch Zusatz von Kochsalz nur wenig erniedrigt wird, dass dagegen innerhalb eines weiten Bereiches durch Zusätze von Ammonchlorid die Löslichkeit des Kochsalzes vergrössert wird und erst sehr starke Konzentrationen diese wieder zurückdrängen. Eine physikalisch-chemische Erklärung solcher Löslichkeitserhöhungen wurde bereits weiter oben gegeben; die bei höheren Ammonchloridzusätzen auftretende Lös-

Tabelle 4. Löslichkeitsisothermen des Systems  $NaCl-NH_4Cl-NH_3$ .

	Versuch	Gewichtsproz. $NH_4Cl$	Gewichtspr NaCl	oz. Bodenkörper
		-16	0° C.	**************************************
	1	Common .	14.20	$NaCl \cdot 5 NH_3$
	2	2.80	15.28	$NaCl \cdot 5 NH_3$
	3	4.19	16.13	NaCl·5 NH3
	4	6.41	16.05	NaCl
	5	11.00	15.40	NaCl
	6	15.23	14.61	NaCl
	7	20.38		
	8	24.00	12:37	NaCl
	9		11.02	NaCl
		27.84	9.06	
	10	28.08	8.92	
	11	29.20	5.00	$NH_4Cl \cdot 3NH_3$
	12	30.87	_	$NH_4Cl \cdot 3NH_3$
	Gewichtsproz	. Gewich	itsproz.	
	$NH_4Cl$		aCl	Bodenkörper
		+10	° C.	
	E-months.		83	NaCl
	5.20		90	
				NaCl N-Cl
	11.00	10.		NaCl
	17.82	10		NaCl
	25.30		40	NaCl
	32.80	6.	10	NaCl
	41.60	3.	54	NaCl
	50.63	1.	22	$NaCl+NH_4Cl$
	51.00		22	NaCl+NH4Cl
	55.10		-	NH <sub>4</sub> Cl
4		±0	° C.	111400
	-	11'		NaCl
	0.63	11.		NaCl
	1.47	12.		NaCl
	3.38	12.		NaCl
	6.52	13.		NaCl
	8.28	12		NaCl
	10.38	12.	77	NaCl
	12.32	12		NaCl
	14.23	12		NaCl
	15.74	11'		NaCl
	17.59	111		NaCl
	20.31	10.		NaCl
	23.48			
		10.		NaCl
	24.25		65	NaCl
	25.81		33	NaCl
	28.62		21	NaCl
	31.80	7.	30	NaCl
	34.60	5.	94	NaCl
	36.34		55	NaCl
	37.00			$Cl + NH_4Cl \cdot 3NH_3$
	37.65		86 Na	CI_NH CI. 2 NH
			79 Na	$Cl + NH_4 Cl \cdot 3 NH_3$
	37.80			$Cl + NH_4Cl \cdot 3NH_3$
	38.00		14	$NH_4Cl \cdot 3NH_3$
	38.60		66	$NH_4Cl \cdot 3NH_3$
	39.25	1'	42	$NH_4Cl \cdot 3NH_3$
	39.80			$NH_4Cl \cdot 3NH_3$

lichkeitserniedrigung ist um so verständlicher, als das Ammonchlorid bei seiner hohen Löslichkeit und der Bildung des Triammoniakates weitaus den grössten Teil des Ammoniaks für sich in Anspruch nimmt. Die Erhöhung der Löslichkeit, deren relative Werte mit steigender Temperatur zunehmen, erreicht in den drei betrachteten Fällen ihr Maximum bei etwa 6 bis 12 %  $NH_4Cl$ -Zusatz. Der Doppelbodenkörperpunkt verlagert sich gemäss den Eigenlöslichkeiten der beiden Lösungsgenossen mit steigender Temperatur zu immer höheren Ammonchlorid- und entsprechend geringeren Natriumchloridkonzentrationen. Da bei  $-9.5^{\circ}$  C der Umwandlungspunkt des Natrium-

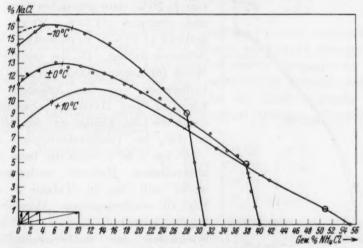


Fig. 9. Lösungsisothermen des Systems  $NaCl-NH_4\,Cl-NH_3$ . Die Bedeutung der Pfeile wird S. 152 gegeben.

chlorids in seine Kristallverbindung, das Pentammoniakat, liegt, kann die  $-10^{\circ}$  C-Isotherme ihren Anfangspunkt sowohl beim Sättigungspunkt des NaCl als auch bei dem des  $NaCl \cdot 5$   $NH_3$  nehmen. Beide Punkte sind in Fig. 9 eingetragen. Der Wert für das bei  $-10^{\circ}$  C bereits instabile NaCl wurde aus der von Patscheke¹) bestimmten Kurve entnommen; bei der hier verwendeten Methode konnte sich immer nur der stabile Bodenkörper bilden, dessen Sättigungskonzentration analysiert wurde. Dieser bestand bei den Versuchen 1 bis 3 aus  $NaCl \cdot 5$   $NH_3$ , bei 4 bis 8 aus NaCl, bei 9 und 10 aus NaCl und  $NH_4Cl \cdot 3$   $NH_3$  und bei 11 und 12 aus  $NH_4Cl \cdot 3$   $NH_3$ . Das Natrium-

<sup>1)</sup> PATSCHEKE, Z. physik. Chem. (A) 163 (1932) 340.

chloridpentammoniakat lag bei den Versuchen 1 und 2 in der von Patscheke<sup>1</sup>) beschriebenen Form von Körnern vor, Versuch 3 zeigte die übliche Wachstumsform der Nadeln.

Die Werte der Endpunkte der Kurven stellen die Löslichkeit der reinen Salze bei der jeweiligen Temperatur dar; sie stimmen sehr genau mit den auf verschiedene andere Weise ermittelten Werten anderer Forscher überein und geben damit einen Anhalt für die

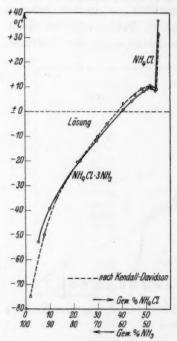


Fig. 10. Löslichkeitskurve von  $NH_4 Cl$  in  $NH_3$ .

Genauigkeit der Methode. So ergaben beispielsweise die Analysen für Kochsalz bei ±0°C eine Sättigungskonzentration von 11'30%, dem gegenüber Linhard und STEPHAN 11'37%, HUNT und BONCYK 11'39 % u. PATSCHEKE 11'52 % gefunden hatten. Da die ermittelten Werte für Ammonchlorid bei allen drei Isothermen von den Angaben von KENDALL und DAVIDSON abweichen, wurde die Löslichkeitskurve des NH<sub>4</sub>Cl in  $NH_3$  im Temperaturbereich von  $-50^{\circ}$  bis  $+40^{\circ}$  C nach der beim KClangewandten Methode nachgeprüft, wobei sich die in Tabelle 5 und Fig. 10 wiedergegebene Abweichung ergab, die jedoch ihrerseits die Anader lysenwerte Isothermenmethode weitgehendst bestätigte.

Ta

Das bei 51'5% auftretende Maximum in der Kurve erklärt sich dadurch, dass diese Zusammensetzung das stöchiometrische Gemisch des Triam-

moniakates darstellt. Die ermittelte Lösungstemperatur von  $+9^{\circ}8^{\circ}$  C ist somit der Schmelzpunkt der Kristallverbindung  $NH_{4}Cl \cdot 3$   $NH_{3}$ . Dies zeigte sich auch daran, dass der Inhalt des Kölbehens bis zur Erreichung dieser Temperatur vollständig erstarrt war.

Zur weiteren Kennzeichnung des Systems  $NaCl-NH_4Cl-NH_3$  wurden noch bestimmte Mischungsverhältnisse der beiden Salze untersucht. Es sollte damit gezeigt werden, wie sich die Gestalt der

<sup>1)</sup> PATSCHEKE, Z. physik. Chem. (A) 163 (1932) 340.

Tabelle 5. Löslichkeit von Ammonchlorid in flüssigem Ammoniak.

n 3

n n e n z

$ \begin{array}{c} \text{Gewichtsproz.} \\ NH_4Cl \end{array} $	Bodenkörper	Lösungstemp. ° C
5.53	$NH_4Cl \cdot 3NH_3$	-52.9
10.00	$NH_ACl \cdot 3NH_3$	-39.3
22.60	$NH_4Cl \cdot 3NH_3$	$-20^{\circ}5$
29.20	$NH_4Cl \cdot 3NH_3$	-11.8
40.65	$NH_4Cl \cdot 3NH_3$	+ 0.9
44.20	$NH_4Cl \cdot 3NH_3$	+ 4.2
49.20	$NH_4Cl \cdot 3NH_3$	+ 8.2
50.20	$NH_4Cl \cdot 3NH_3$	+ 9.1
51.20	$NH_4Cl \cdot 3NH_3$	+ 9.8
52.20	$NH_4Cl \cdot 3NH_3$	+ 9.3
54.00	$NH_4Cl \cdot 3NH_3$	+8.3
55.40	$NH_4Cl$	+36.9

Lösungskurve des Kochsalzes und die Lage des Umwandlungspunktes in die Ammoniakverbindung durch Zusatz wachsender Mengen an Ammonchlorid verändert. Experimentell wurde hierzu wieder die bereits mehrfach bewährte und oben beschriebene Methode mittels der einfachen Kölbehen angewendet, bei der durch Schütteln von Hand die Sättigungstemperaturen bestimmt wurden. Untersucht wurden folgende Mischungen:

Die in Tabelle 6 zusammengestellten Ergebnisse sind in Fig. 11 graphisch wiedergegeben. Bei der ebenfalls schon oben beschriebenen Darstellungsweise ist zum Vergleich jeweils in gleichbleibendem Massstabe die Lösungskurve des Kochsalzes (I und II) eingetragen und dem Mischungsverhältnis entsprechend umgerechnet, die Kurve des Ammonchlorids (III und IV) hinzugefügt. Die Veränderungen treten auf diese Weise deutlich in Erscheinung. Wählt man eine Zusammensetzung aus dem mit Lösung bezeichneten Felde, so tritt bei Steigerung der Temperatur in allen Fällen NaCl als Bodenkörper auf, während bei Abkühlung bei den Mischungsverhältnissen a und b die Kristallverbindung  $NaCl \cdot 5 NH_3$  ausgeschieden wird. Bei den Mischungen c und d ist indessen das Existenzgebiet des Ammonchloridtriammoniakates bereits soweit vorgerückt, dass hier bei Abkühlung  $NH_4Cl\cdot 3$   $NH_3$  aus der Lösung ausfällt. Die Umwandlung von NaCl in NaCl · 5 NH3 erfolgt bei dem geringen Ammonchloridgehalt des Mischungsverhältnisses a erst bei etwas höherer Natriumchloridkonzentration und etwas tieferer Temperatur. Da mit wachsendem Ammonchloridgehalt die Linie, die das NaCl-Feld begrenzt, sich immer mehr aufrichtet, während gleichzeitig das Pentammoniakat mehr nach der Seite tieferer Temperatur zurückweicht, tritt die Umwandlung im Mischungsverhältnis b bei noch tieferer Temperatur, jedoch geringerer NaCl-Konzentration ein. Die Aufrichtung der NaCl-Linien geht in den Mischungen c und d weiter; da nun aber das Existenzgebiet des Ammonchloridtriammoniakates weiter vorrückt, kennzeichnet der Schnittpunkt der beiden Sättigungslinien nun einen Bodenkörperwechsel von NaCl zu  $NH_4Cl \cdot 3NH_3$ .

Tabelle 6. Beeinflussung der Löslichkeit von NaCl in  $NH_3$  durch Zusätze von  $NH_4Cl$ .

Gewichtsproz.	Gewichtsproz.	Lösungstemp. von NaCl	Lösungstemp. von NaCl·5 NH <sub>3</sub>
NaCl	$NH_4Cl$	o C	° C
Miso	chungsverhältnis a	: NH <sub>4</sub> Cl=1:0.588	
7.28	4.28	+18.1	-24.1
12.00	7.06	+ 2.5	-17.2
14.20	8.23	- 6.2	-13.9
15.33	9.02	- 8.9	-13.1
Miss	chungsverhältnis b	: NaCl: NH4 Cl=	1:1.668.
3.4	5.67 o	berhalb+60.0	-39.0
5.9	9.84	+50.0	-31.9
8.2	14.18	+28.2	-26.1
11.0	18.35	+ 3.8	-21.8
Gewichtsproz.	Gewichtsproz.	Lösungstemp. von NaCl	Lösungstemp. von NH <sub>4</sub> Cl·3 NH
NaCl	$NH_4Cl$	° C	°C
Mis	schungsverhältnis	e: NaCl:NH <sub>4</sub> Cl=	1:3.55.
5.6		erhalb +50.0	$-23^{\circ}4$
7.5	26.61	+16.4	-13.1
8.0	28.40	+ 4.7	-10.7
8.4	29.80	- 4.5	- 8.4
Mis	schungsverhältnis	d: NaCl:NH4Cl=	1:10.0.
2.1	21.0 op	erhalb +60.0	-22.0
3.0	30.0	+60.0	-10.8
3.4	34.0	+56.0	- 5.3
3.7	37.0	+35.1	- 1.5
3.9	39.0	+ 3.8	+ 1.9

Weiterhin ist auch die Löslichkeitserhöhung, insbesondere bei höheren Temperaturen, aus den vier Kurven zu ersehen. Bei  $+20^{\circ}$  C ist beispielsweise die Löslichkeit des Kochsalzes von 5<sup>°</sup>3% bei Zumischung von Ammonchlorid im Verhältnis a auf 6<sup>°</sup>8%, im Ver-

n-

zt.

at

m-

ır, er

er

r-

en

h

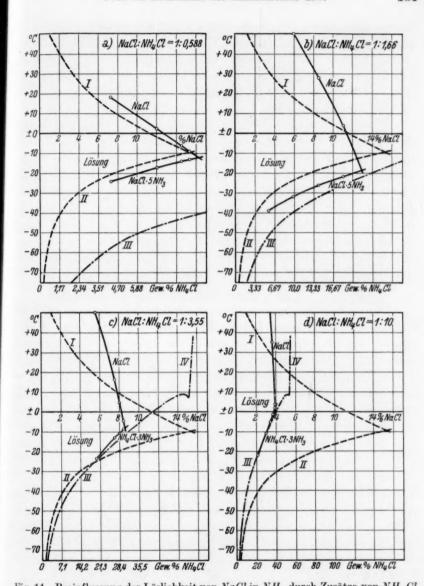


Fig. 11. Beeinflussung der Löslichkeit von NaCl in  $NH_3$  durch Zusätze von  $NH_4$  Cl. a)  $NaCl: NH_4$   $Cl=1:0\cdot588$ . b)  $NaCl: NH_4$   $Cl=1:1\cdot66$ . c)  $NaCl: NH_4$   $Cl=1:3\cdot55$ . d)  $NaCl: NH_4$  Cl=1:10. Es ist I: Löslichkeitskurve von NaCl. II: Löslichkeitskurve von  $NaCl\cdot5$   $NH_3$ . III: Löslichkeitskurve von  $NH_4$   $Cl\cdot3$   $NH_3$ . IV: Löslichkeitskurve von  $NH_4$   $Cl\cdot3$   $NH_3$ . IV: Löslichkeitskurve von  $NH_4$   $Cl\cdot3$   $NH_3$ . IV: Löslichkeitskurve von  $NH_4$   $Cl\cdot3$ 

hältnis b auf 93%, im Verhältnis c auf 73% erhöht; im Verhältnis d ist sie durch den grossen Überschuss dann auf 38% herabgedrückt. Bei noch höheren Temperaturen bleibt die Erhöhung jedoch auch im Verhältnis d erhalten. Bei  $+40^{\circ}$  C wird z. B. die Löslichkeit von 2% gesteigert auf 73% im Verhältnis b, auf 65% im Verhältnis c und auf 36% im Verhältnis d.

Die hier festgelegten Lösungskurven geben in ihren Werten für  $-10^{\circ}$ ,  $\pm 0^{\circ}$  und  $+10^{\circ}$  C die Möglichkeit einer Kontrolle der analytisch bestimmten Isothermen. Die in den Figuren der Fig. 11 wiedergegebenen Mischungsverhältnisse liegen in der Darstellung der Fig. 9 auf geraden Linien, die vom Nullpunkt ausgehend strahlenartig die Fläche unter Winkeln durchschneiden, deren Tangens dem Mischungsverhältnis der beiden Salze entspricht. Sie sind auf Fig. 9 durch Pfeile angedeutet. Die Schnittpunktswerte dieser Linien mit den Isothermen geben eine gute Übereinstimmung mit den entsprechenden Werten der Fig. 11.

#### 3. Kristallisationserscheinungen.

Die normale Erscheinungsform des Kochsalzes, die man bei einer Kristallisation aus einer Lösung in reinem Wasser erhält, ist der Würfel. Es ist bekannt, dass jedoch aus Lösungen, die Harnstoff enthalten, das Natriumchlorid in Form von Oktaedern erhalten wird. Aus flüssigem Ammoniak kristallisiert Kochsalz ebenfalls in Oktaedern. Sind jedoch noch Lösungsgenossen vorhanden, so treten Mischformen auf, die Oktaeder darstellen, welche durch Würfelflächen abgestumpft werden. Dass es sich nicht etwa um Mischkristalle handelt, geht daraus hervor, dass dieselben Kristallformen auftreten, gleichgültig, ob der Lösungsgenosse Kaliumchlorid oder Ammoniumchlorid ist (vgl. Fig. 12 bis 16) und dass bei geeigneten Mischungen neben diesen beschriebenen Kristallen auch noch gut ausgebildete Kaliumchloridwürfel beobachtet werden konnten. Betrachtet man die Fig. 12, 13 und 14, die Kristalle aus den Mischungsverhältnissen 1:100, 2.5:100 und 3:100 darstellen, so fällt die interessante Tatsache auf, dass die Abstumpfung durch die Würfelfläche mit steigendem KCl-Gehalt deutlich zunimmt.

### Ausblick auf eine Verwendung in der analytischen und industriellen Praxis.

Auf die praktischen Verwendungsmöglichkeiten der vorliegenden Untersuchungen seien hier einige Hinweise gegeben.

ltbng lie

en er l1 er n-

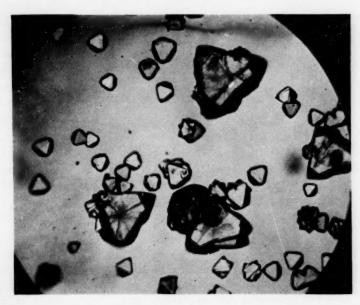


Fig. 12.

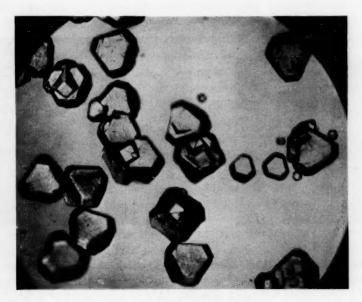


Fig. 13. (Erklärung siehe umstehend.)



Fig. 14.



Fig. 15.

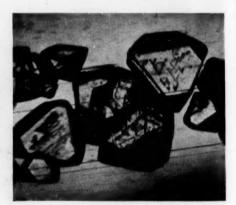


Fig. 16.

Fig. 12 bis 16. Natriumehlorid aus flüssigem Ammoniak kristallisiert. Vergrösserung 27 fach. Fig. 12 bis 14. Lösungsgenosse: Kaliumehlorid. Fig. 12. KCl:NaCl=1:100. Fig. 13. KCl:NaCl=2:5:100. Fig. 14. KCl:NaCl=3:100. Fig. 15 bis 16. Lösungsgenosse: Ammonchlorid. Fig. 15.  $NaCl:NH_4Cl=1:0:588$ . Fig. 16.  $NaCl:NH_4Cl=1:3:55$ .

Bei der stetig zunehmenden Verwendung von flüssigem Ammoniak als Lösungsmittel liegt der Gedanke nahe, dasselbe auch zu analytischen Zwecken auszunutzen. Der im Gegensatz zu Wasser ausserordentlich grosse Löslichkeitsunterschied zwischen Kaliumchlorid und Natriumchlorid in diesem Lösungsmittel lässt die Schaffung einer Trennungsmethode für diese beiden Salze möglich erscheinen; denn während bei etwa  $-10^{\circ}$  C die Löslichkeit des Kochsalzes mit etwa  $15\,\%$  ihr Maximum erreicht, beträgt bei der gleichen Temperatur die Löslichkeit des Kaliumchlorids 0·15 %, also den hundertsten Teil. Allerdings wird, wie die oben beschriebenen Untersuchungen ergaben, die Löslichkeit des Kaliumchlorids bei Gegenwart von Natriumchlorid etwas erhöht, doch werden selbst bei der stärksten, beobachteten Löslichkeitszunahme bei der in Rede stehenden Temperatur noch immer weniger als 0·25 % KCl aufgelöst.

Eine technische Auswertung solcher Löslichkeitsunterschiede in flüssigem Ammoniak ist beispielsweise bei der eingangs bereits erwähnten Reinigung von Steinsalz erfolgt, die unter französischem Patentschutz<sup>1</sup>) steht. Dort handelt es sich besonders um eine Trennung des Kochsalzes von den begleitenden Calcium- und Magnesiumsalzen, die bei  $-10^{\circ}$  C in flüssigem Ammoniak unlöslich sind.

Die Löslichkeitsverhältnisse des Systems  $NaCl-NH_4Cl-NH_3$  erlangen möglicherweise für die Ausführung eines Sodaprozesses in flüssigem Ammoniak Bedeutung. Beim Einleiten von Kohlendioxyd in eine ammoniakalische Kochsalzlösung entsteht neben dem Carbamat, das auf Soda weiter verarbeitet werden kann, in äquivalenten Mengen Ammoniumchlorid. Wichtig ist es hier zu wissen, dass die hohe Löslichkeit des Ammonchlorids durch einen Gehalt an Natriumchlorid kaum erniedrigt wird, dass andererseits die Löslichkeit des Natriumchlorids durch Ammoniumchlorid wesentlich erhöht wird. Beides sind Momente, die sich auf den Umfang der umzusetzenden Menge und die Grösse der Salzausbeute günstig auswirken müssen.

Es sei uns gestattet, Herrn Prof. Dr. L. Ubbelohde, dem Direktor des Technisch-chemischen Instituts der Technischen Hochschule Berlin-Charlottenburg, für sein reges Interesse an der Durchführung der Arbeit unseren herzlichsten Dank zu sagen. Unseren besonderen Dank sprechen wir der Deutschen Forschungsgemeinschaft aus, die uns die Mittel zur Durchführung der Arbeit zur Verfügung stellte.

<sup>1)</sup> Asahi Garasu Kabushiki Kaisha: F. P. 757080 (Japan).

### Bücherschau.

S.

fi

de

V

Holluta, J., Die technischen Anwendungen der physikalischen Chemie. Stuttgart: Ferdinand Enke Verlag 1934. X, 354 S. 66 Abb. im Text. Geh. 20.— RM., geb. 22.— RM.

Zweierlei, bis zu einem gewissen Grade gegensätzliche, Forderungen beherrschen heute das Problem eines zeitgemässen Aufbaus unseres chemischen Hochschulunterrichts: Einerseits der Einbau der gewaltig angewachsenen grundsätzlichen Erkenntnisse der physikalischen Chemie trotz fortschreitender Ausdehnung auch der stofflichen Chemie, auf der anderen Seite der Ruf nach einer stärkeren Einstellung des Lehrinhaltes auf die Bedürfnisse der industriellen Praxis. Beide Bestrebungen finden ihre Begrenzung im Zeitmangel während der Ausbildung. Es dürfte aber möglich sein, teilweise beide Fliegen auf einmal zu fangen, wenn man mehr als bisher die technischen Anwendungen der physikalischen Chemie lehrt, die ja die Hauptteile der chemischen Grossindustrie umfassen und die zugleich Leben in die dem Studierenden oft fernerliegende physiko-chemische Denkweise bringen.

Ein wertvolles Werkzeug für solche Bestrebungen ist in dem vorliegenden Buch geschaffen worden. Sein Rahmen ist so gespannt, dass das Lehrbuch noch nicht zum Handbuch wird, dass aber auch eine gewisse Vollständigkeit hinsichtlich der wichtigen Verfahren erreicht werden konnte. Durch diese Vollständigkeit unterscheidet sich das Buch von einem ähnlich gerichteten, mehr programmatisch gedachten des Referenten, durch die Berücksichtigung der Photochemie und Elektrochemie von dem vortrefflichen Kremannschen Werk. Es wäre allerdings immer noch zu wünschen, dass die neueren Entwicklungen der physikalischen Chemie, denen die Zukunft der Technik gehört, z. B. die Kinetik, noch mehr als geschehen, ihren Platz neben den klassischen Lehren einnehmen.

In einem vorgeschalteten Kapitel werden die Grundlehren der physikalischen Chemie einschliesslich Photochemie auf 31 Seiten überflogen, eine Zusammenstellung, die vielleicht als Repetitorium nützlich, vielleicht aber auch entbehrlich ist. Es folgen die Hauptabschnitte: Die Zustandsänderungen einfacher Stoffe in der technischen Chemie. Mischungen. Lösungen. Die technischen Anwendungen der chemischen Statik und Kinetik (Gleichgewichtslehre und Reaktionsgeschwindigkeit) als weitaus grösstes Kapitel. Die technischen Anwendungen der Kolloidchemie. Die Katalyse in der technischen Chemie. Thermochemie. Photochemie. Elektrochemie.

Man sieht schon hieraus, und noch mehr beim Studium des Buches selbst, dass das Buch hält, was der Titel verspricht. Man wird bei der für einen einigermassen durchgebildeten Chemiker ausserordentlich spannenden Lektüre des flüssig geschriebenen Textes in eine Fülle wichtiger technischer Prozesse ihrem Wesen nach eingeführt (die apparative Seite ist hier mit Recht weitgehend übergangen worden). Vom Standpunkt des Unterrichts ist es von ganz unschätzbarem Wert, wenn hier der Student, der ja leider oft die physikalische Chemie als ein recht beziehungsloses Einschiebsel ins Studium betrachtet, einmal vorgeführt erhält, was man mit dieser Denkweise alles Greifbares anfangen kann.

Einige Ausstellungen mögen nun mehr als Vorschläge, denn als Kritik gewertet werden: S. 14: Aktivierungswärmen von 10<sup>6</sup> cal/Mol treten nicht auf. S. 25: Kapillarkondensation spielt bei der Katalyse gerade keine Rolle. S. 57 und 58: Die Diagramme sind ganz irrtümlich, da sie jeweils der stabilen Modifikation den grössten Dampfdruck zuschreiben! S. 70 vermisst man die Bedeutung der Adsorptionserscheinungen bei Schmierölen. S. 275: Überbetonung der Rolle von Verunreinigung als Aktivzentren. S. 310: Neuere Arbeiten (Tomaschek, Tiede) wurden nicht berücksichtigt. S. 284: Es gibt eine eindeutige Definition (MITTASCH) für Mischkatalysatoren. S. 320 fehlen die rostfreien Stähle; und dergleichen.

rt:

M.,

en

ul-

en

eh

in-

Be-

Es

an

rt,

eh se

n

h

h

it

d

S

n

n

Von solchen Mängeln jeder ersten Auflage abgesehen, ist das Buch nur zu loben. Man möchte es jedem Studenten in die Hand geben und wärmstens wünschen, dass es an recht vielen Orten eine Grundlage für Vorlesungen und Übungen werde.

G.-M. Schwab.

v. Engel, A. und Steenbeck, M., Elektrische Gasentladungen, ihre Physik und Technik. Zweiter Band: Entladungseigenschaften, Technische Anwendungen. Berlin: Julius Springer 1934. VIII, 352 S. 250 Abb. im Text. Geb. 33.50 RM.

Der erste Band behandelte die allen Gasentladungsformen gemeinsamen Einzelprozesse der Trägererzeugung, Trägerbewegung und Trägervernichtung. Der zweite Band befasst sich im ersten Teil mit den Entladungseigenschaften, unterteilt in Kapitel 1: Stationäre Entladungen; 2: Ausgleichsvorgänge in Gasentladungen. Im zweiten Teil werden die technischen Anwendungen der Gasentladung besprochen. Es folgen Quellenhinweise, sodann die beim Erscheinen des ersten Bandes versprochene Literaturübersicht über das Schrifttum für den ersten und zweiten Band und schliesslich ein Sachverzeichnis.

In bezug auf die Darstellung der physikalischen Grundlagen der Gasentladung hält dieser zweite Band das, was der erste erwarten liess. Angesichts der Vielfältigkeit der stationären Formen, die treffend in dem Übersichtsschema Abbildung 1 veranschaulicht ist, zeigt die im ersten Kapitel auf 169 Seiten in 66 Paragraphen bewältigte Beschreibung der Entladungen im Gleichgewichtszustande ein ebenso grosses Mass an Übersicht und Kritik der Verfasser wie an Beschreibungskunst und geschickter Aneinanderknüpfung der Einzelfragen. Es ist an manchen Stellen geradezu ein Genuss, dieser systematisch aufgebauten Entwicklung zu folgen, der es bei aller Knappheit nirgendwo an Klarheit und Kontinuität fehlt. Besonders wertvoll erscheinen mir die Teile, die die Physik des Plasmas und der Sondenströme im Plasma bei verschiedenen Sondenformen betreffen, ebenso die sehr einfach und doch mit wissenschaftlicher Strenge durchgeführte Darstellung der Glimmentladung, insbesondere der Theorie der ungeschichteten positiven Säule. Den Vakuumbogenentladungen mit Glühkathode ist, wenn auch vorläufig nicht viel mehr als eine Ubersicht über die Erscheinungen und Fragen gegeben werden kann, mit Recht ein besonderer Abschnitt gewidmet, da die technische Bedeutung dieser Röhrenart dauernd wächst.

In dem zweiten Kapitel des ersten Teiles sind auf 27 Seiten die Ausgleichsvorgänge in Gasentladungen behandelt. Die Begriffe der Stabilität und der Labilität, die Existenzbedingung einer schwingenden Entladung werden in konzentrierter Form unter Weglassung alles Unwesentlichen erläutert. Der Zündvorgang, der zeitliche Aufbau des Stromes, wird ausführlicher betrachtet; zuerst im homogenen

Feld ohne Berücksichtigung der eigenen Raumladungen, sodann mit Berücksichtigung derselben. Es folgen die Nutzanwendung auf den Funkenübergang, die Zündung von Glühkathodenentladungen ohne und mit Steuergitter, schliesslich die Wiederzündung in Wechselstromentladungen.

g

Der zweite Teil des zweiten Bandes ist den technischen Anwendungen der Gasentladung gewidmet. Er scheint in erster Linie geschrieben für den auf ein vor. wiegend technisches Arbeitsfeld versetzten Gasentladungs-Physiker, zu dem Zwecke, ihm eine gedrängte Übersicht darüber zu geben, wo und wie von den Gesetzen des Stromdurchganges durch Gase praktisch Gebrauch gemacht wird (vg). Vorwort der Verfasser). Der Techniker dürfte aber von der wissenschaftlichen Hälfte des zweiten Bandes (wie auch von dem ersten Bande) einen stärkeren Eindruck und einen grösseren Gewinn haben als umgekehrt der reine Physiker von der Darstellung der technischen Anwendungen, die auf 130 Seiten ein ungeheures Gebiet zu überspannen versucht. Auch bei Anerkennung der ausgesprochenen und begründeten Absicht der Verfasser, konstruktive und wirtschaftliche Gesichtspunkte zu vernachlässigen, empfindet man in diesem Teile des Buches hin und wieder doch die Knappheit der Darstellung als zu weitgehend. So etwa bei den gasgefüllten Photozellen und den Glimmentladungsstrecken. Bei den Entladungs-Lichtquellen sind zwar die Anregungsverhältnisse, die spektrale Verteilung der Strahlungsintensität usw. berücksichtigt; man hätte hier jedoch bei den wichtigeren Fällen, z. B. für die Natriumdampflampe, gern ein Termschema eingefügt gesehen. Demgegenüber ist die Schilderung anderer Einzelgebiete recht gut geglückt. Hervorgehoben seien der Abschnitt über die Koronaerscheinungen, der über elektrische Gasreinigung und die Schlussparagraphen über die Schalter- und Sicherungsentladungen, die in Darstellungen dieser Art bisher meist recht stiefmütterlich bedacht wurden. Das Nichteingehen auf Gasentladungen als Quelle chemischer Reaktionen (Ozon-, Stickoxydbildung usw.) sowie auf die physiologischen Wirkungen von Ionen haben die Verfasser im Vorwort mit dem Platzmangel bzw. mit der noch unvollständigen Durcharbeitung verständlich entschuldigt.

Der im ersten Bande bekundeten Gepflogenheit, durch eingestreute Zahlentabellen die quantitative Anschauung und Auswertung zu fördern, sind die Verfasser im zweiten Bande treu geblieben, wenn auch solche Zusammenstellungen nur noch in geringerem Umfange wünschenswert waren, weil im ersten Bande durch die Heranziehung der Atomphysik und der gaskinetisch-statistischen Gesetze naturgemäss sehr viel Material vorweggenommen werden musste. Die Kurvendarstellungen und der Druck der Formeln sind als lobenswert klar und übersichtlich hervorzuheben.

Colloidal Electrolytes. A General Discussion held by the Faraday Society, September 1934. London: Gurney & Jackson 1935. 421 S. 18 s. 6 d. net.

Das vorliegende Heft enthält die Vorträge, die auf der III. Kolloidversammlung der Faraday Society in London im September 1934 gehalten wurden. Als Verhandlungsthema war der gleichzeitig von J. Duclaux und W. B. Hardy eingeführte Begriff der "Kolloid-Elektrolyte" gewählt. In 35 Vorträgen wird dem besonderen Verhalten dieser Klasse von Systemen, die einesteils typisch kolloide Eigenschaften zeigen, anderenteils wie Elektrolyte behandelt werden können, Rechnung getragen. Das erste Kapitel behandelt zunächst Fragen mehr allgemeiner

chti-

Zün.

die

der

vor-

dem

den

vgl.

hen

Ein-

von

ires

und

hts.

und

den

igs-

der

ren

en.

or-

che

nt-

eht

en

en

II.

n.

er-

en

de

ze

n-

eh

p-

n-

n

1-

und theoretischer Natur. So legt z. B. W. PAULI die Beziehungen klar, die sich zwischen dem elektrochemischen Verhalten und der Struktur von Kolloiden ergeben. Es wird die Theorie der elektrischen Aufladung kolloider Teilchen durch Ionenkomplexe diskutiert. H. R. KRUYT kommt in seinem Vortrag "Ionenmicellen oder elektrische Doppelschicht" zu dem Schluss, das elektrische Verhalten kolloider Micellen entsprechend der Helmholtz-Gouyschen Theorie zu erklären. Für ihn spielt die elektrische Doppelschicht für die Stabilität eines Kolloides die bei weitem wichtigere Rolle, G. S. HARTLEY diskutiert die Debye-Hückelsche Theorie in Anwendung auf Kolloidelektrolyte und weist auf die theoretischen Schwierigkeiten hin, die sich hierbei ergeben. Ob allgemein lyophobe Kolloide als Kolloidelektrolyte zu verstehen sind, lässt J. RABINOWITSCH zur Zeit noch unentschieden. F.G. DONNAN behandelt die allgemeine thermodynamische Theorie der Membrangleichgewichte in ihrer Anwendung zur Bestimmung des osmotischen Druckes und der Micellmassen verschiedener ausgewählter Typen kolloider Elektrolyte. Weitere Vorträge allgemeineren Inhaltes wurden gehalten von G. S. Adair, A. Frumkin, E. K. Rideal, C. Robinson u. a. Ein nächstes Kapitel beschäftigt sich mit Vorträgen methodischen und experimentellen Inhaltes, so z. B. mit der Bestimmung der elektrischen Ladung kolloider Ionen (G. S. Adair) und der Beschreibung eines Osmometertyps für geringe Drucke (H. B. OAKLEY). Anschliessend werden speziellere und zum Teil technische Probleme behandelt. Hervorzuheben sind die Arbeiten über Seifen und andere langkettige Kolloidelektrolyte von J. W. MacBain, J. L. Bowen, R. C. Mur-RAY, A. S. C. LAWRENCE, A. LOTTERMOSER und A. STEWART, weiterhin über Farbstoffe von E. Elöd, E. Valko (Diffusionsmessungen), C. Robinson und T. H. Mor-TON. Mit den elektrochemischen Eigenschaften von Kieselsäuresolen sowie in diesen stattfindenden Polymerisationsvorgängen befassen sich A. J. RABINOWITSCH und W. D. TREADWELL. Ein weiteres Kapitel ist den Proteinen gewidmet (Arbeiten von E. Elöd, D. J. Lloyd, K. Linderstrom-Lang, E. J. Bigwood, R. Prideaux, F. Weigert, E. Hammarsten und R. K. Schofield). In einem besonderen Vortrag, betitelt "Kolloide Stärkeionen", gibt M. Samec einen Überblick über die elektrischen, viscosimetrischen und osmometrischen Eigenschaften verschiedener Stärkesorten. Zusammenfassend kann festgestellt werden, dass das vorliegende Buch wertvolle Dienste leistet und zum Verständnis mancher Vorgänge in kolloidelektrolytischen Lösungen beiträgt. Die am Schluss der einzelnen Vorträge mitpublizierten, ausführlichen Diskussionsbemerkungen machen das Buch besonders interessant und geben dem Leser mancherlei wertvolle Anregung.

H. Erbring.

## Eingegangene Bücher.

- Berl, Ernst: Chemische Ingenieur-Technik. Band II. XVI und 795 Seiten. M 699 Textabbildungen und einer Tafel. Geb. 110.— RM. — Band III. XVI un 580 Seiten. Mit 463 Textabbildungen. (Berlin: Julius Springer 1935).
- Bulletin of the Michigan College of Mining and Technology. General Information for the year 1935 bis 1936. New Series. Vol. 8, No. 3. April 1935, 164 Seiten Houghton, Michigan. Published Quarterly by the College.
- First Report on Viscosity and Plasticity. Prepared by the Committee for the Study of Viscosity of the Academy of Sciences at Amsterdam. (Verhandelingen de Koninklijke Akademie van Wetenschappen te Amsterdam. Afdeeling Natuur kunde. Eerste Sectie. Deel XV No. 3.) VIII und 256 Seiten. Amsterdam Uitgave van de N. V. Noord-Hollandsche Uitgevers-Maatschappij. (Kommis sionsverlag Leipzig: Akademischer Verlagsgesellschaft m. b. H.)
- HAAS, ARTHUR: Die Umwandlungen der chemischen Elemente. 118 Seiten. Mi 31 Abbildungen. (Berlin und Leipzig: Walter de Gruyter & Co. 1935.) Geb. 4.30 RM
- Internationale Tabellen zur Bestimmung von Kristallstrukturen Band I: Gruppen theoretische Tafeln. XII und 452 Seiten. Mit 464 Textabbildungen. Band II: Mathematische und physikalische Tafeln VIII und Seite 453 bis 69. (Berlin: Gebrüder Borntraeger 1935.) Band I/II Geh. 33.— RM, geb. 40.— RM.
- Köhn, Otto: Die elektrolytische Gewinnung des Zinns aus wässerigen Lösunger an bewegter Quecksilberkathode. 37 Seiten. (Dresden-A: Risse-Verlag 1934. Geh. 3.— RM.
- KÜSTER, F. W. und THIEL, A.: Logarithmische Rechentafeln für Chemiker, Pharmazeuten, Mediziner und Physiker. 41. bis 45. Auflage. (Berlin und Leipzig: Walter de Gruyter 1935.) Geb. 6.80 RM.
- LANGENBECK, WOLFGANG: Die organischen Katalysatoren und ihre Beziehungen zu den Fermenten. V und 112 Seiten. Mit 6 Abbildungen. (Berlin: Julius Springer 1935. Geh. 7.50 RM.
- MEITNER, LISE und DELBRÜCK, MAX: Der Aufbau der Atomkerne. Natürliche und künstliche Kernumwandlungen. 62 Seiten. Mit 13 Abbildungen. (Berlin: Julius Springer 1935.) Kart. 4.50 RM.
- RÜCHARDT, E.: Neuzeitliche Kernphysik und künstliche Unwandlung der Elemente (Deutsches Museum. Abhandlungen und Berichte. 7. Jahrg. Heft 3). 76 Seiten. (Berlin: VDI-Verlag G. m. b. H. 1935.) Geh. —.90 RM.
- Safety in Mines Research Board. Paper No. 92. S. M. Dixon und M. A. Hogan: The Deterioration of Haulage Ropes in Service. (London: Majesty's Stationery Office 1935.) 1 s. net.
- Sponer, H.; Molekülspektren und ihre Anwendung auf chemische Probleme. (Struktur und Eigenschaften der Materie Bd. XV.) I. Tabellen. VI und 154 Seiten. (Berlin: Julius Springer 1935.) Gegh. 16.— RM, geb. 17.60 RM.
- TEICHMANN, HORST: Einführung in die Quantenphysik. (Mathematisch-Physikalische Bibliothek. Reihe II. Nr. 13.) VI und 93 Seiten. Mit 39 Figuren im Text. (Leipzig und Berlin; B. G. Teubner. 1935.) Geb. 2.80 RM.
- v. Zeerleder, Alfred: Technologie des Aluminiums und seiner Leichtlegierungen.
  2. Aufl. XII und 300 Seiten. Mit 204 Figuren. (Leipzig: Akademische Verlagsgesellschaft m b. H. 1935.) Geh. 12.60 RM, geb. 14.— RM.